

Galaxies de type précoce

Dynamique

& Processus de formation

Eric Emsellem

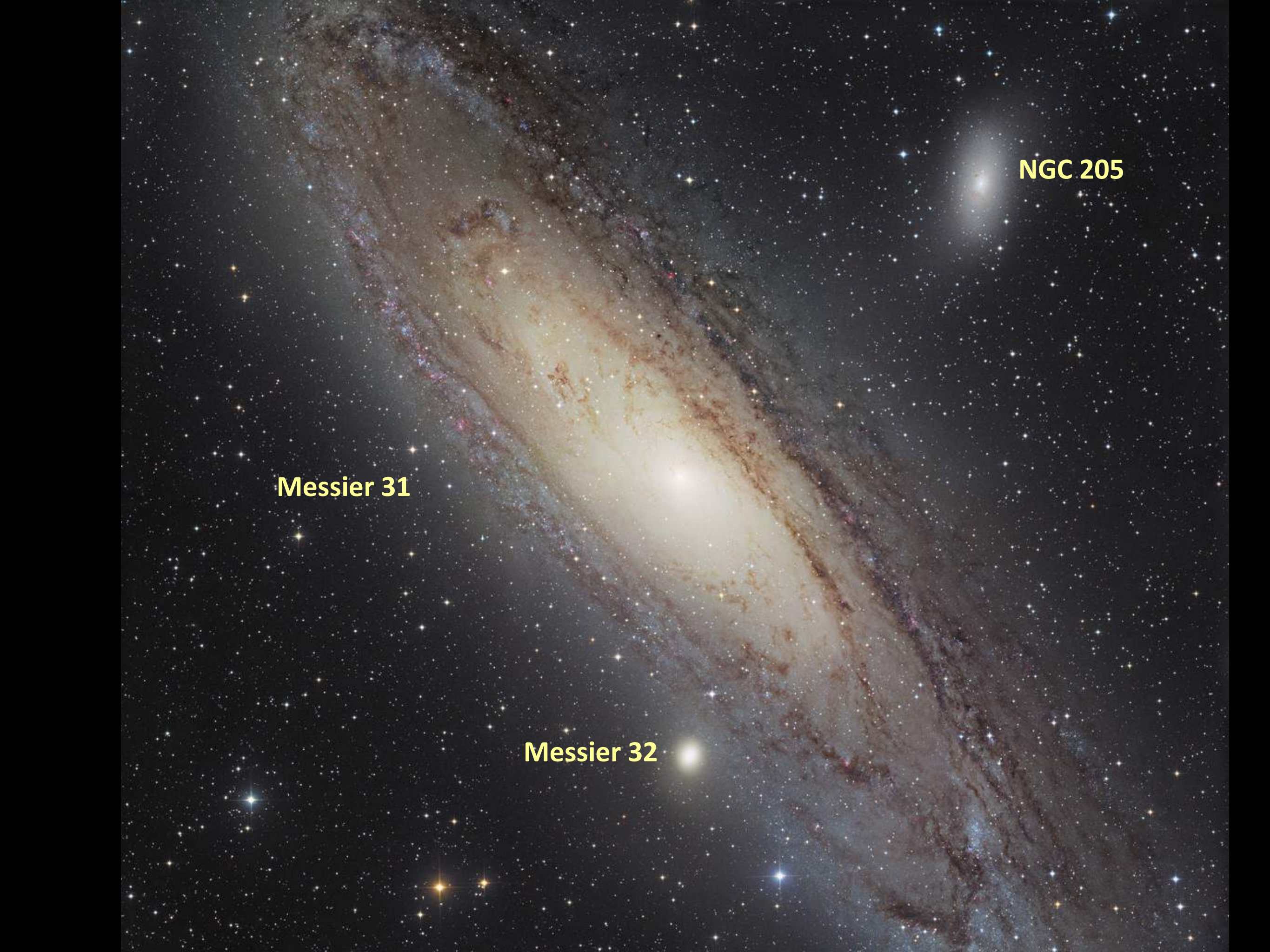


Types précoce & tardif ?



Messier 33

©Gendler, Subaru



NGC 205

Messier 31

Messier 32

ESO 325- G0004

©Blakeslee
NASA/ESA (HST)



NGC 3115

©CGS





Messier 104
©HST – NASA/ESA



NGC 1277







Sommaire

■ *Propriétés : Taille & Masse des « ETG »*

- ★ Distribution, évolution
- ★ Processus de formation : première approche

■ **Dynamique**

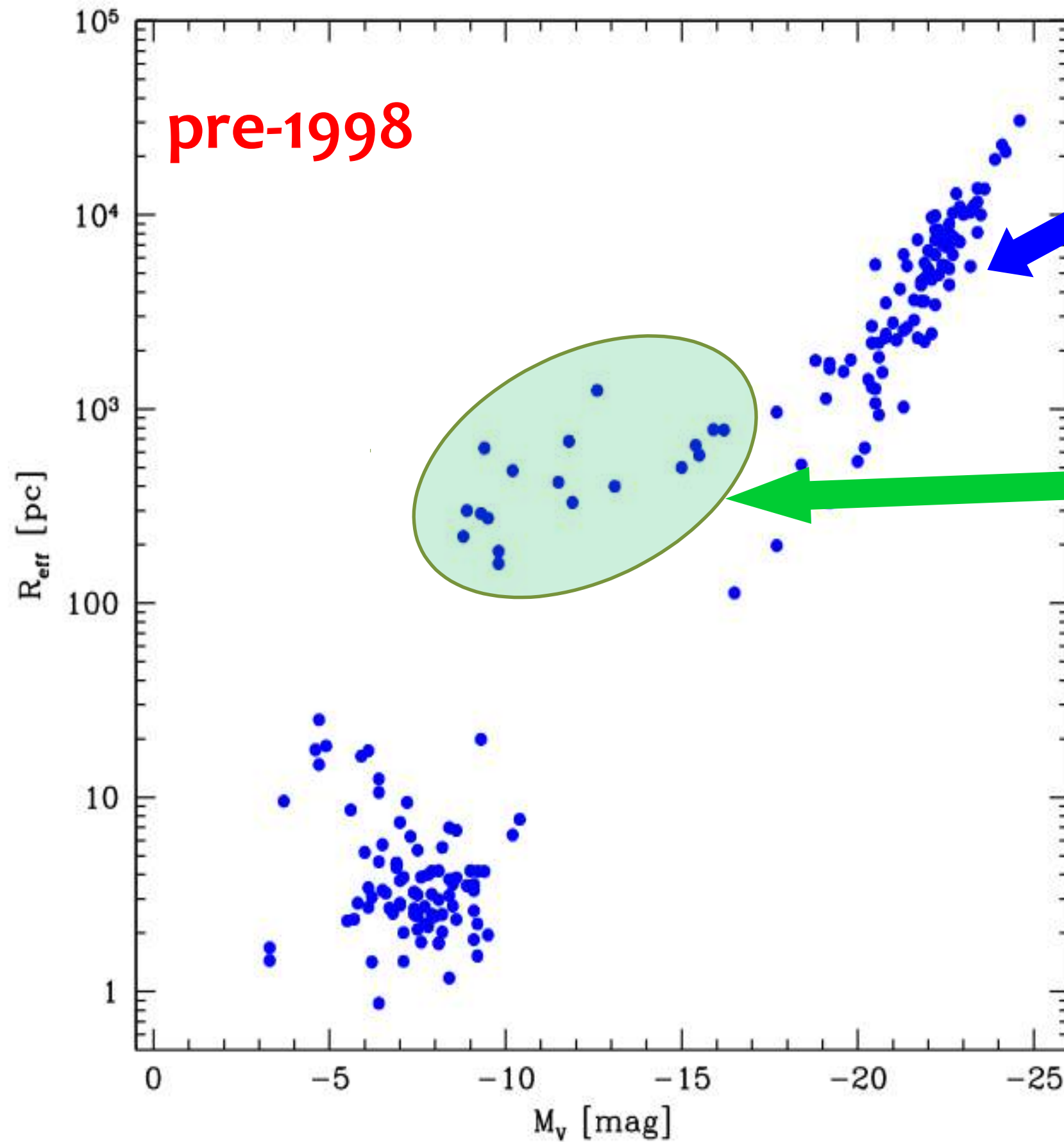
- ★ Anisotropie, Moment angulaires
 - Rotateurs lents/rapides versus *E / SOs*
- ★ In-situ, Ex-situ, Environnement, *Relations d'échelle*

■ *Campagnes d'observations*

- ★ Califa, SAMI, MaNGA
- ★ Résultats : plan fondamental, Rotateurs, Environnement

■ **Vers les masses extrêmes** (*si le temps le permet*)

Galaxies ETG : Plan Rayon-Masse



pre-1998

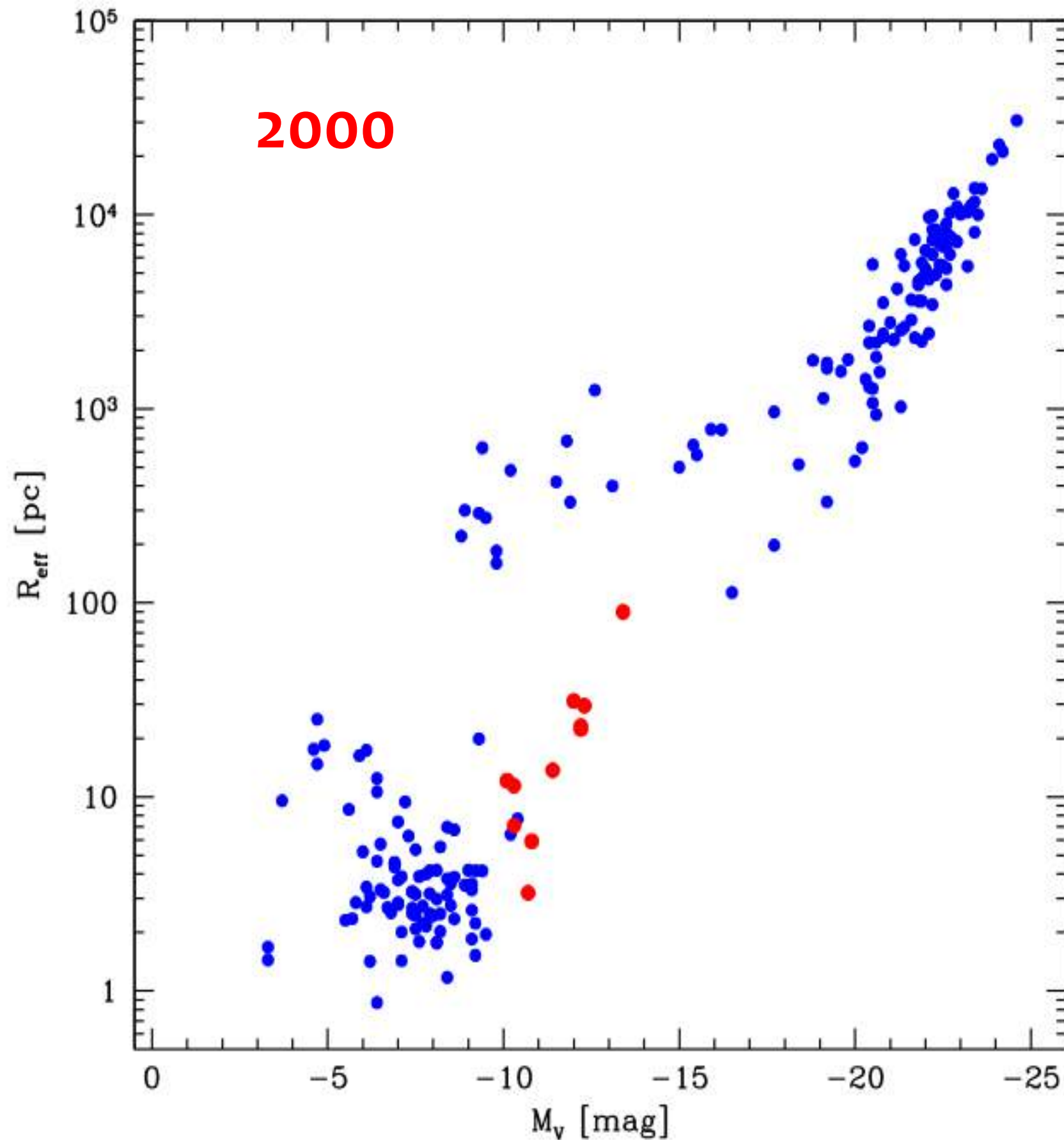
Séquence principale ?

Points déviants ?

Adapté de
Misgeld & Hilker (2011)

Sources principales :
Bender et al. (1993)
Mateo (1998)
Harris (1998)

Galaxies ETG : Plan Rayon-Masse



Adapté de
Misgeld & Hilker (2011)

Source principales :

Bender et al. (1993)

Mateo (1998)

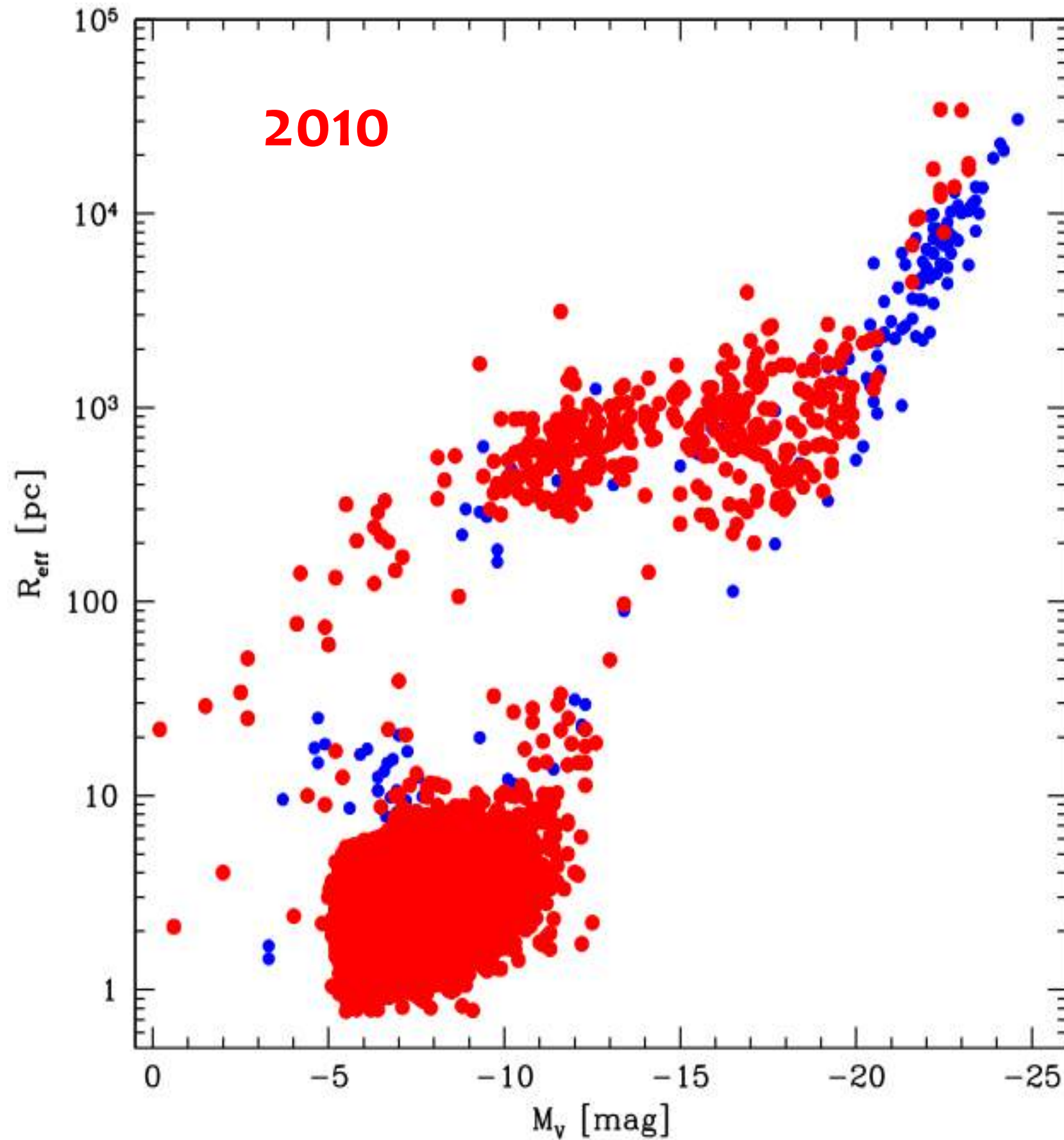
Harris (1998)

Holland et al. (1999)

Hilker et al. (1999)

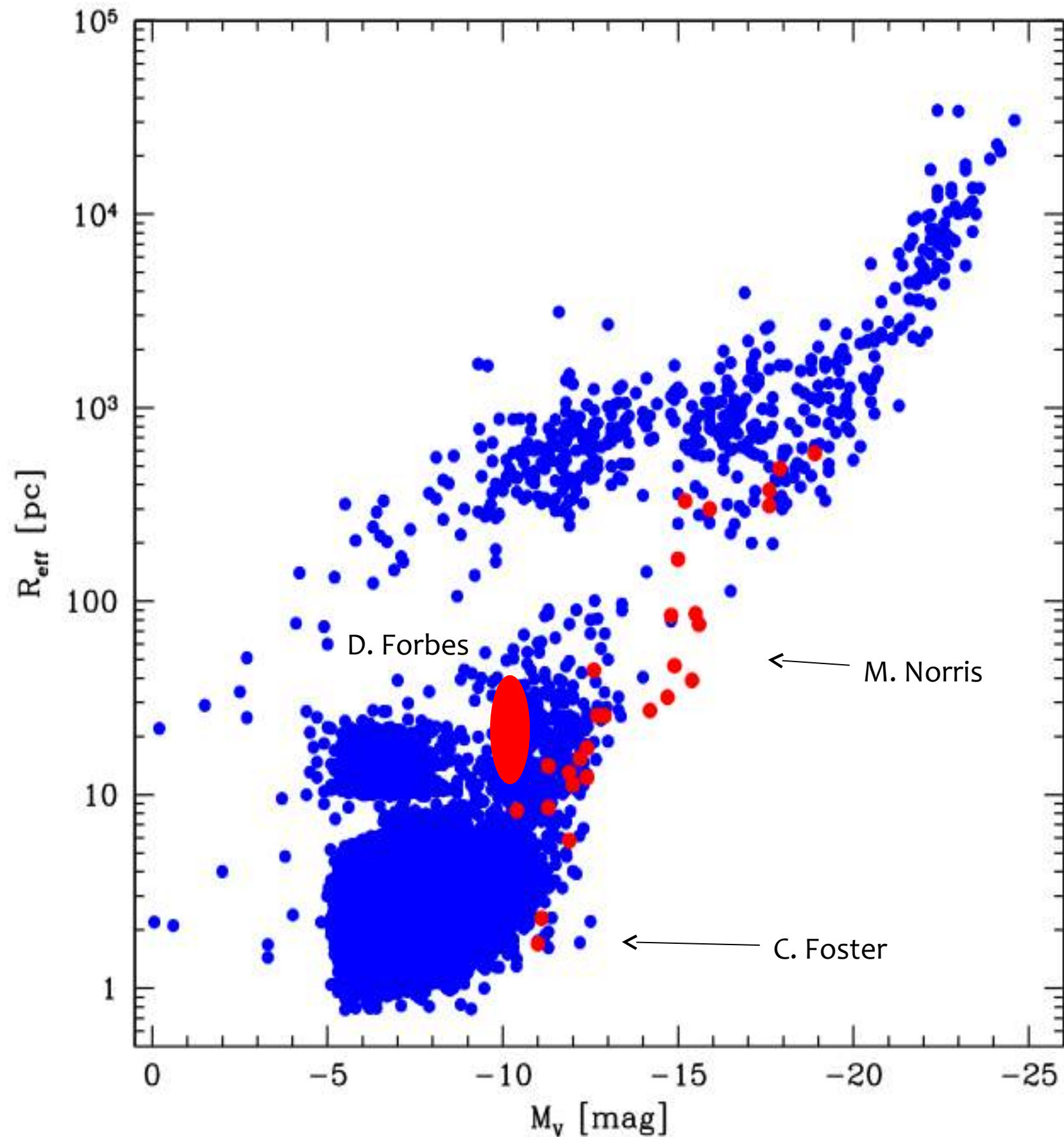
Drinkwater et al. (2000)

Galaxies ETG : Plan Rayon-Masse



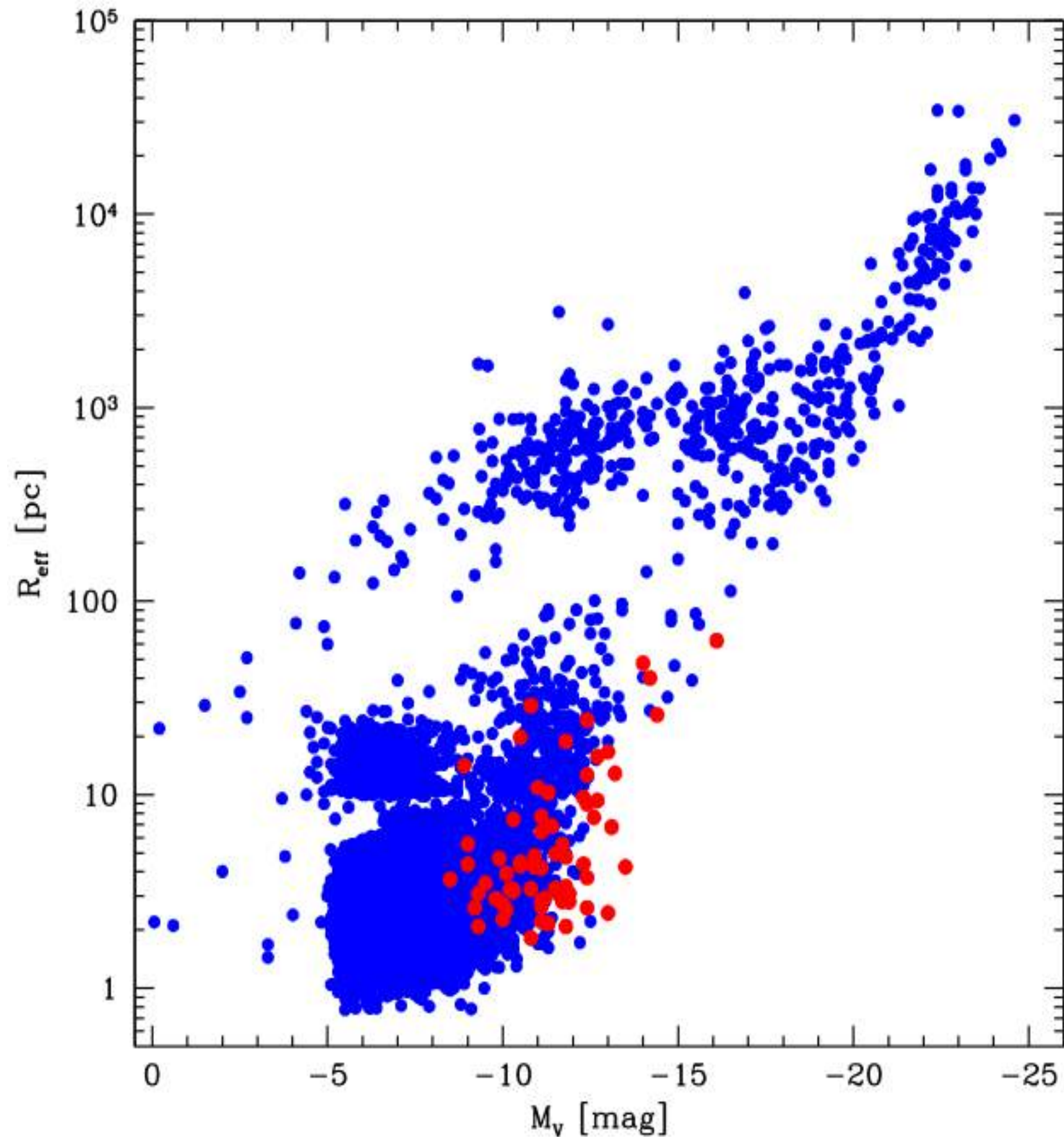
Adapté de
Misgeld & Hilker (2011)
Brodie et al (2011)

Galaxies ETG : Plan Rayon-Masse



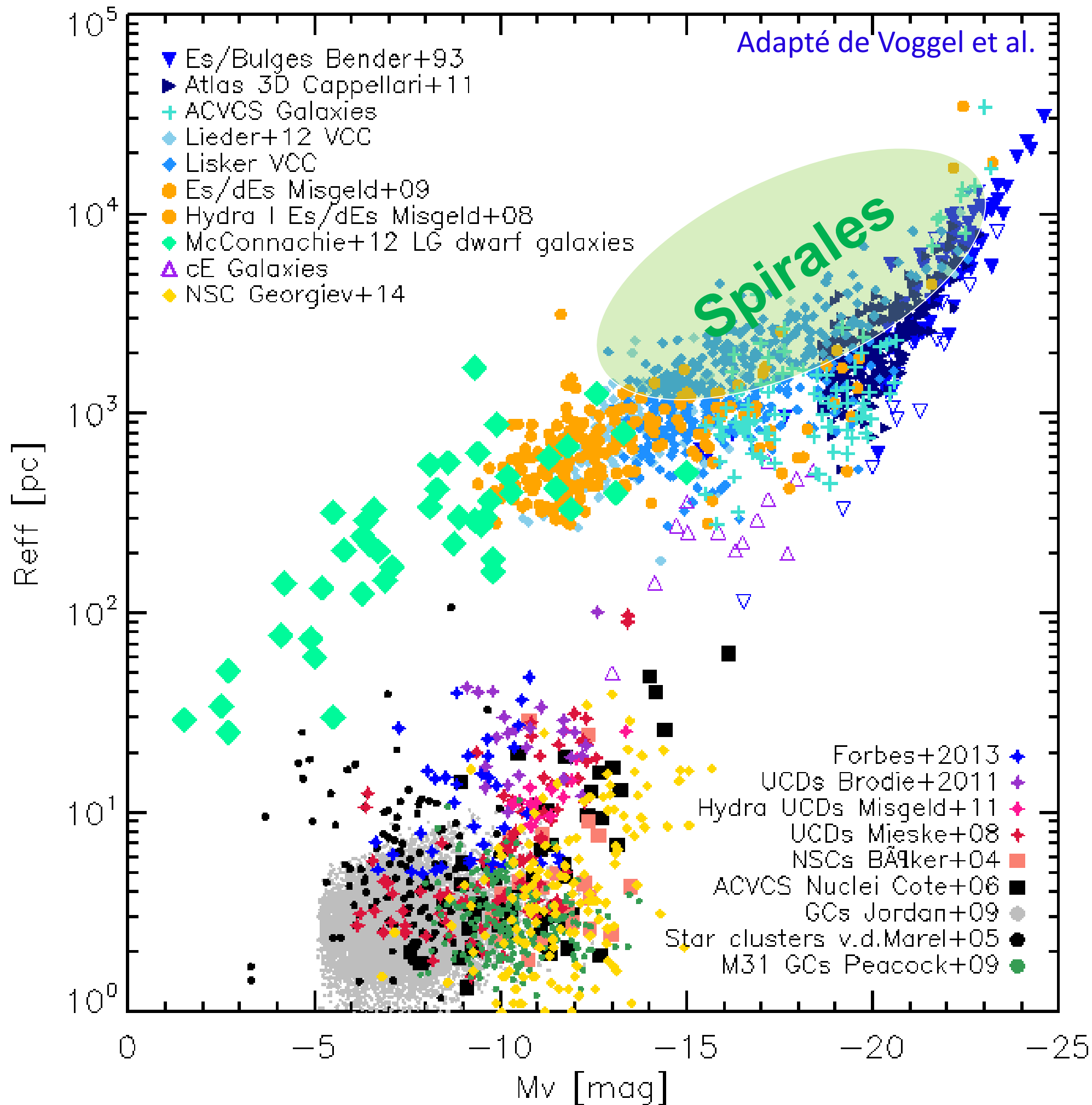
Adapté de
Misgeld & Hilker (2011)
Brodie et al. (2011)
Brüns & Kroupa (2012)

Galaxies ETG + Noyaux : Plan Rayon-Masse

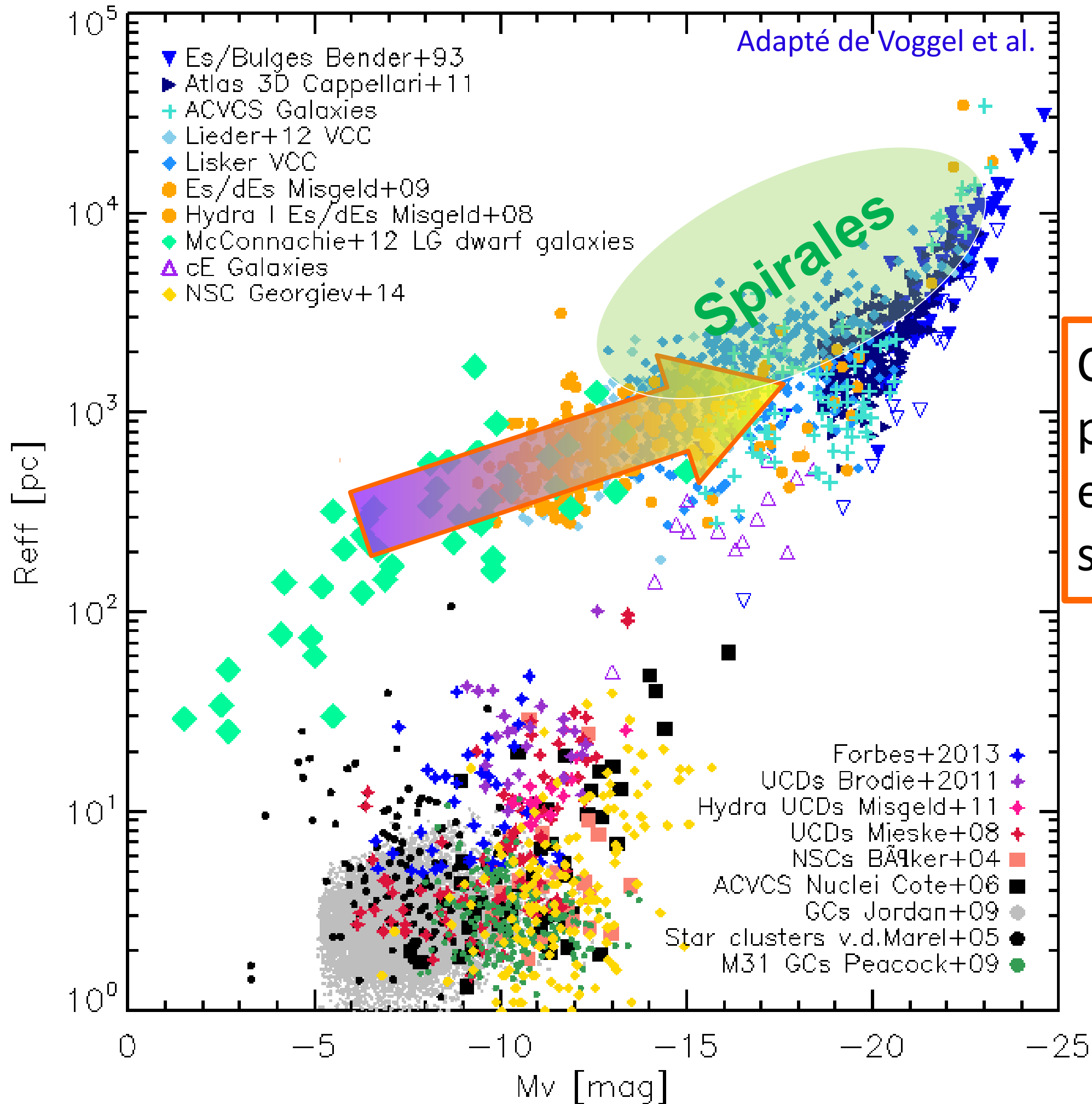


Noyaux :
Böker et al. (2004)
Rossa et al. (2006)
Cote et al. (2006)

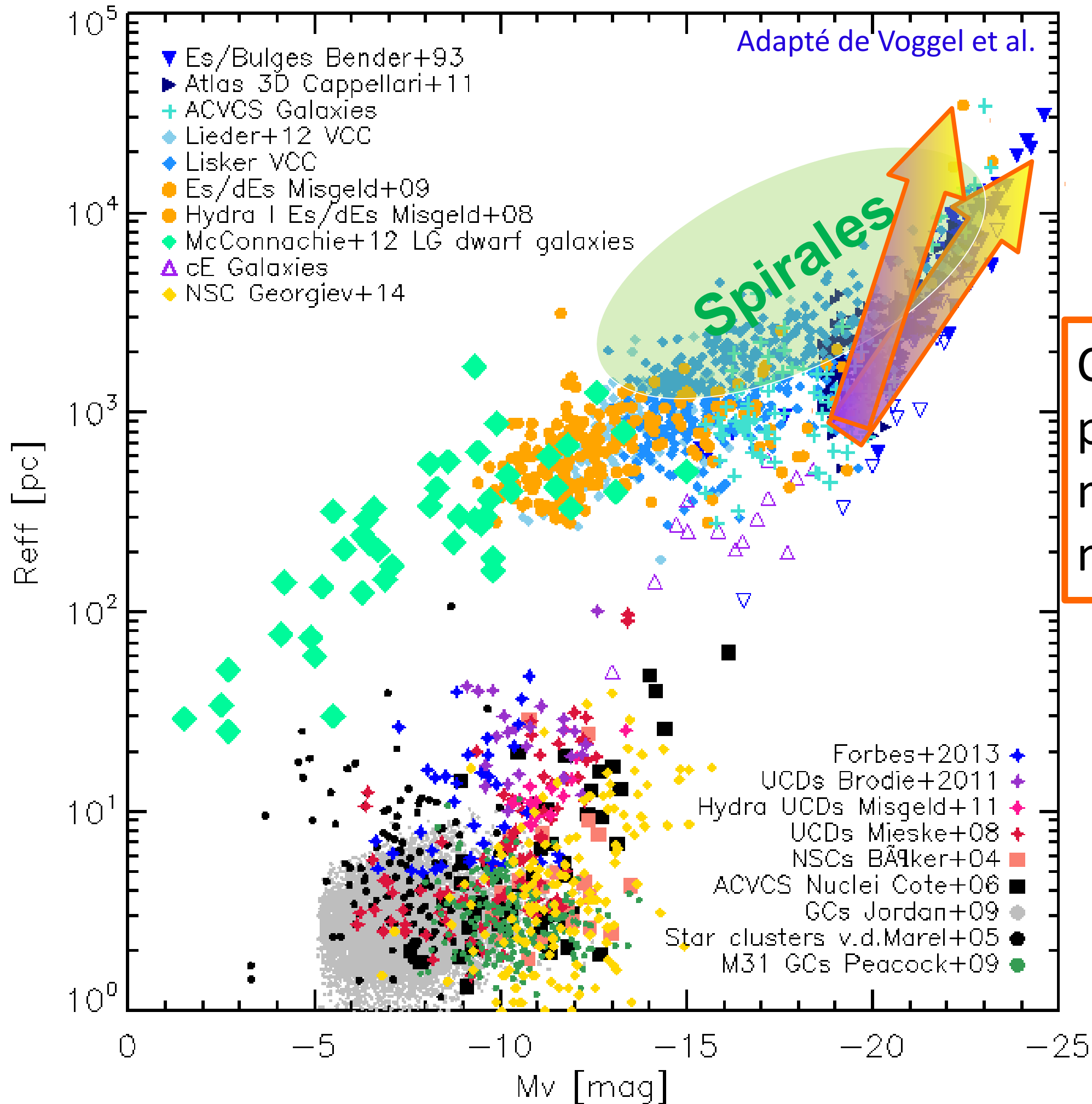
Une vue globale du Plan Rayon-Masse



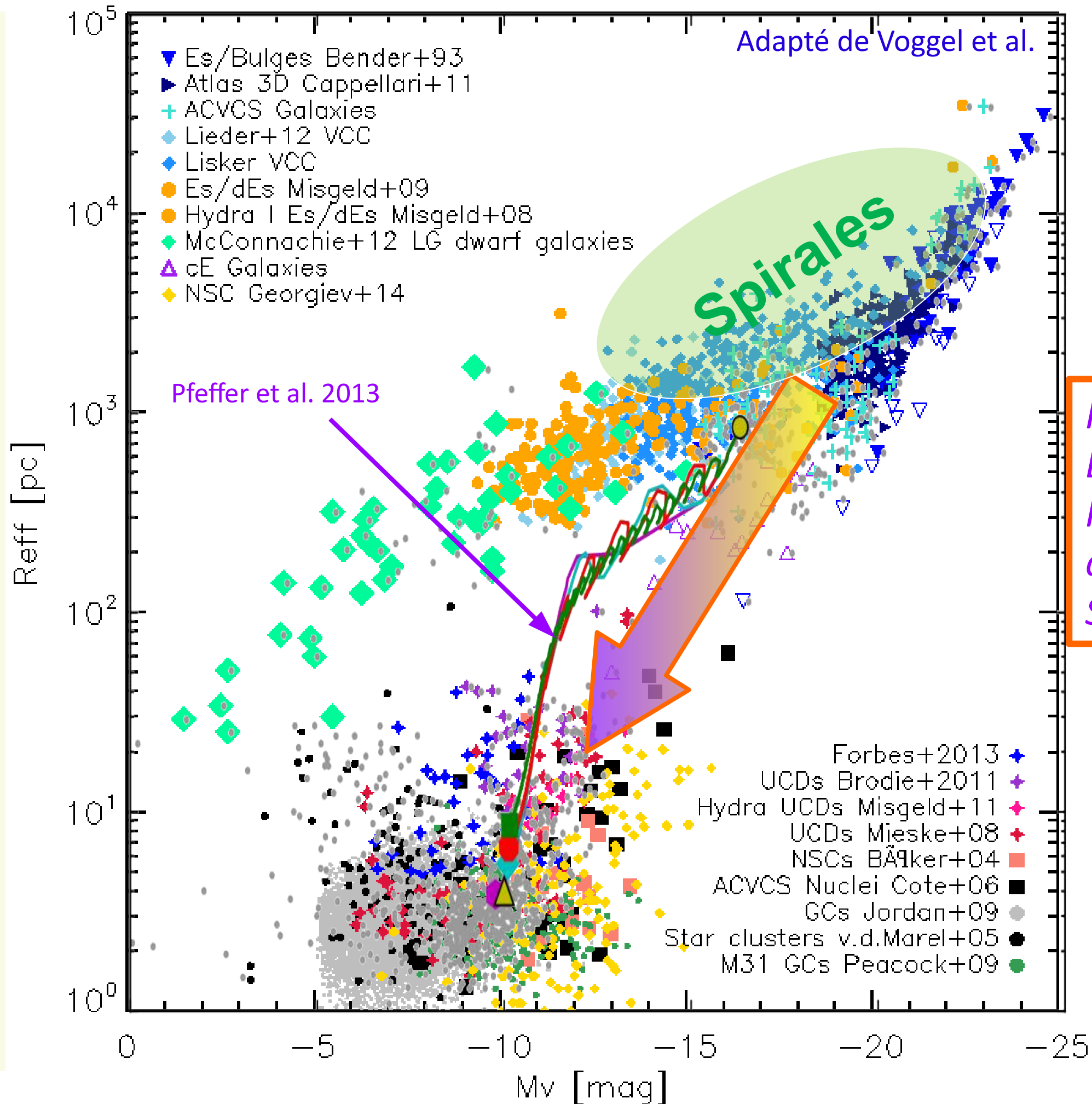
Une vue globale du Plan Rayon-Masse



Une vue globale du Plan Rayon-Masse

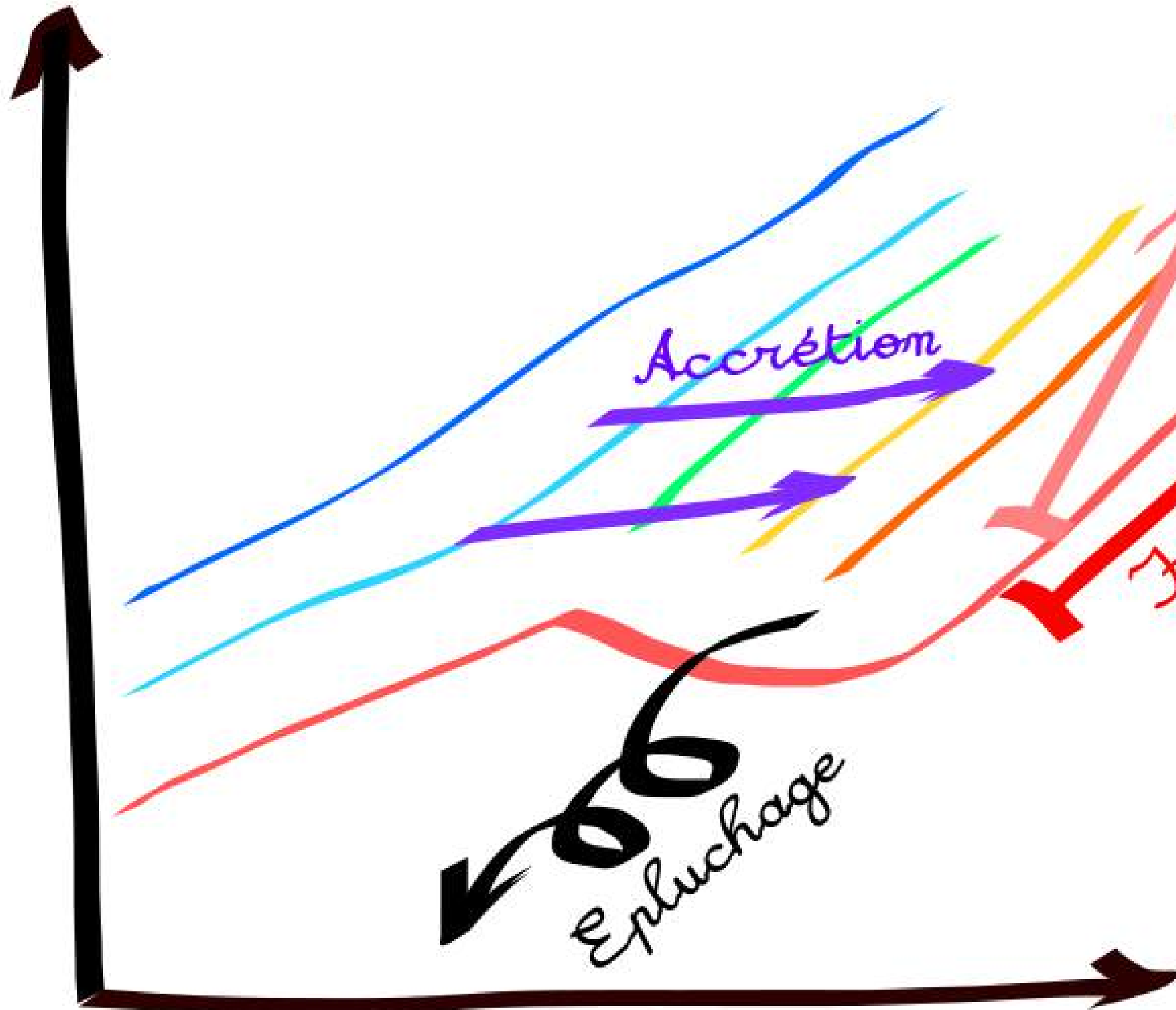


Une vue globale du Plan Rayon-Masse



Harasement
Epluchage
Pression
dynamique
Strangulation

Taille



Accrétion

Épluchage

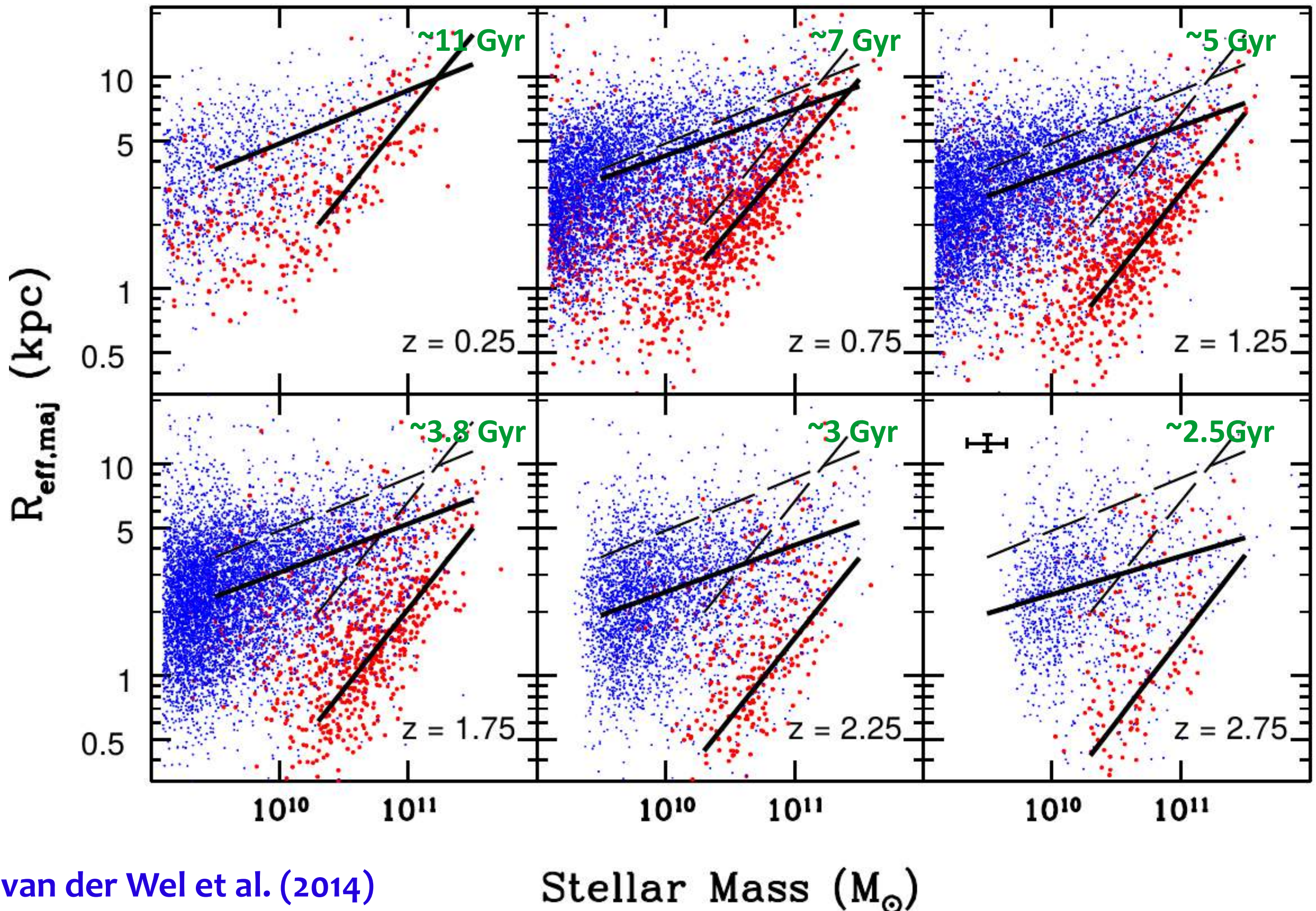
Fusions mineures

Fusions majeures

Masse Stellaire



Evolution en fonction du redshift



Quid de la Dynamique ?

Le Graal

(la fonction de distribution)

f[*x, y, z, Vx, Vy, Vz, [Fe/H], age, ..., t* **]**

Le Graal – Dynamique

(la fonction de distribution)

$f[x, y, z, V_x, V_y, V_z, \text{---} [\text{Fe}/\text{H}], \text{age}, \dots, t]$

Le Graal – Dynamique (dans le monde réel)

(la fonction de distribution)

$f[x', y', \cancel{z}, \cancel{v_x}, \cancel{v_y}, v_{z'}, \cancel{[Fe/H]}, \cancel{\text{age}}, \dots, t]$

Prototype de fusion majeure

NGC 7252

©ESO



Paradigme

2 Spirales \Rightarrow 1 galaxie elliptique

Types tardifs \Rightarrow type précoce

NGC 7252

©NASA/ESA (HST)



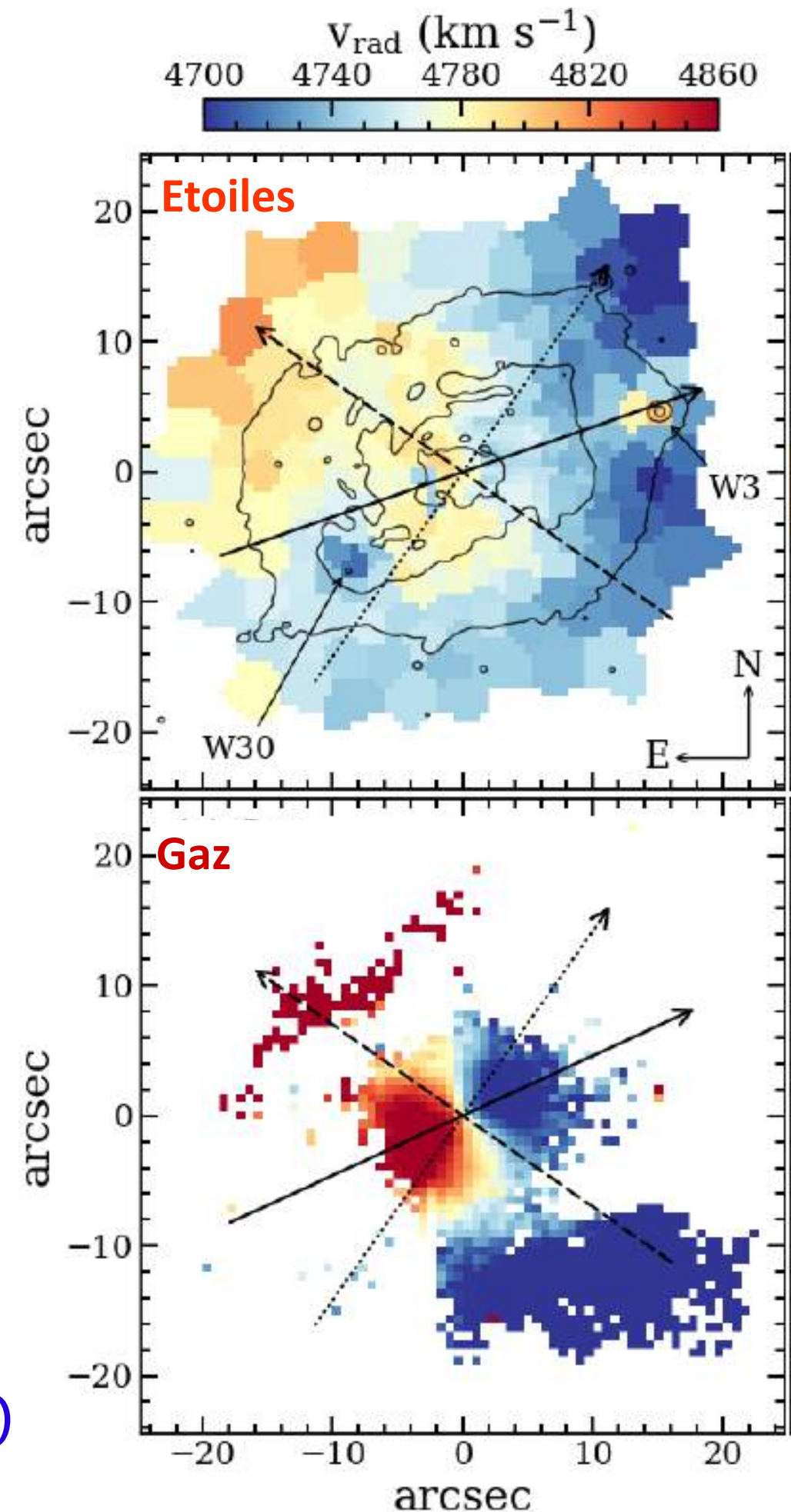
NGC 7252

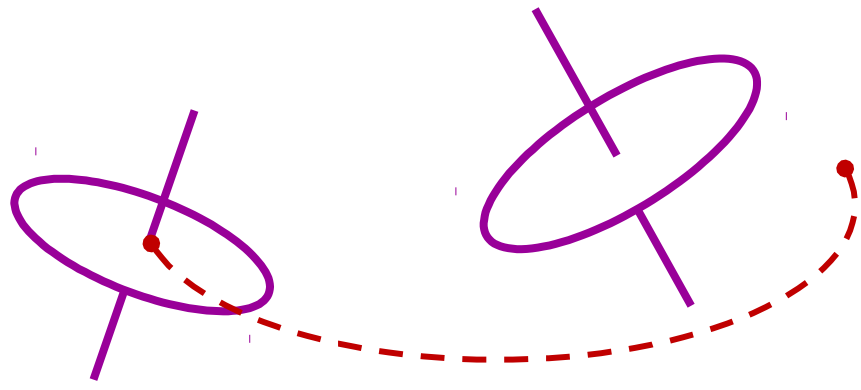
Dynamique des étoiles / du gaz

■ Structures complexes

- ★ *Coeur cinématiquement découplé*
- ★ Disque central de gaz
- ★ Moment angulaire stellaire non nul

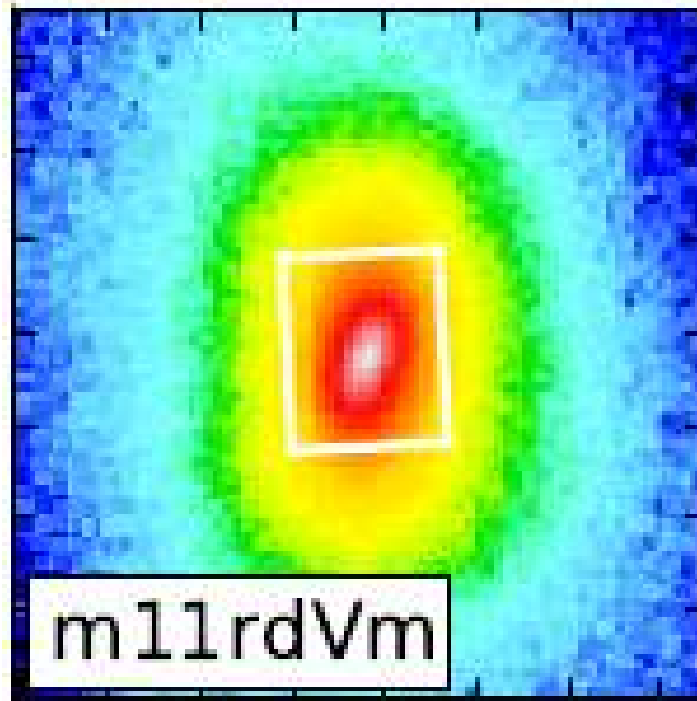
Weaver et al. (2018)



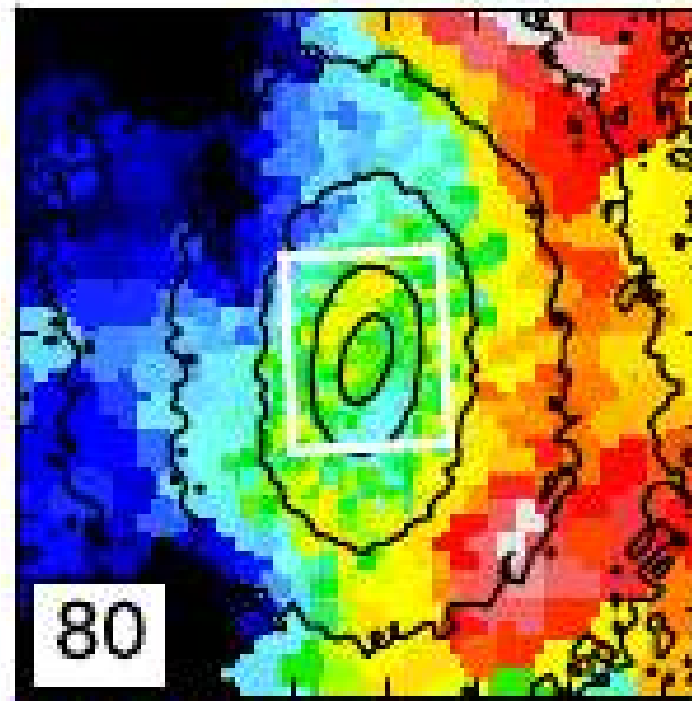


- ★ Fusions de 2 galaxies → il reste du moment angulaire
- ★ Galaxies à faible moment angulaire
 - ⇒ Structures dynamiques complexes (non régulières)
 - & parfois Coeurs Découplés

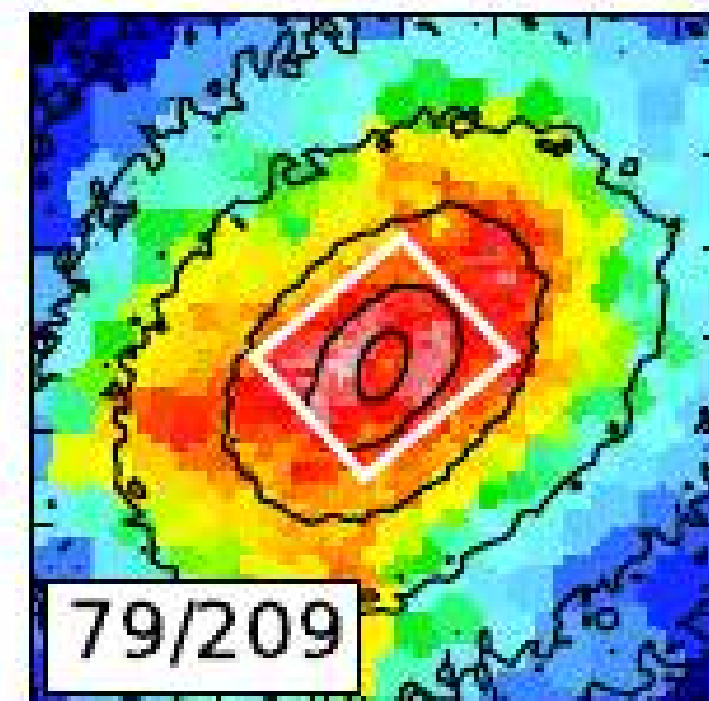
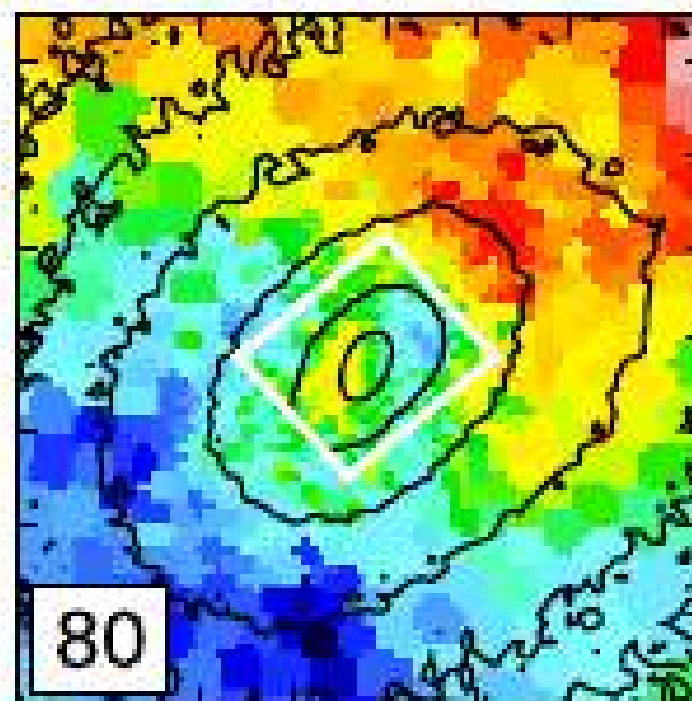
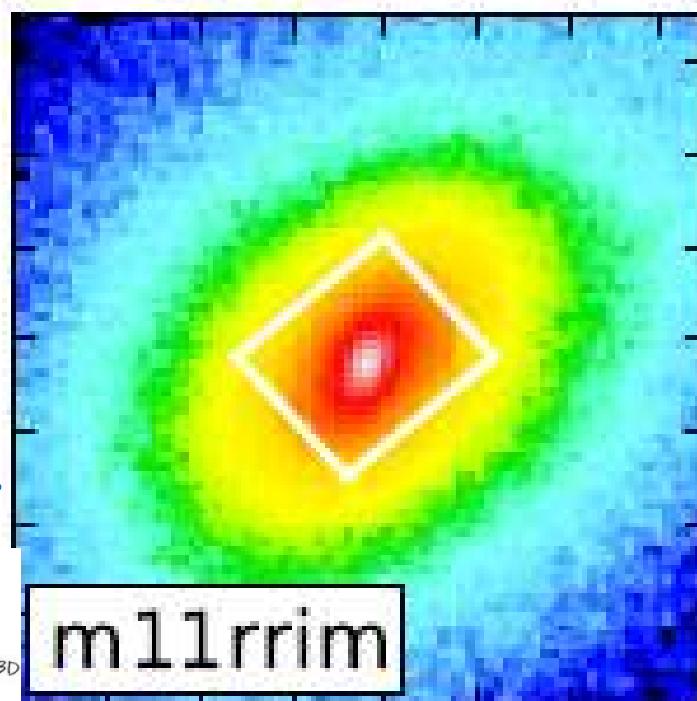
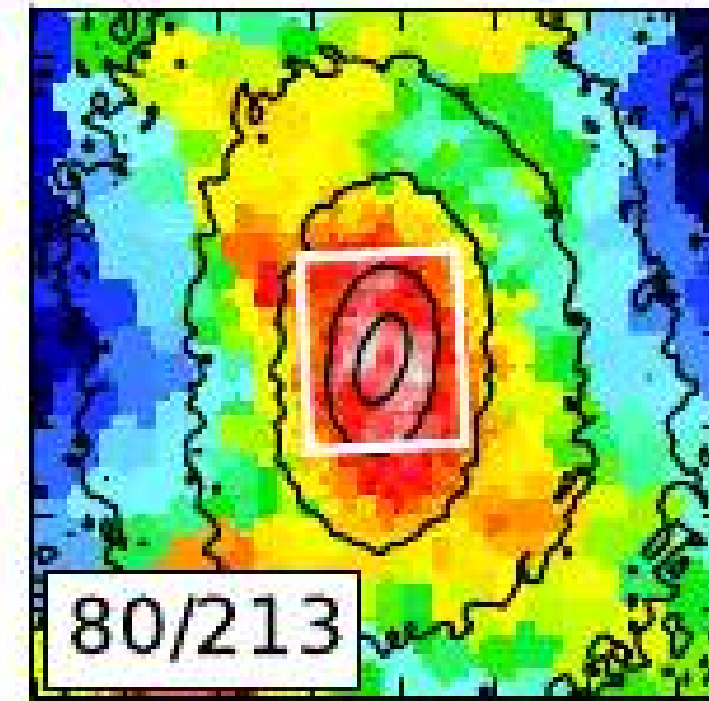
Luminosité



Vitesse

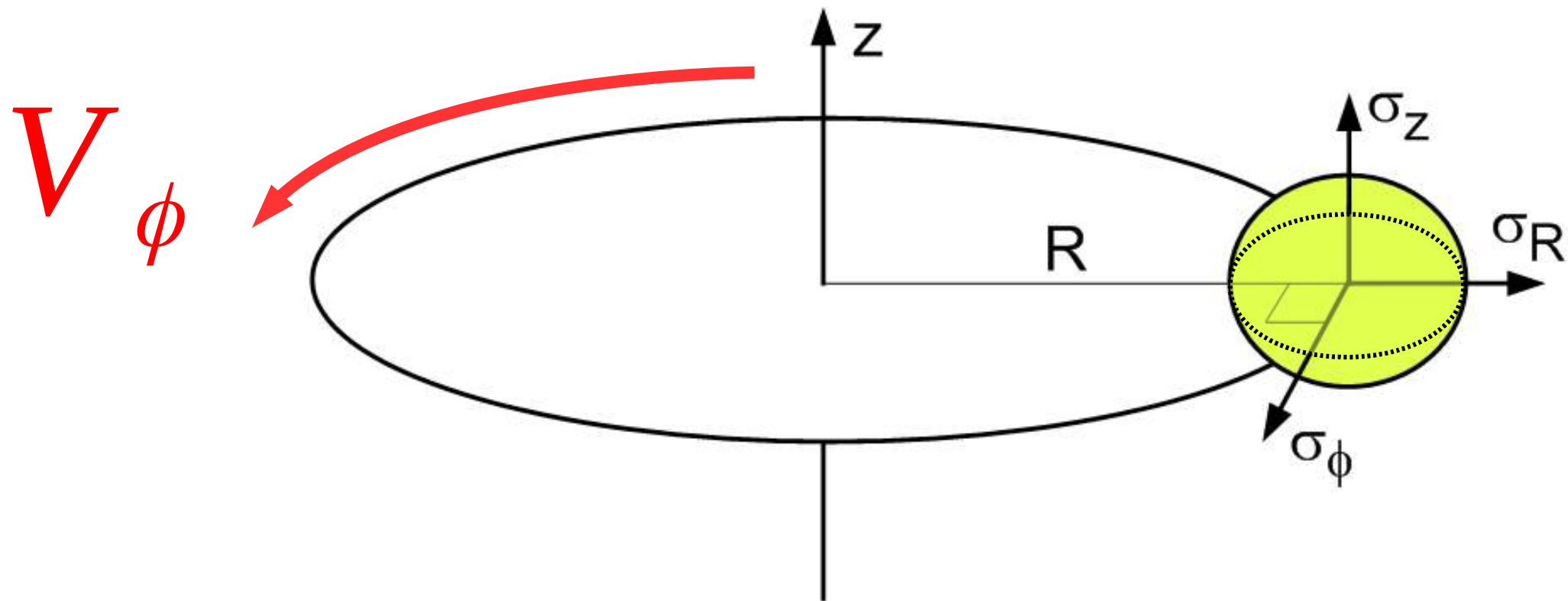


Dispersion



Caractérisation dynamique

Rotation \Rightarrow vitesse moyenne

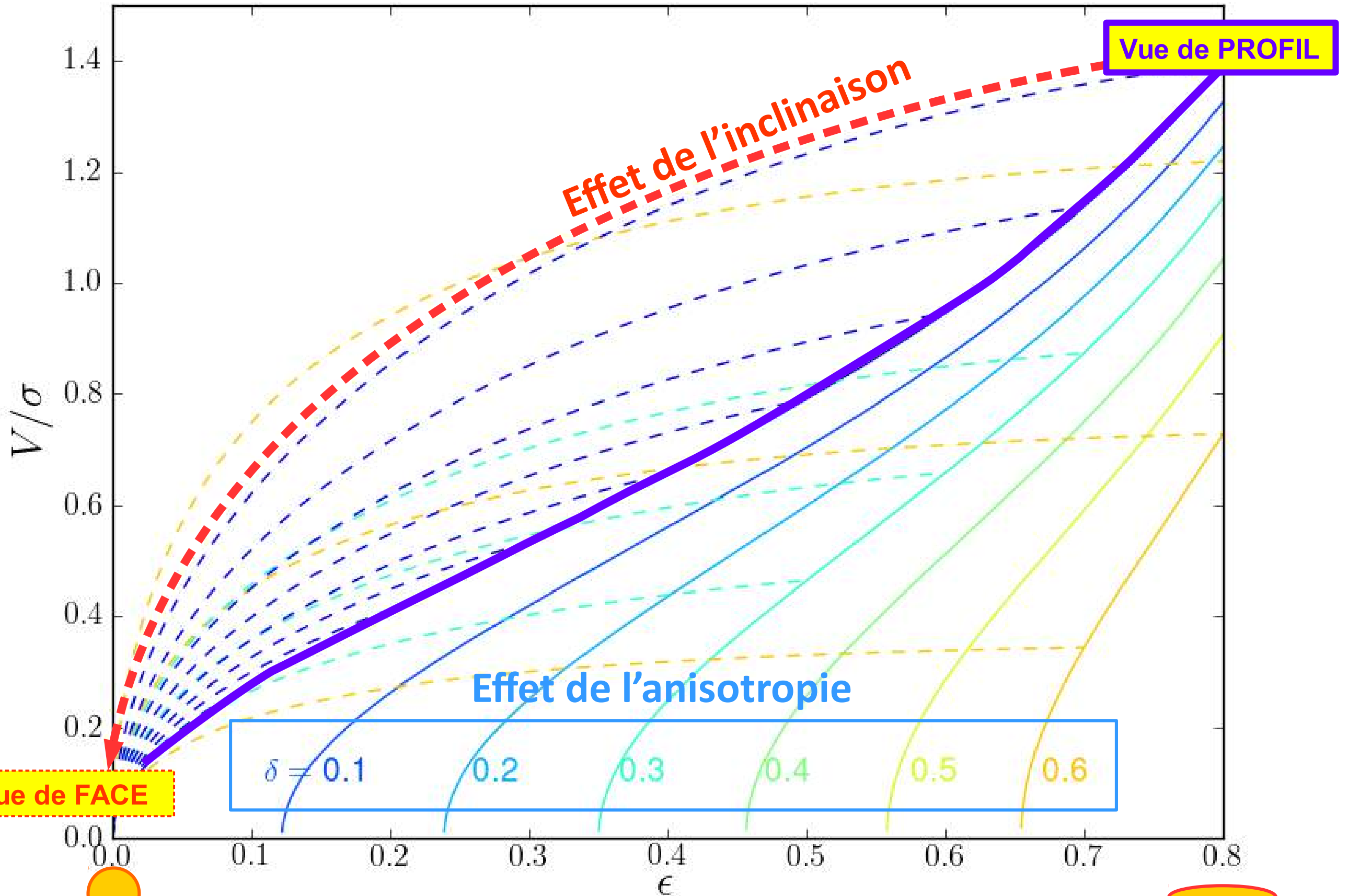


& Anisotropie \Rightarrow forme du tenseur de dispersion

$$\beta_z \Rightarrow 1 - \frac{\sigma_z^2}{\sigma_R^2} \quad \beta_\phi \Rightarrow 1 - \frac{\sigma_\phi^2}{\sigma_R^2}$$

Caractérisation dynamique : l'anisotropie

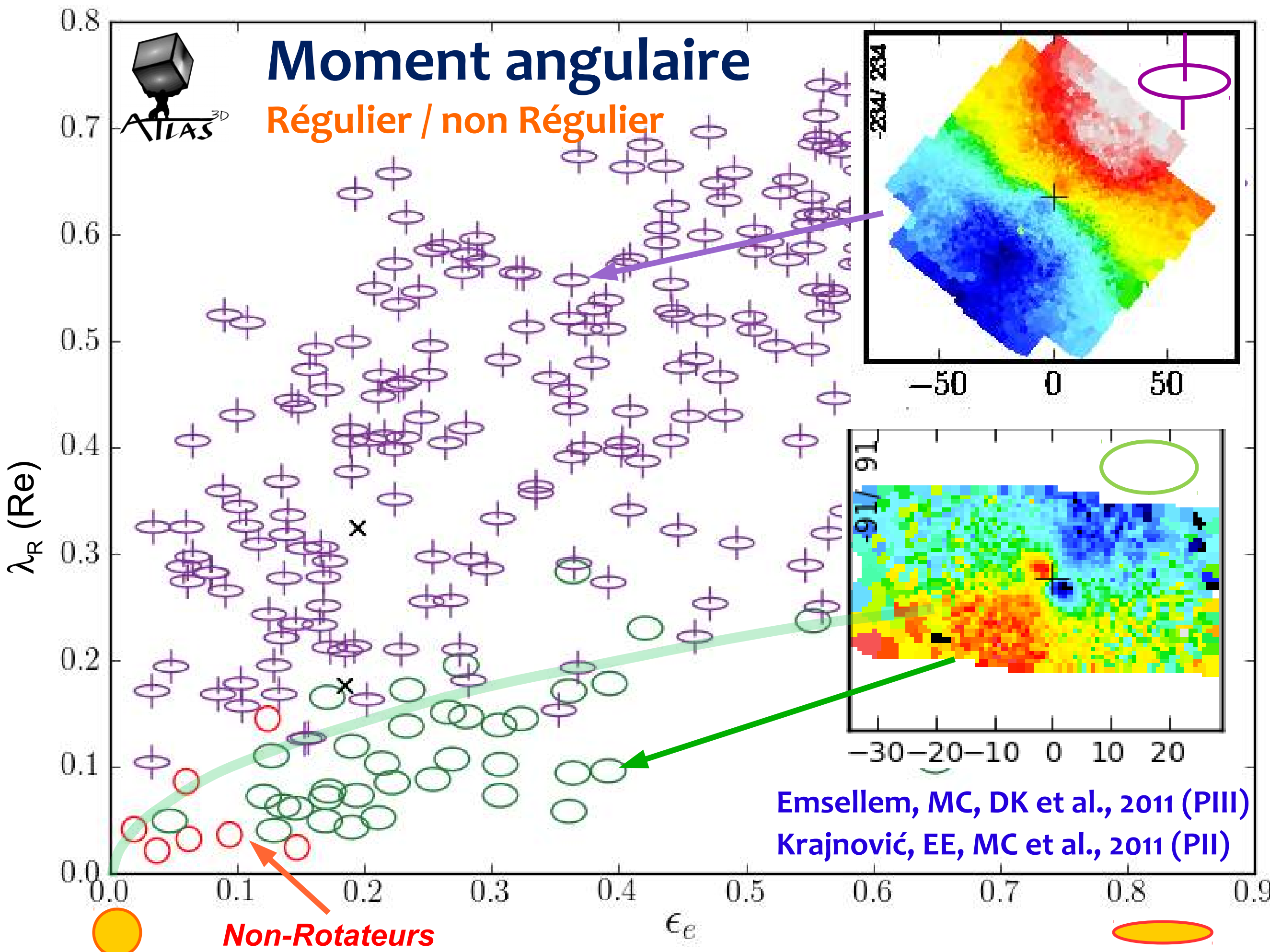
⇒ Prédiction des modèles





Moment angulaire

Régulier / non Régulier

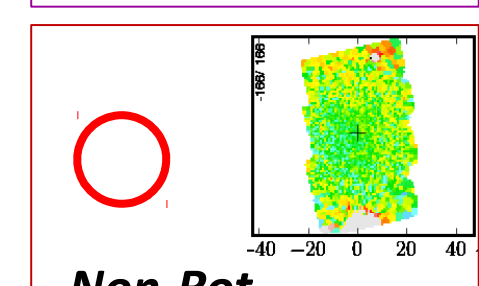
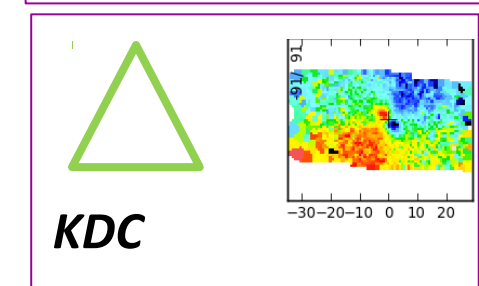
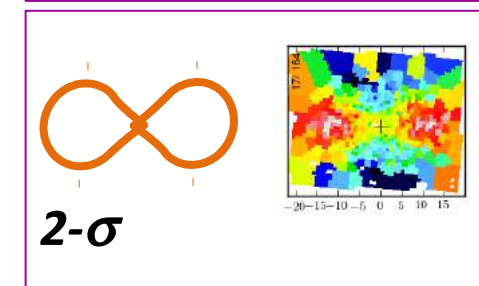
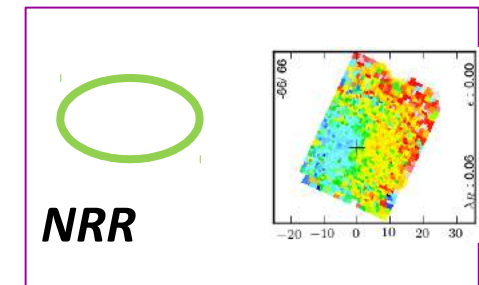
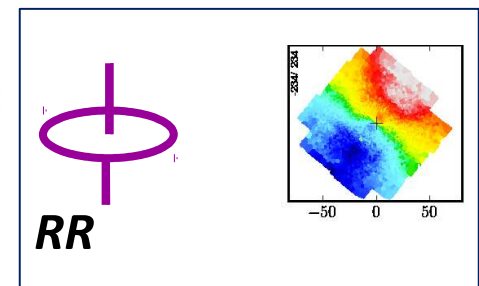
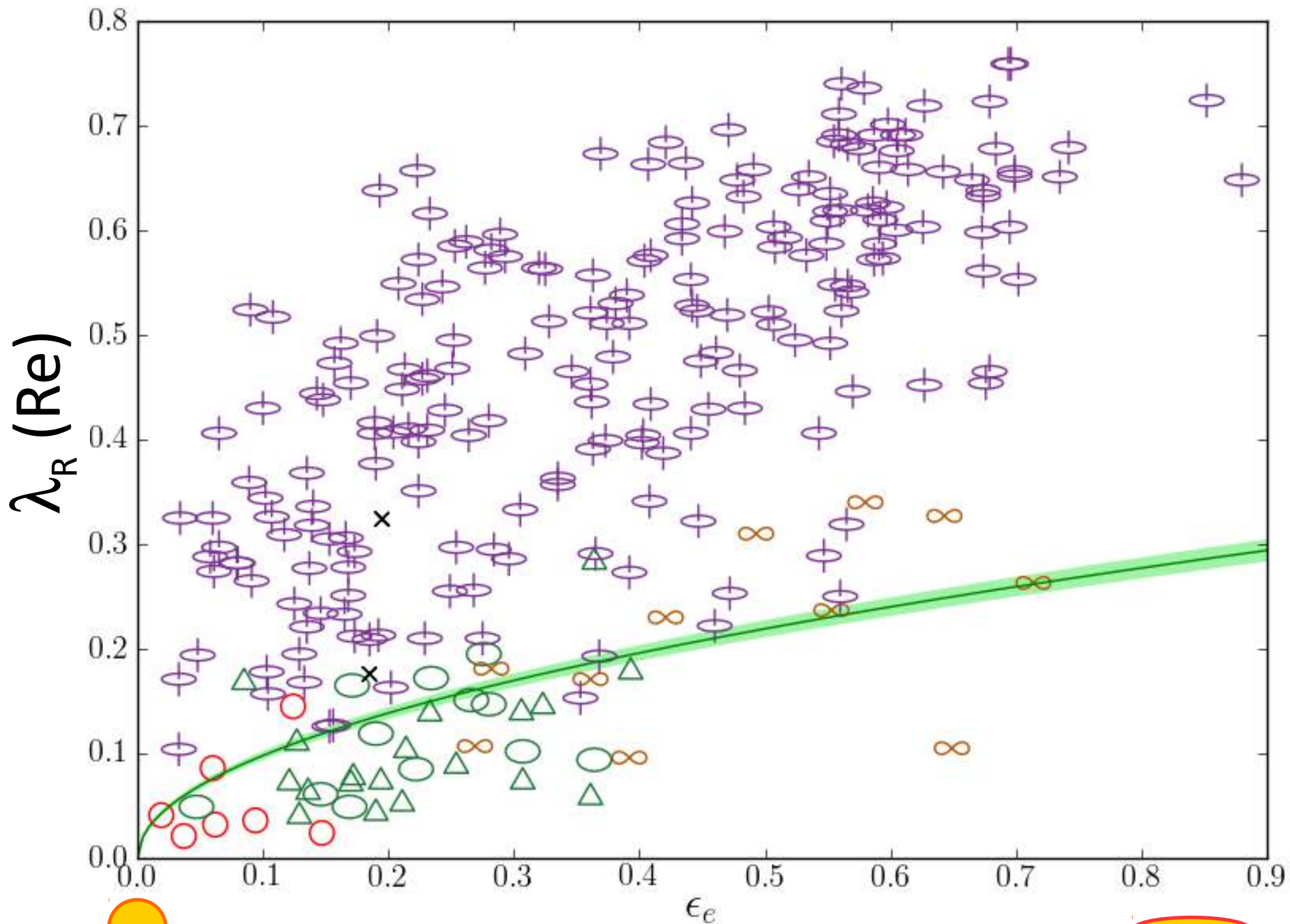


Non-Rotateurs



Emsellem, MC, DK et al., 2011 (PIII)
Krajnović, EE, MC et al., 2011 (PII)

λ_R et Structures Cinématiques

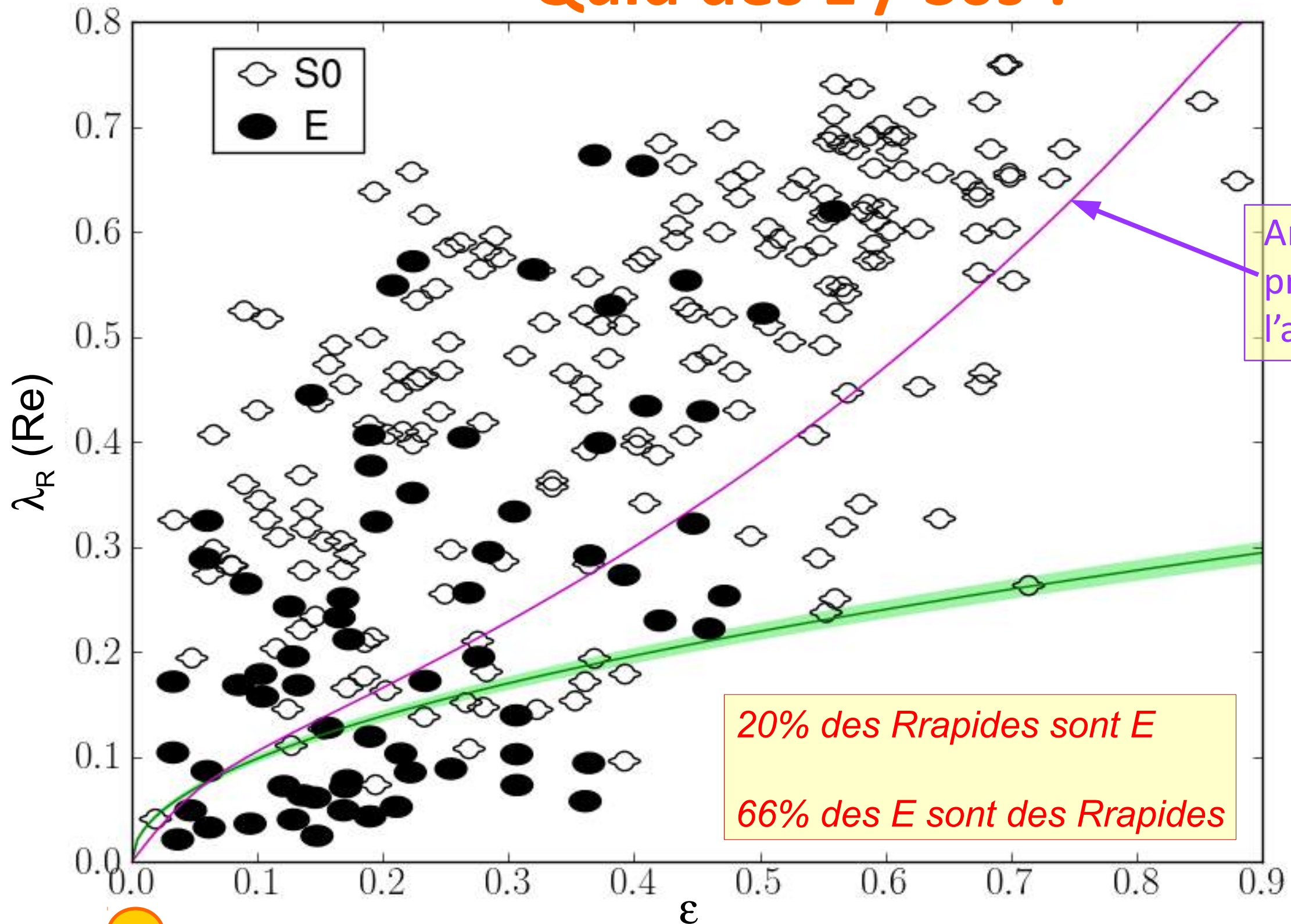


Emsellem, MC, DK et al., 2011 (PIII)



Rotateurs Lents / Rapides

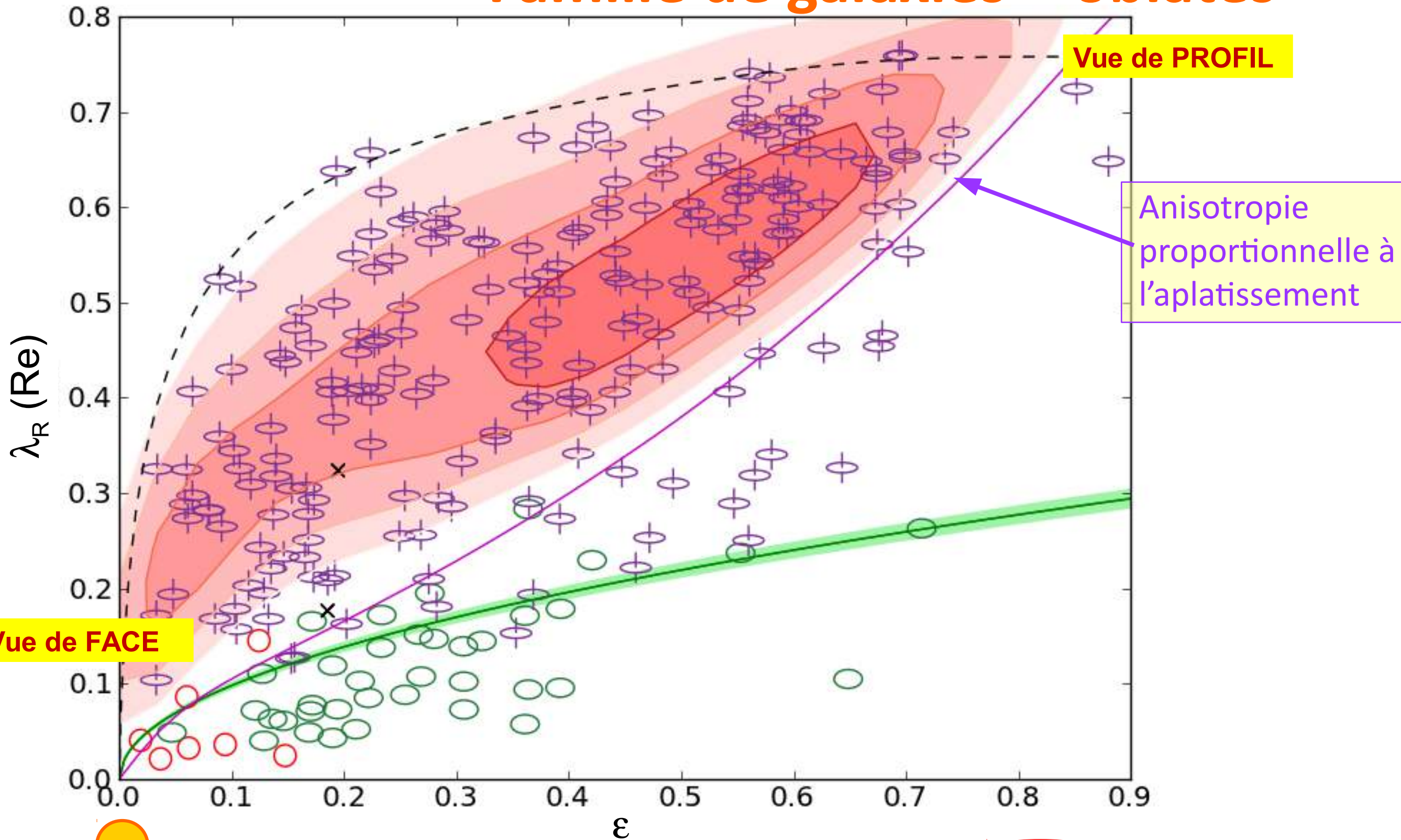
⇒ **Quid des E / S0s ?**



Emsellem, MC, DK et al., 2011 (PIII)

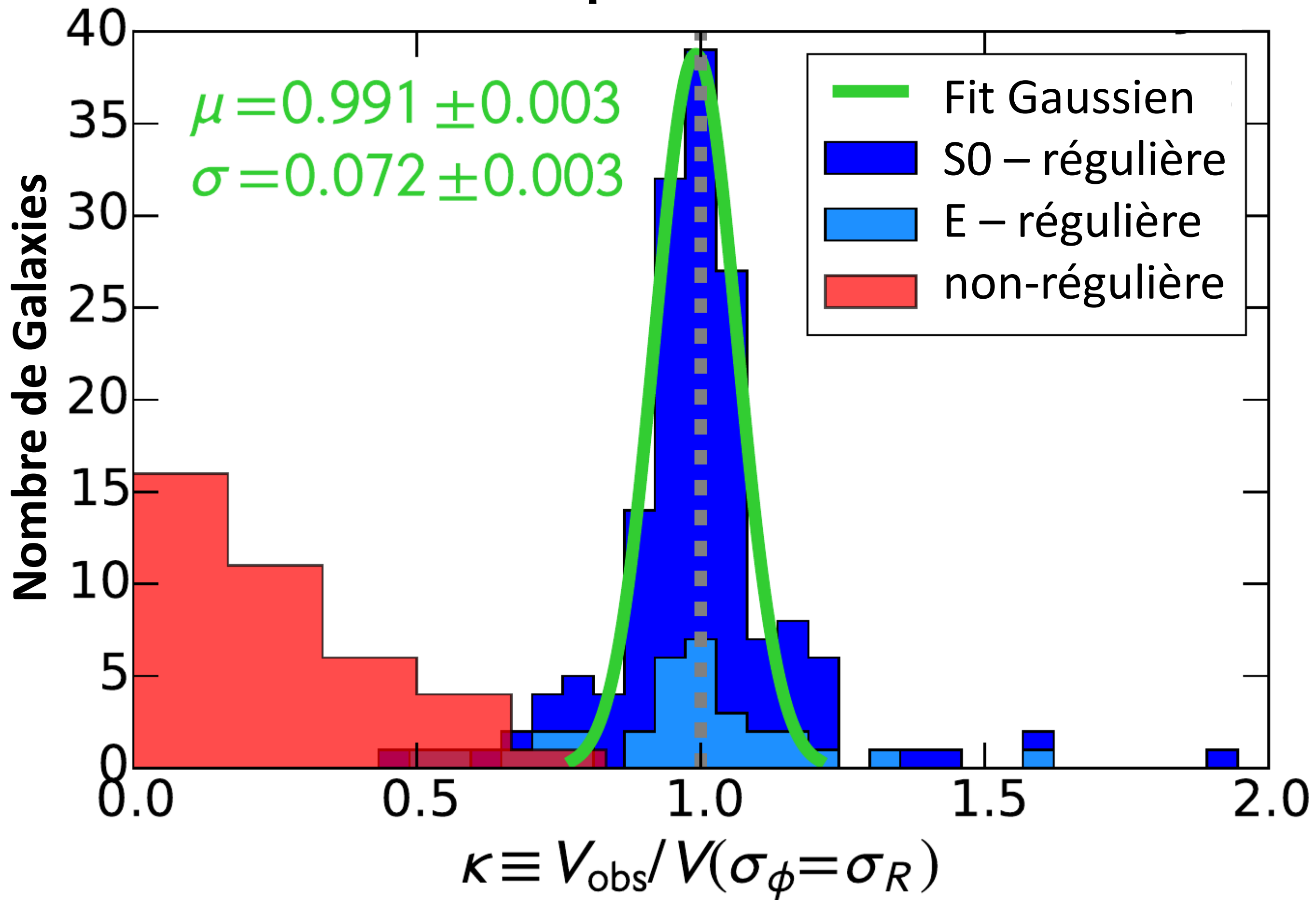
Rotateurs Rapides

⇒ Famille de galaxies « oblates »



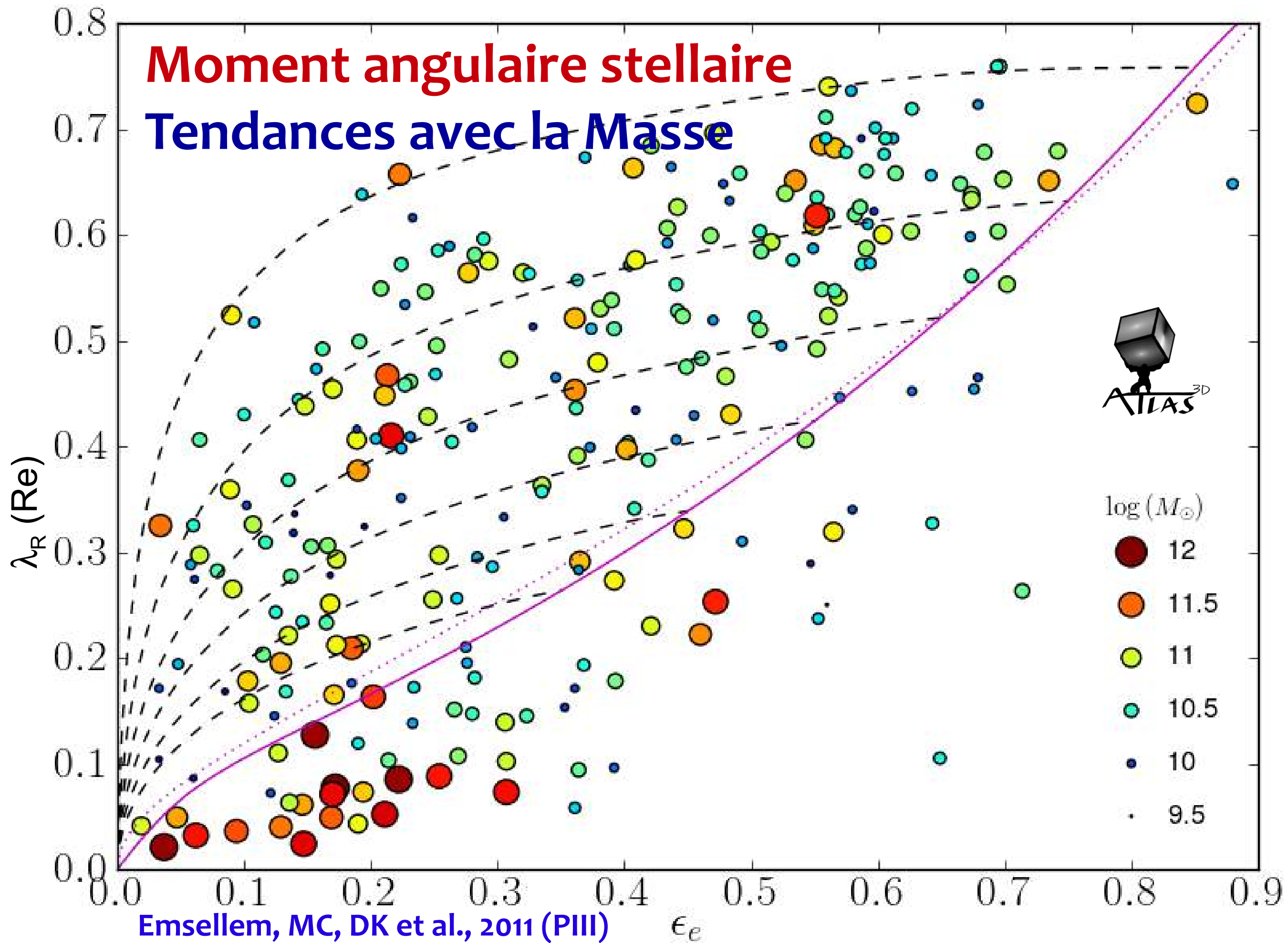
Emsellem, MC, DK et al., 2011 (PIII)

Rotateurs lents / rapides : *Dichotomie ?*



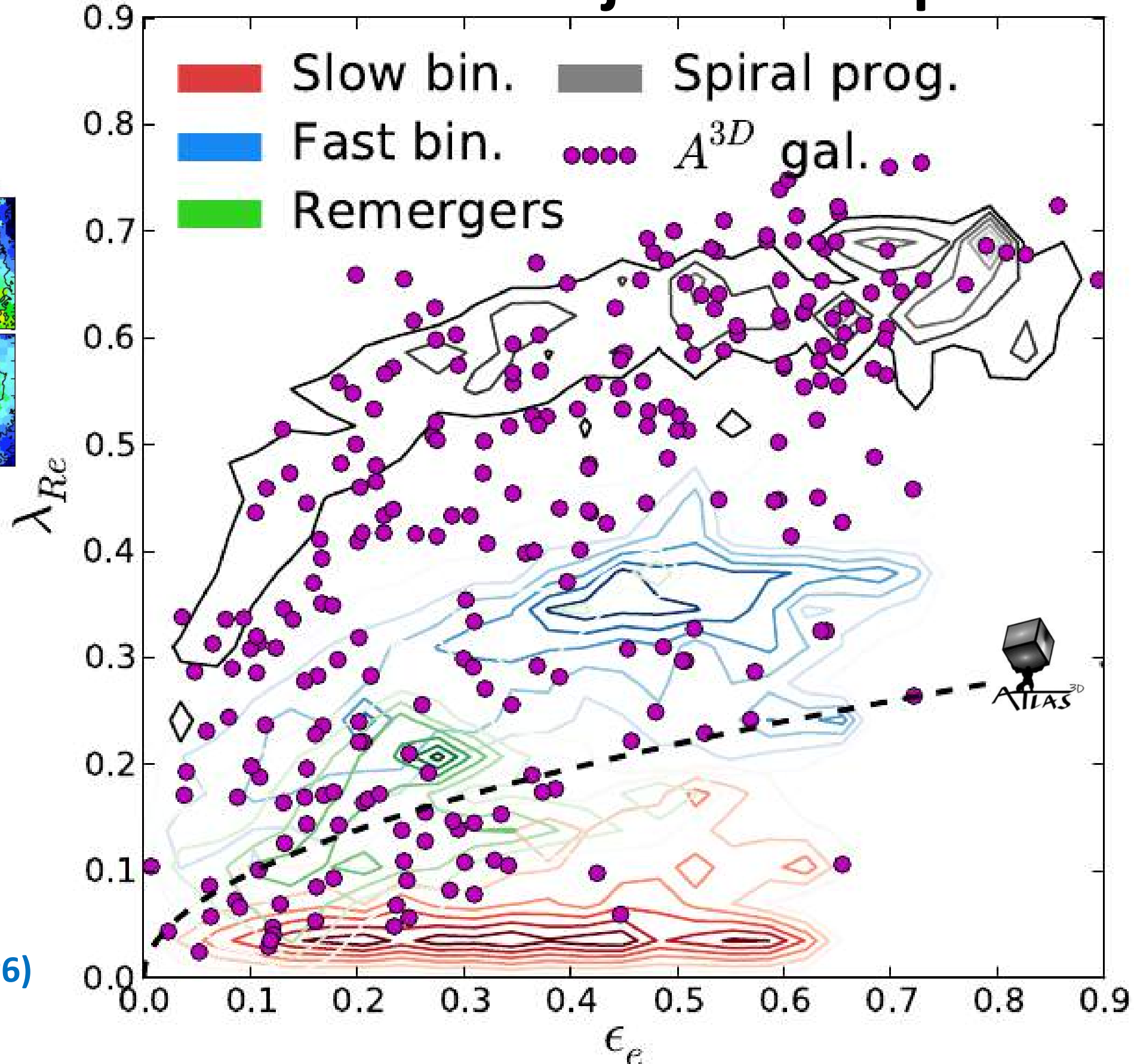
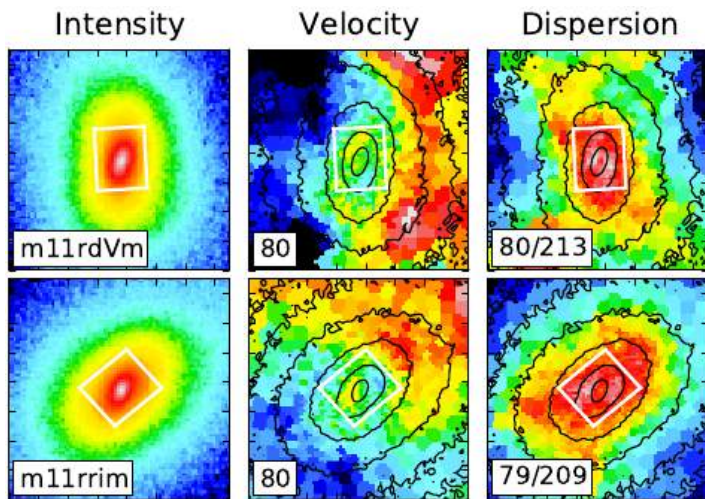
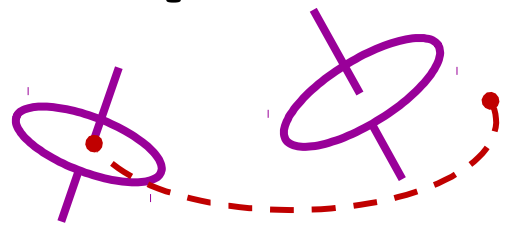
Moment angulaire stellaire

Tendances avec la Masse



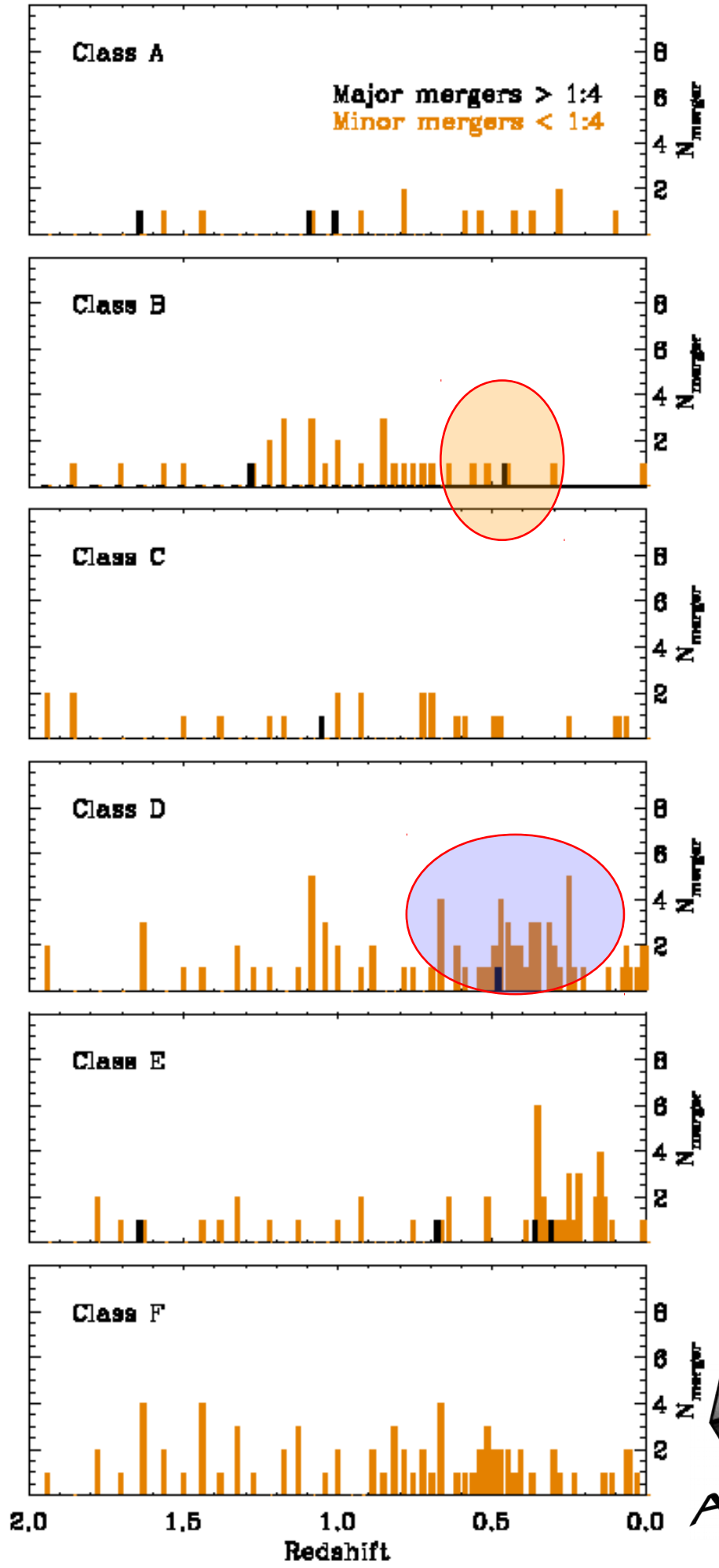
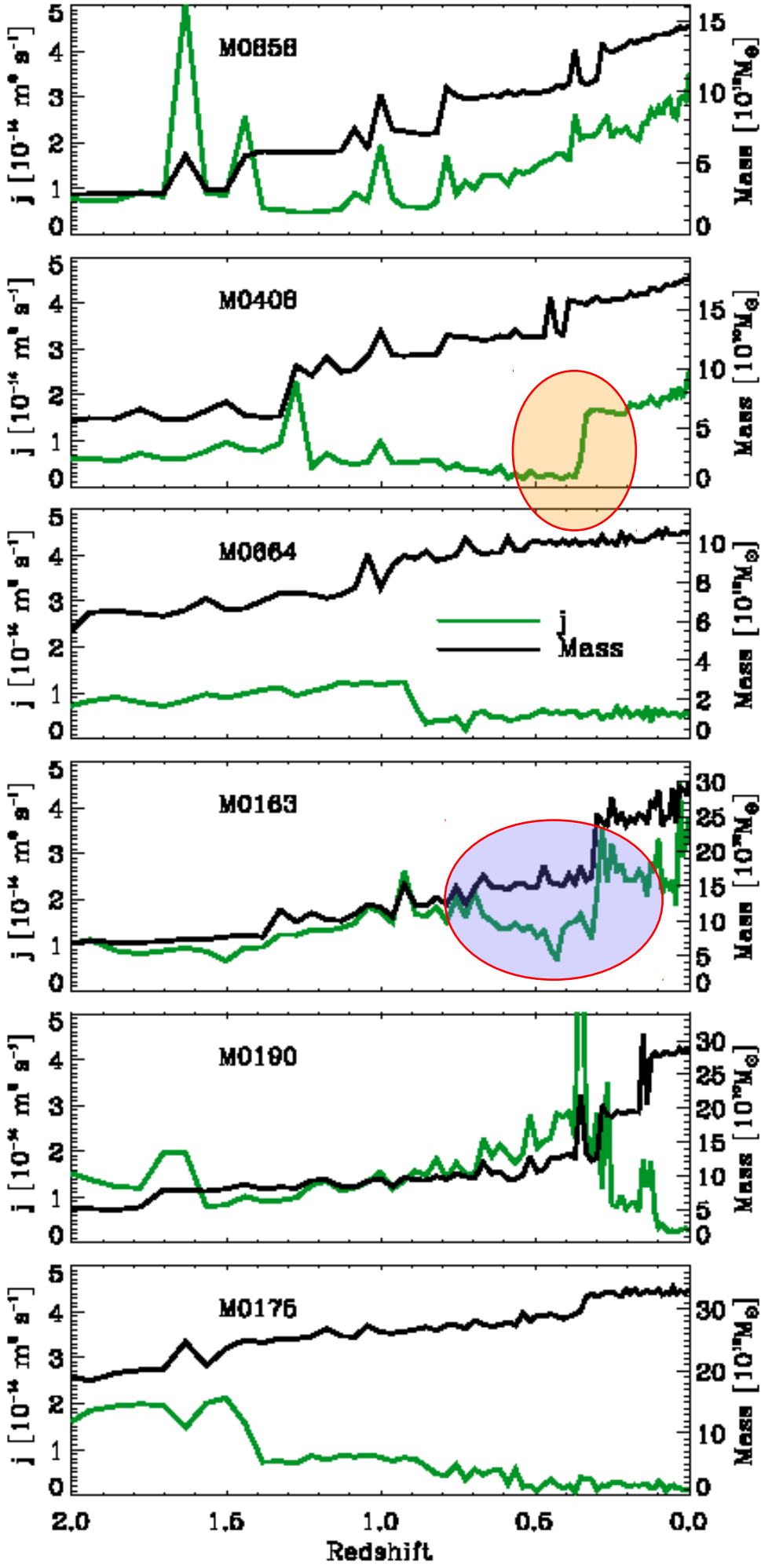
Rotateurs lents

⇒ pas seulement des fusions majeures de spirales



Bois, EE, FB et al. 2011 (P6)

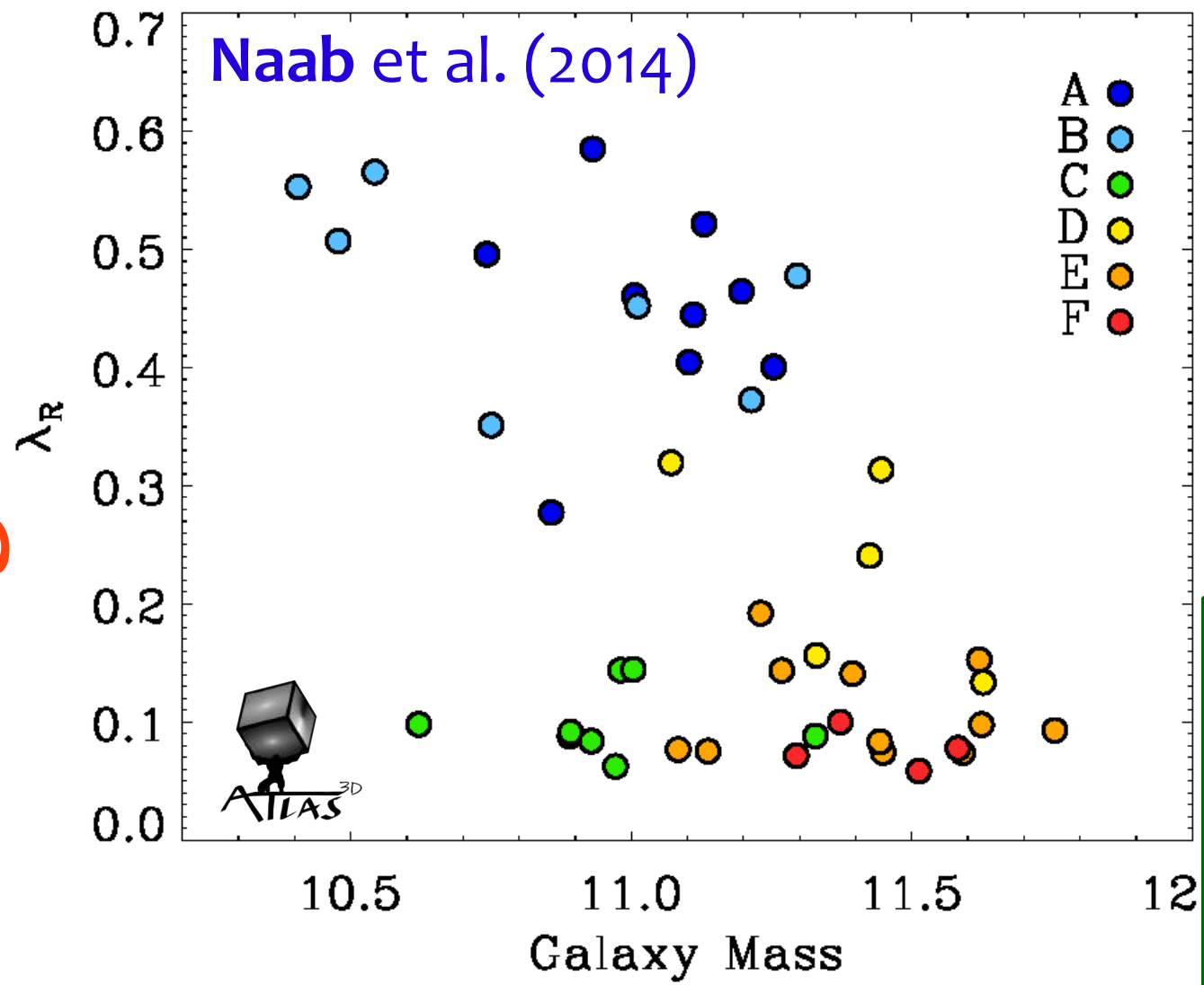
Pas de scénario unique!



Naab, Oser, EE et al. (2014)



Moment Angulaire

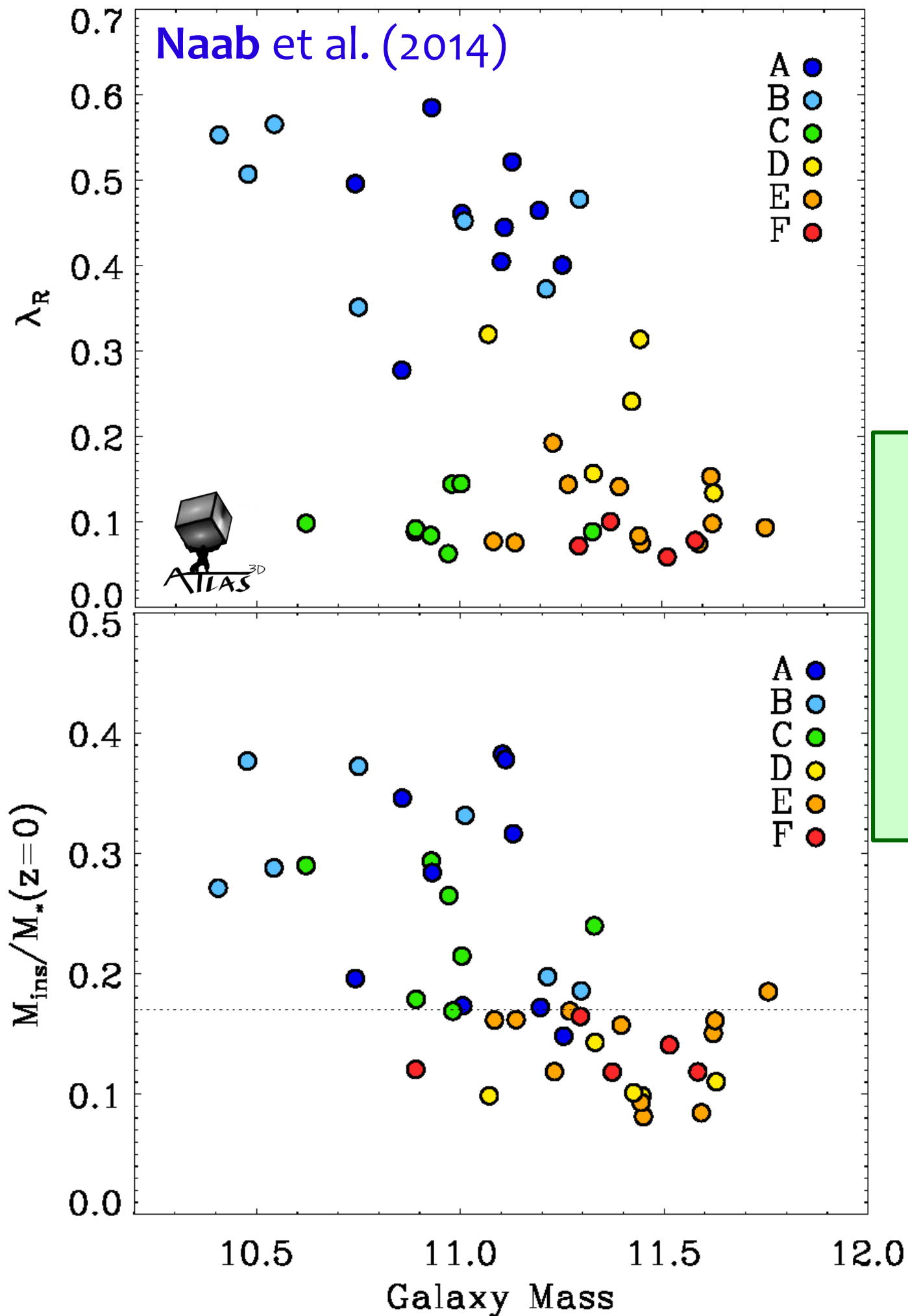


**Différents
régimes de masse**

⇒ Grande dispersion en λ_R

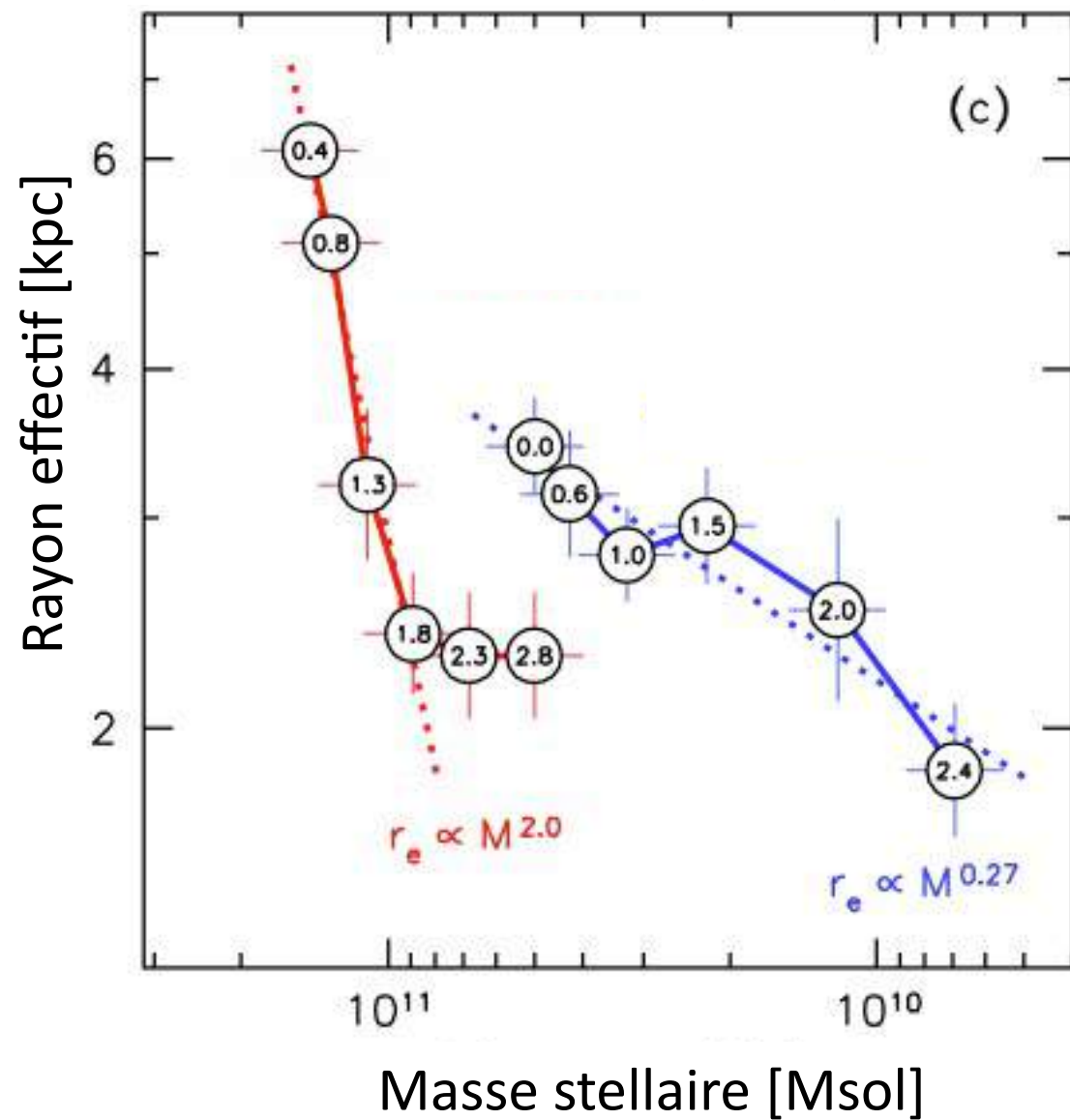
Mass Stellaire

In-Situ



Différents régimes de masse

⇒ Grande dispersion en λ_R



OBSERVATIONS

Galaxies de petites masses

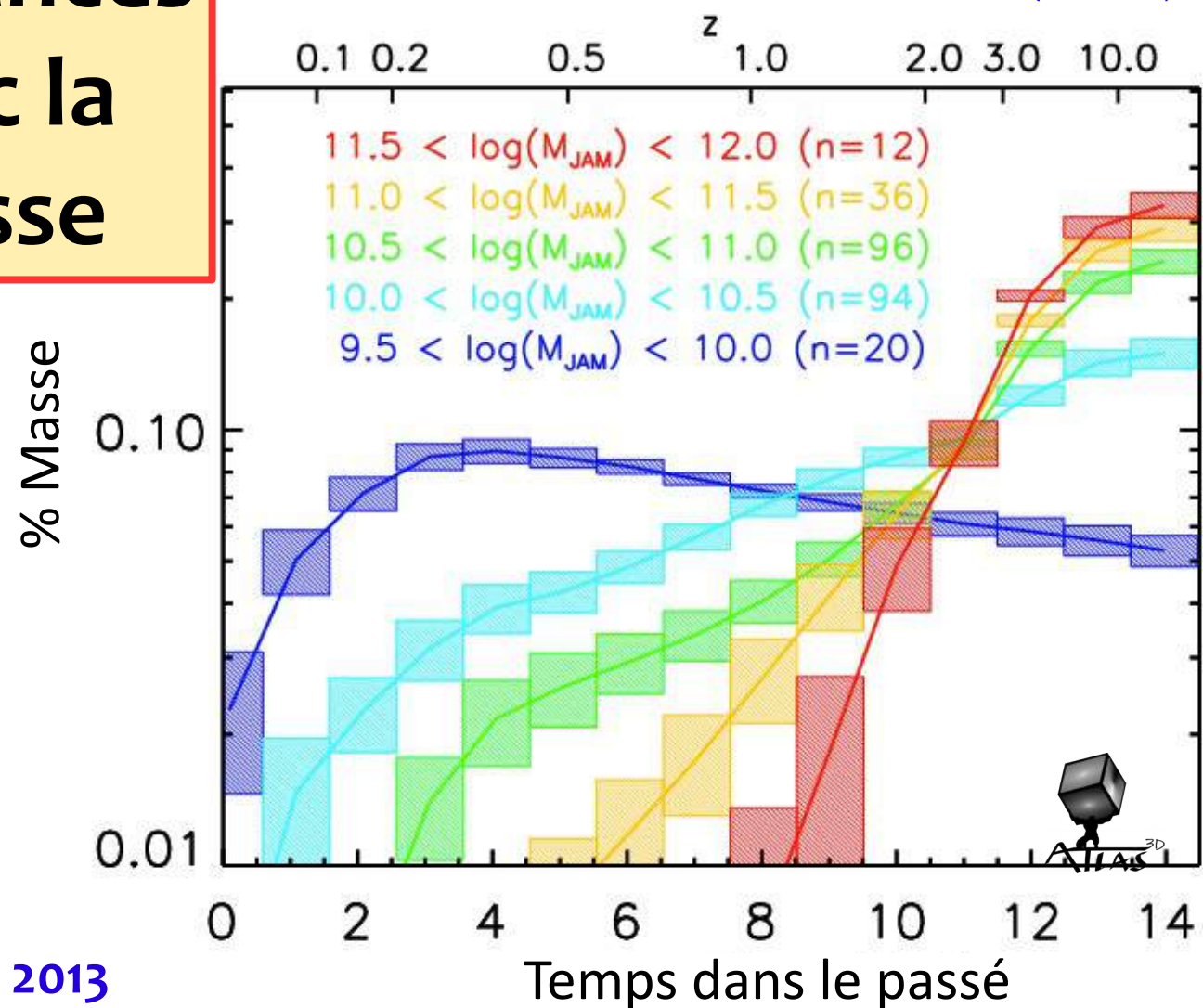
- L'évolution est plus lente
- La croissance se fait à tout rayon
- La croissance se fait sur de longues durées

Tendances avec la Masse

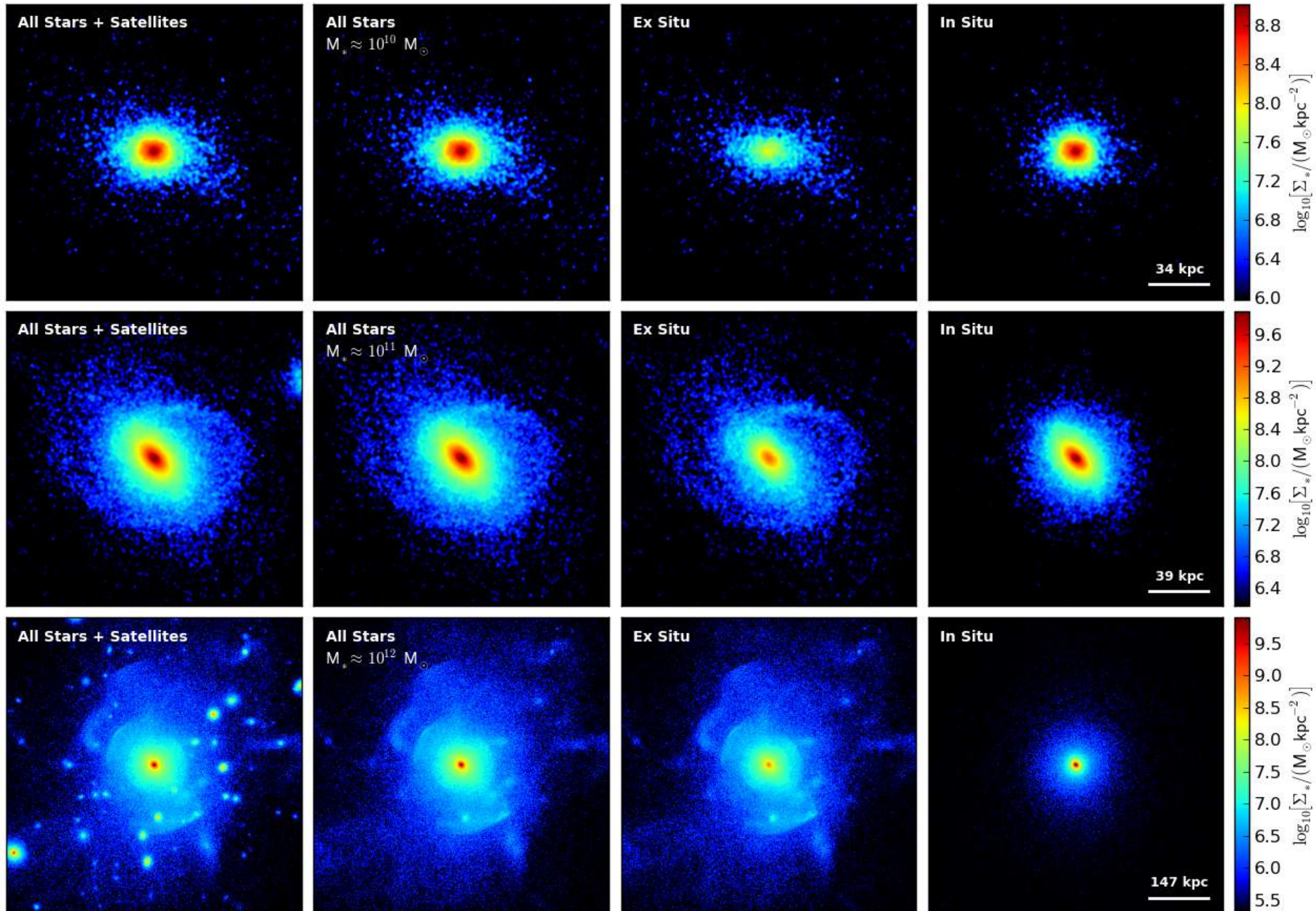
SIMULATIONS

→ 2 phases de formation / assemblage (e.g. Oser et al. 2010)

- Phase précoce rapide ($z > 2$) – In Situ
- Phase tardive étendue ($z < 3$) – Ex Situ



Formation versus Assemblage: *In-Situ* vs *Ex-Situ*

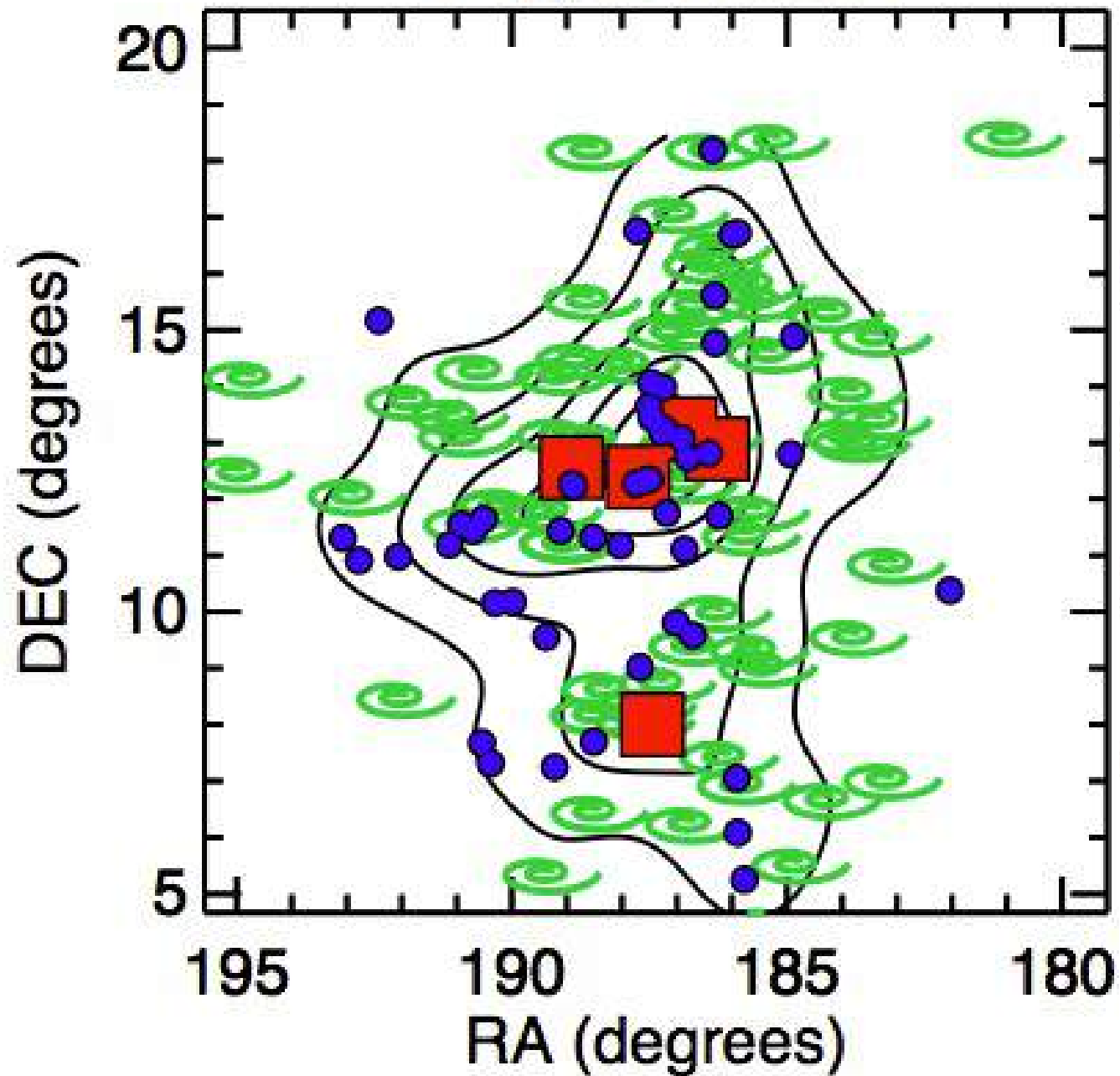


Rotateurs lents

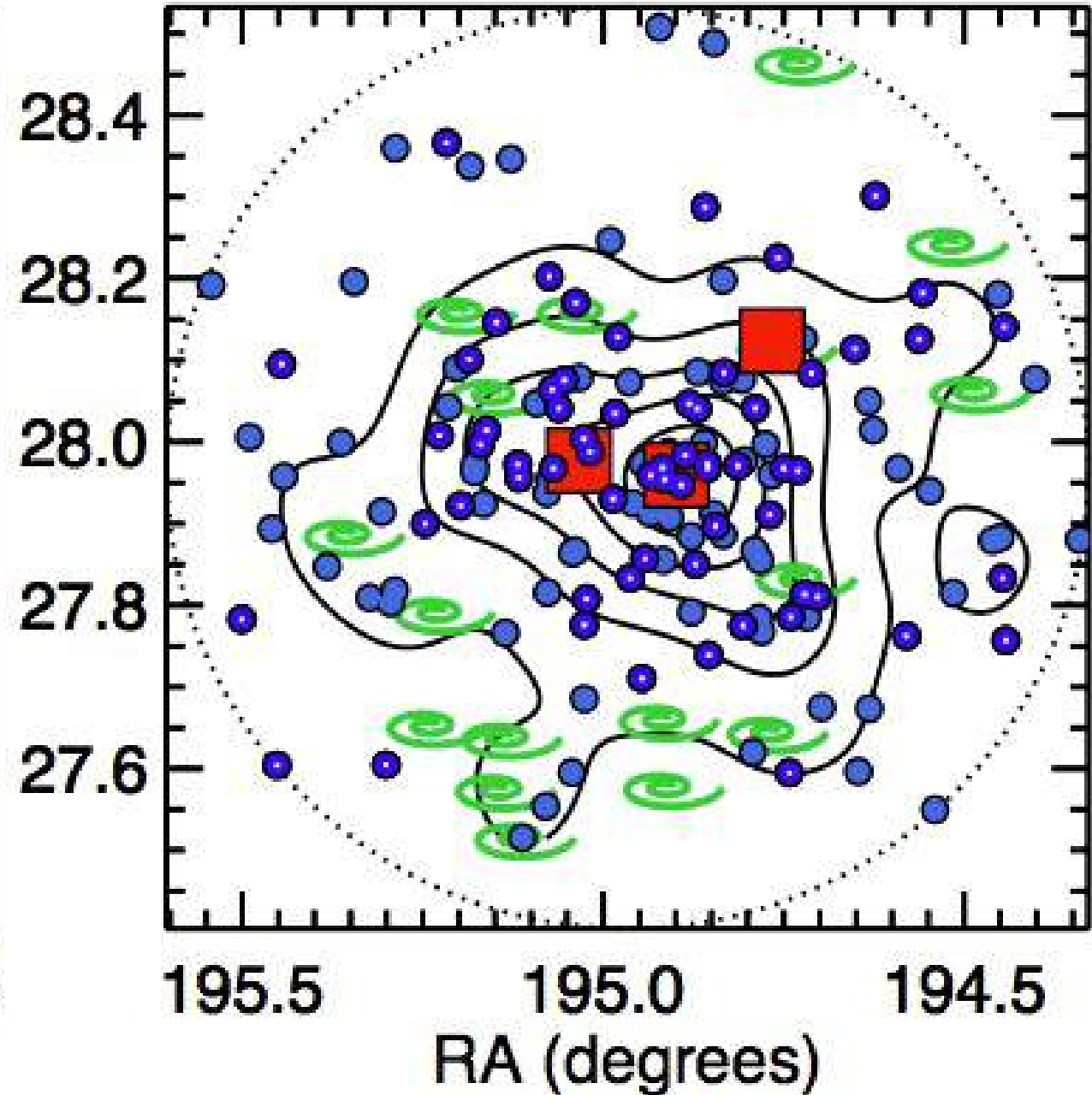
Environnement ?

⇒ Formation efficace @ densités fortes de galaxies
Importance de l'échelle des groupes

Amas de la Vierge



Amas de Coma



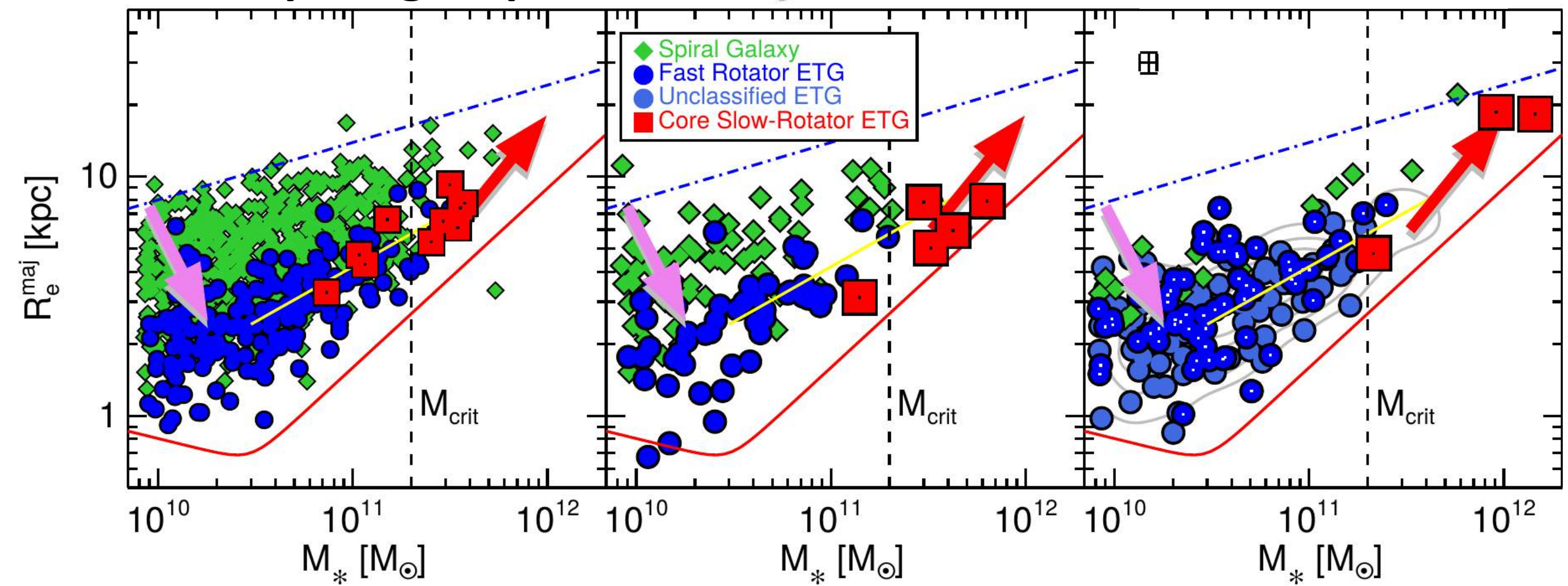
Evolution à grandes densités ?

Densité de Galaxies

Champ ou groupes

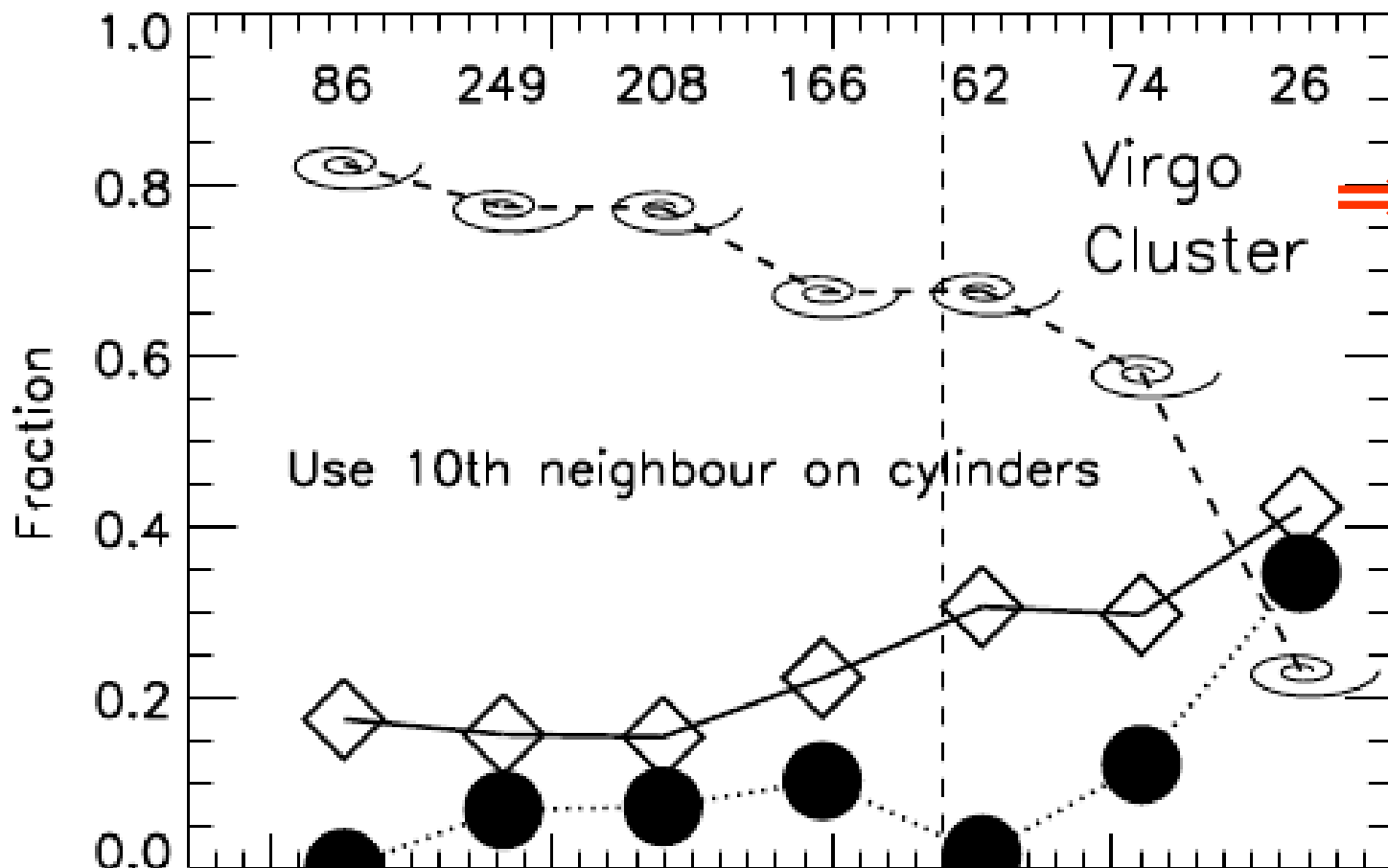
Amas de la Vierge

Amas de Coma

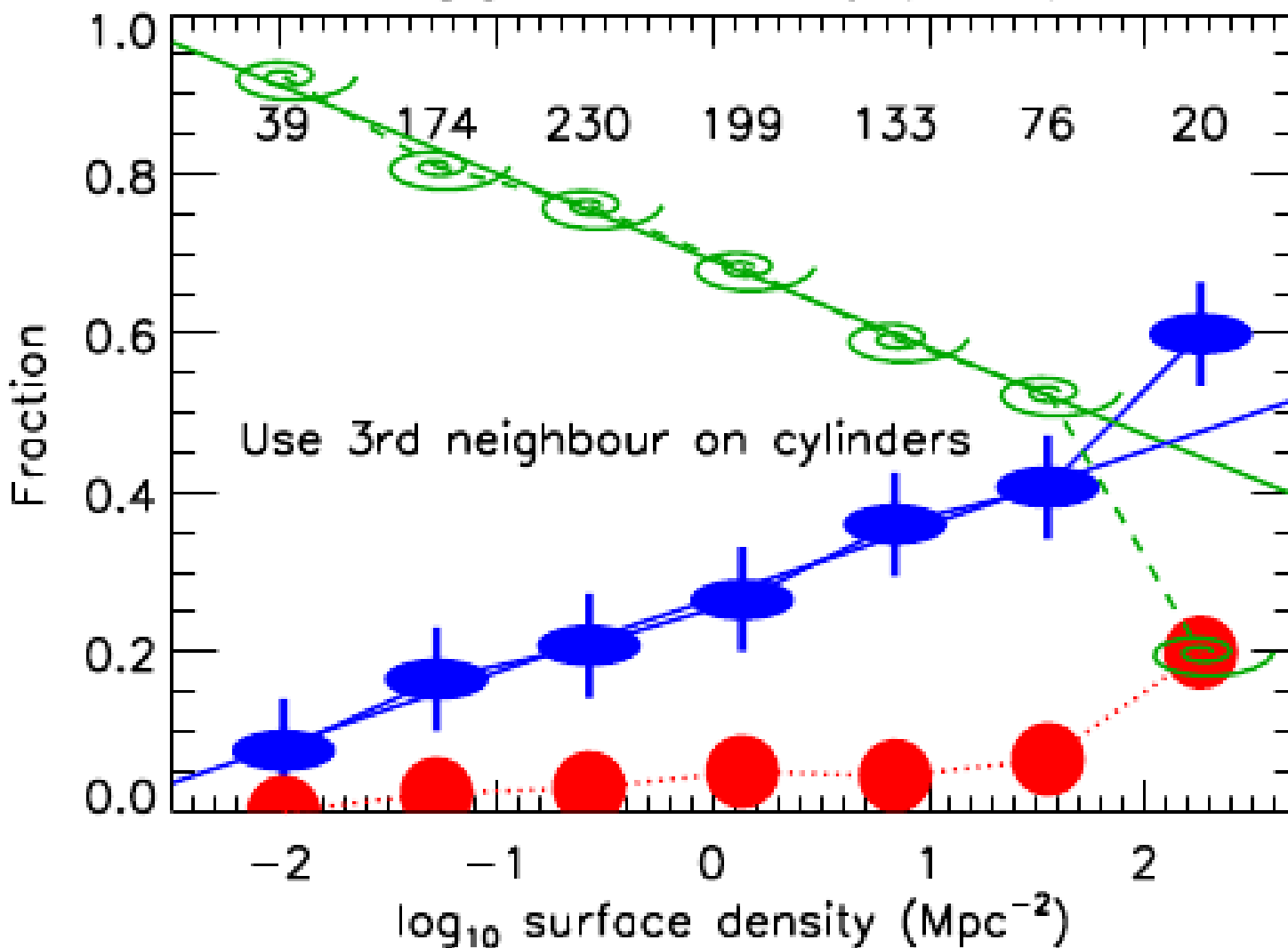


Cappellari (2017)

Relation Morphologie - Densité



à la Dressler (1980)

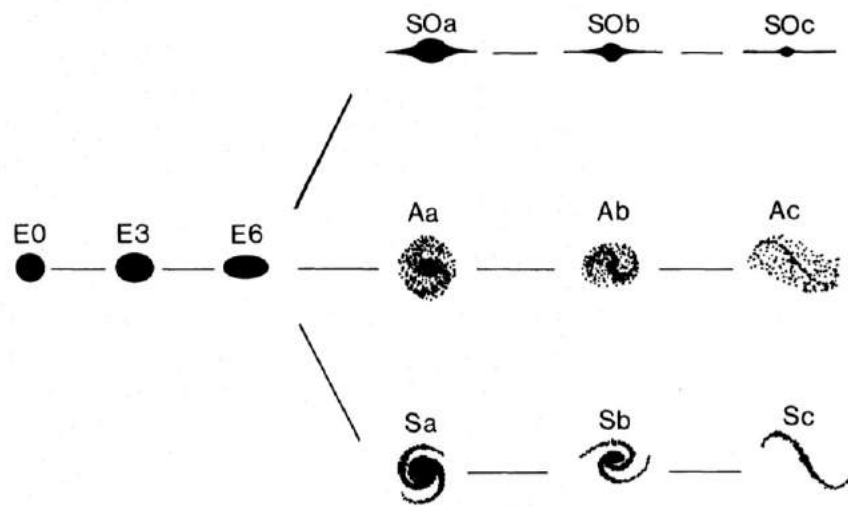


FR 
SR 

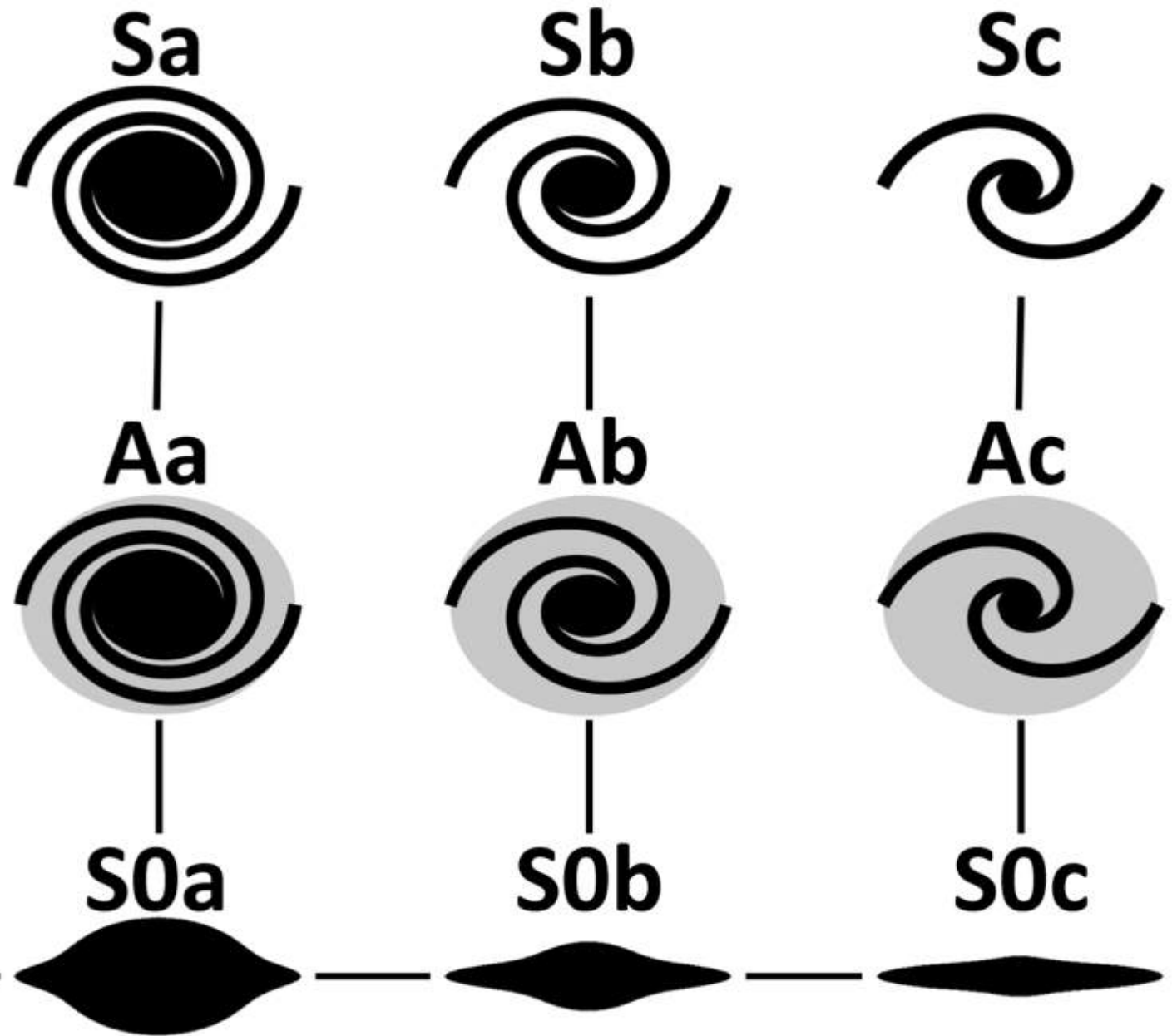
Cappellari, EE, DK et al., 2011 (PVII)

Classification dynamique : le “peigne ATLAS_{3D}”

van den Bergh 1976



Galaxies Spirales

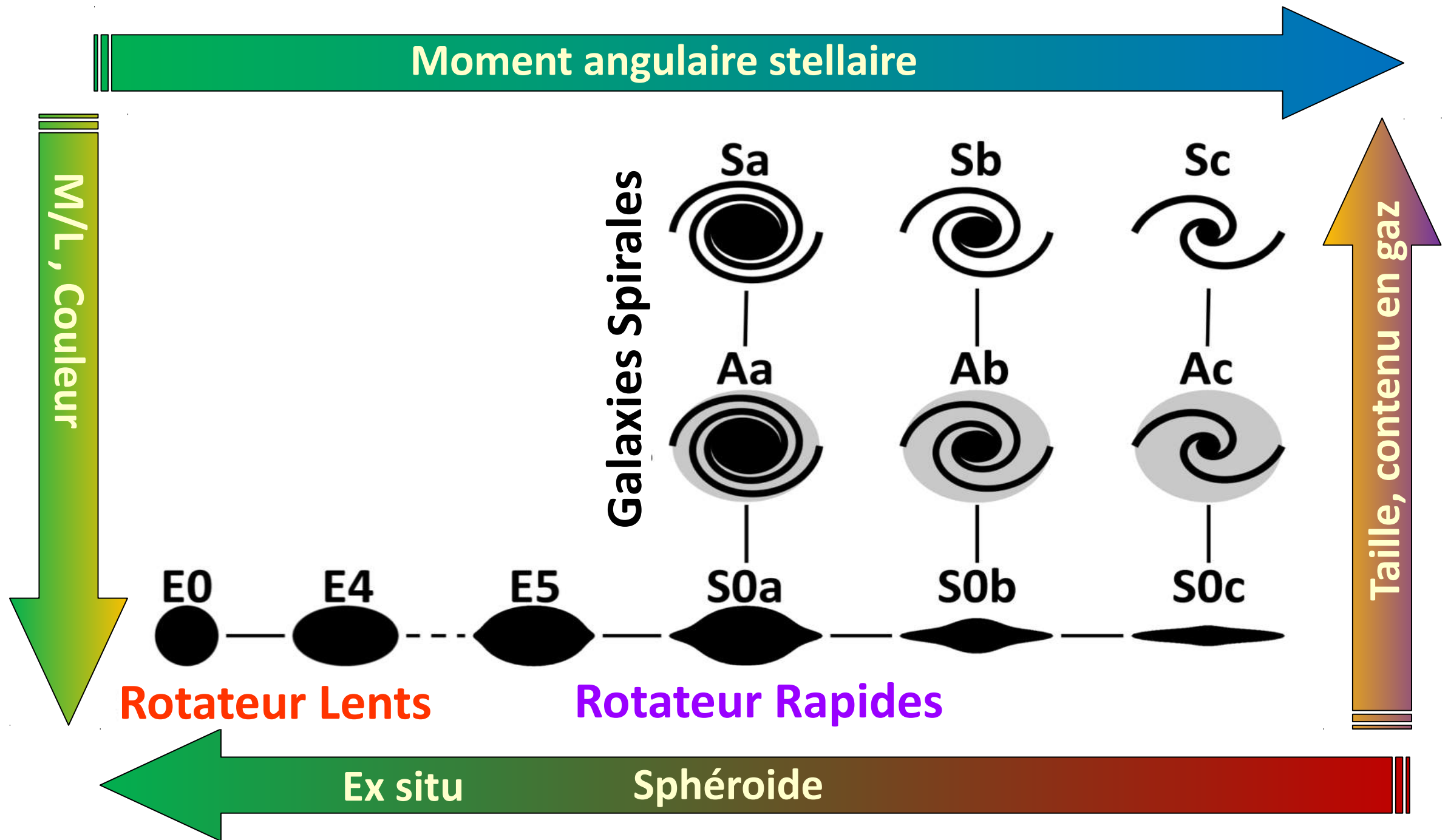


Rotateurs Lents

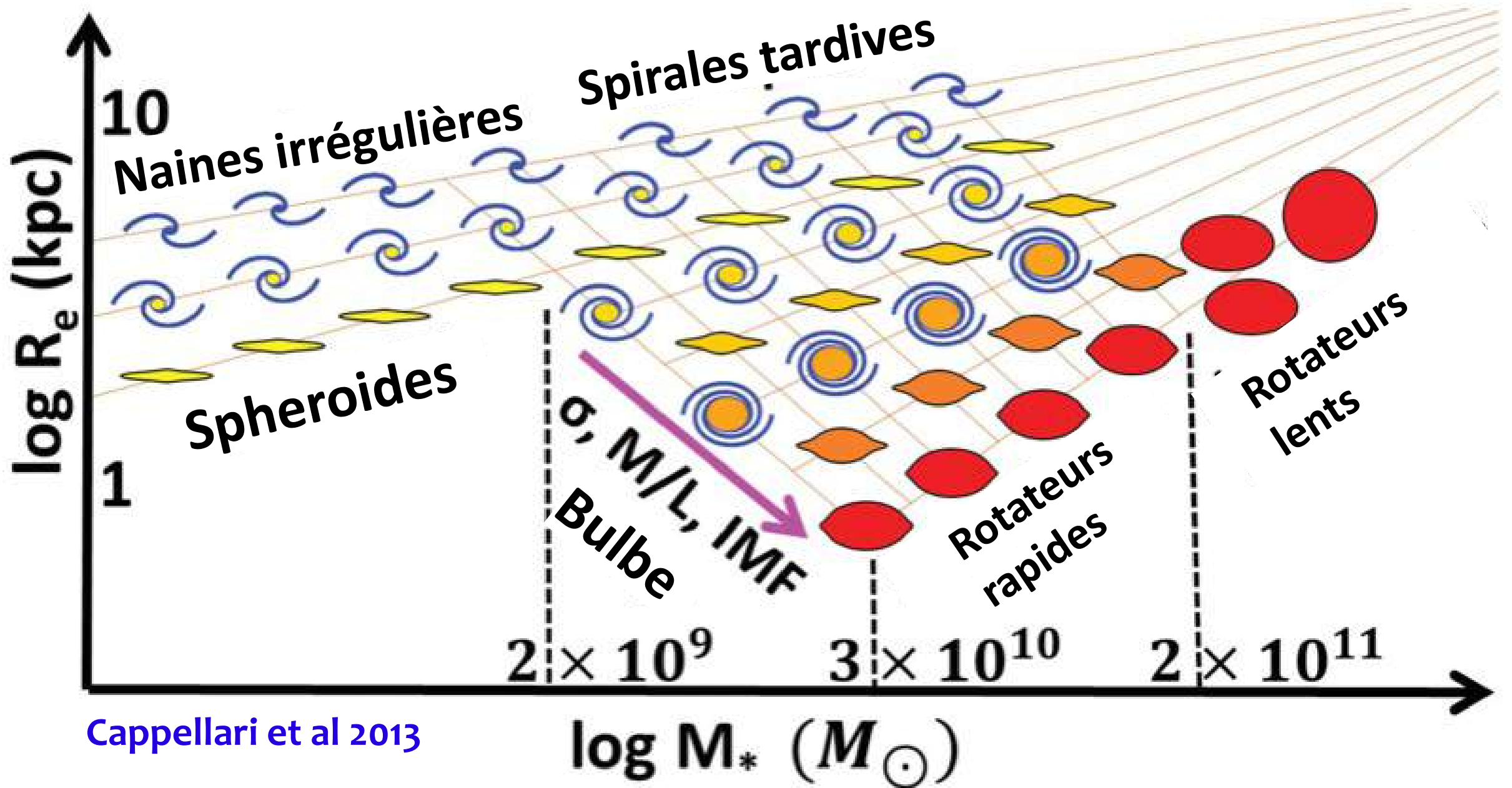
Rotateurs Rapides



Séquence Dynamique des Galaxies

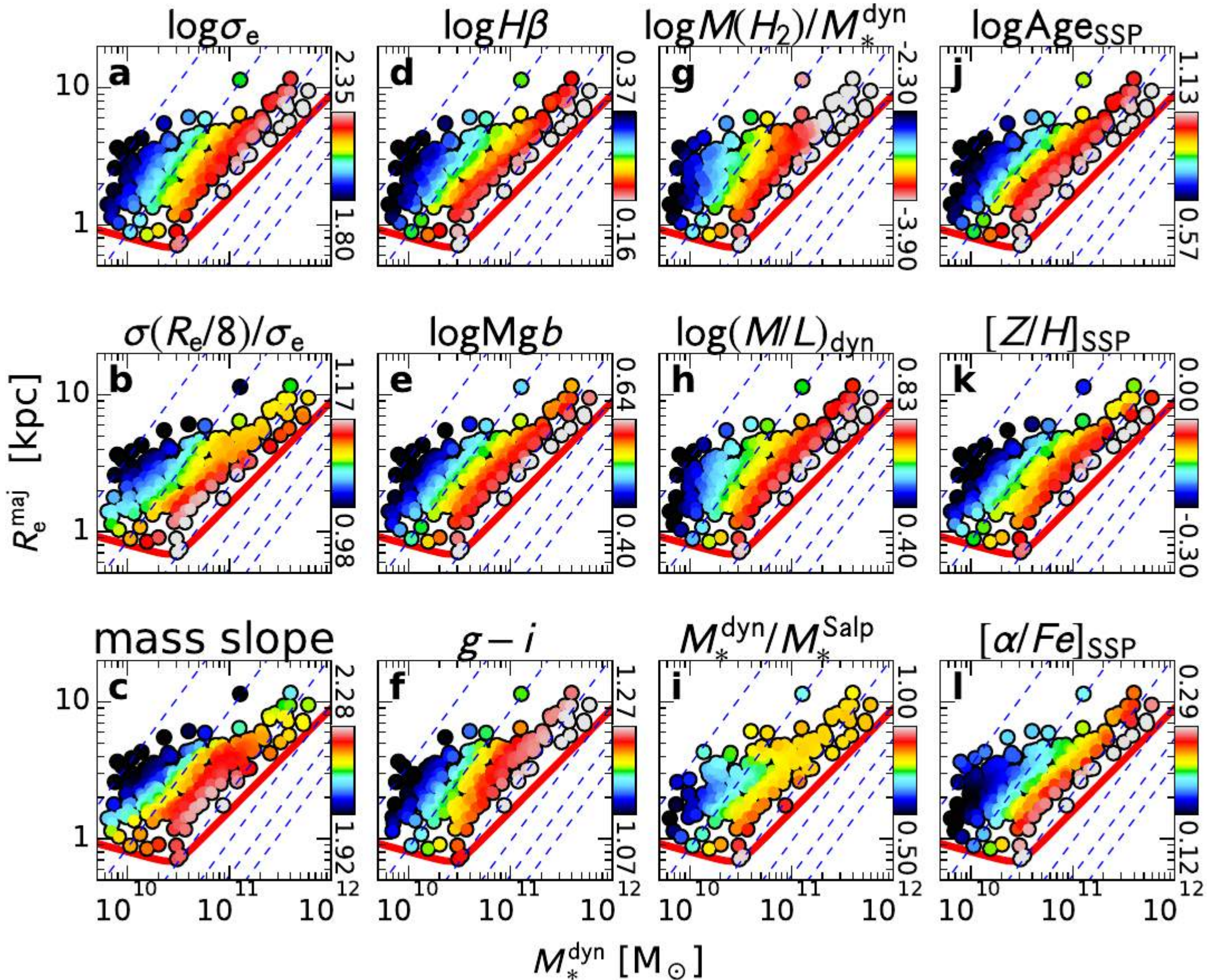


Vue globale du plan Rayon-Masse

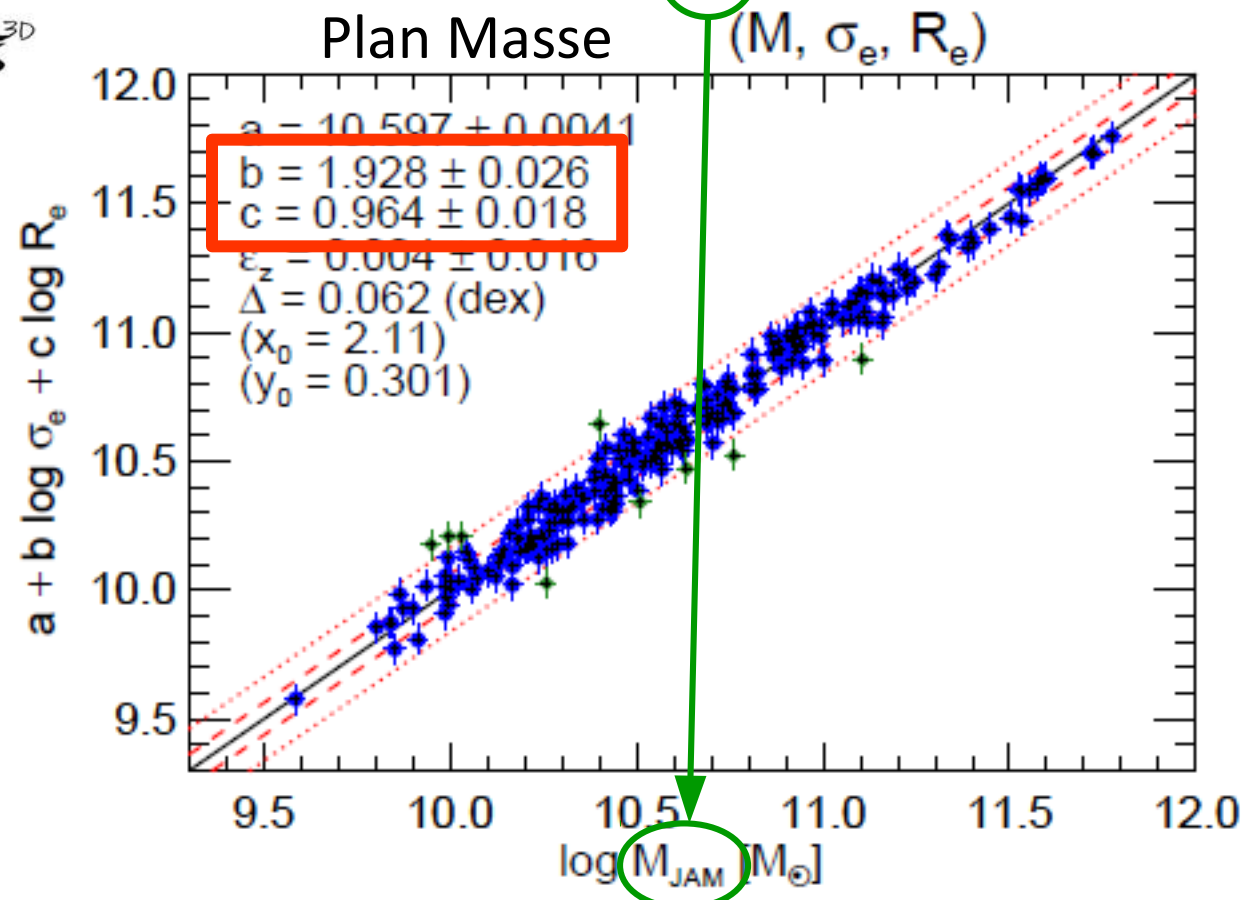
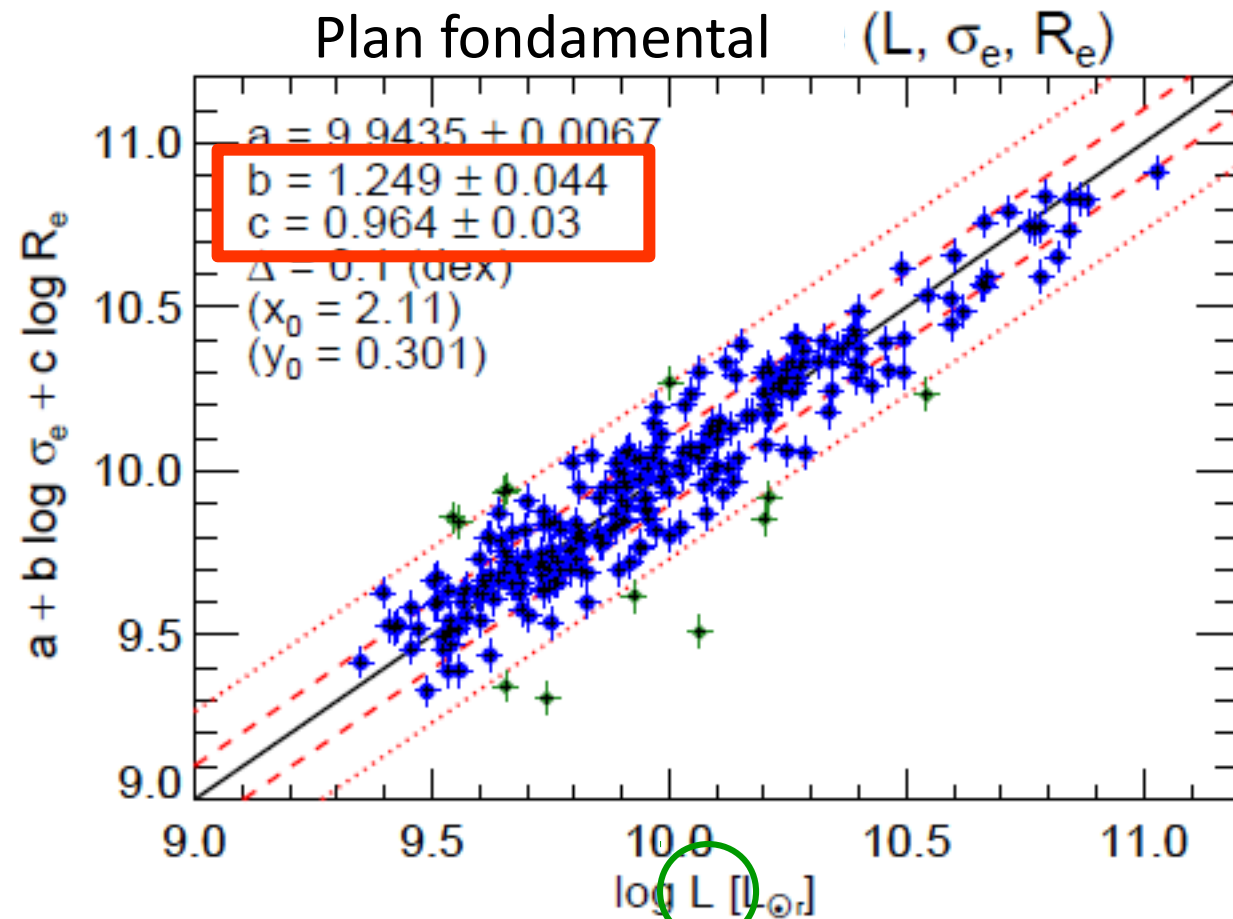


Cappellari et al 2013

Plan Masse-Rayon : σ meilleur “proxy”



Relation d'échelle: le plan fondamental?



Cappellari et al., 2013a (Atlas^{3D} Paper XV)

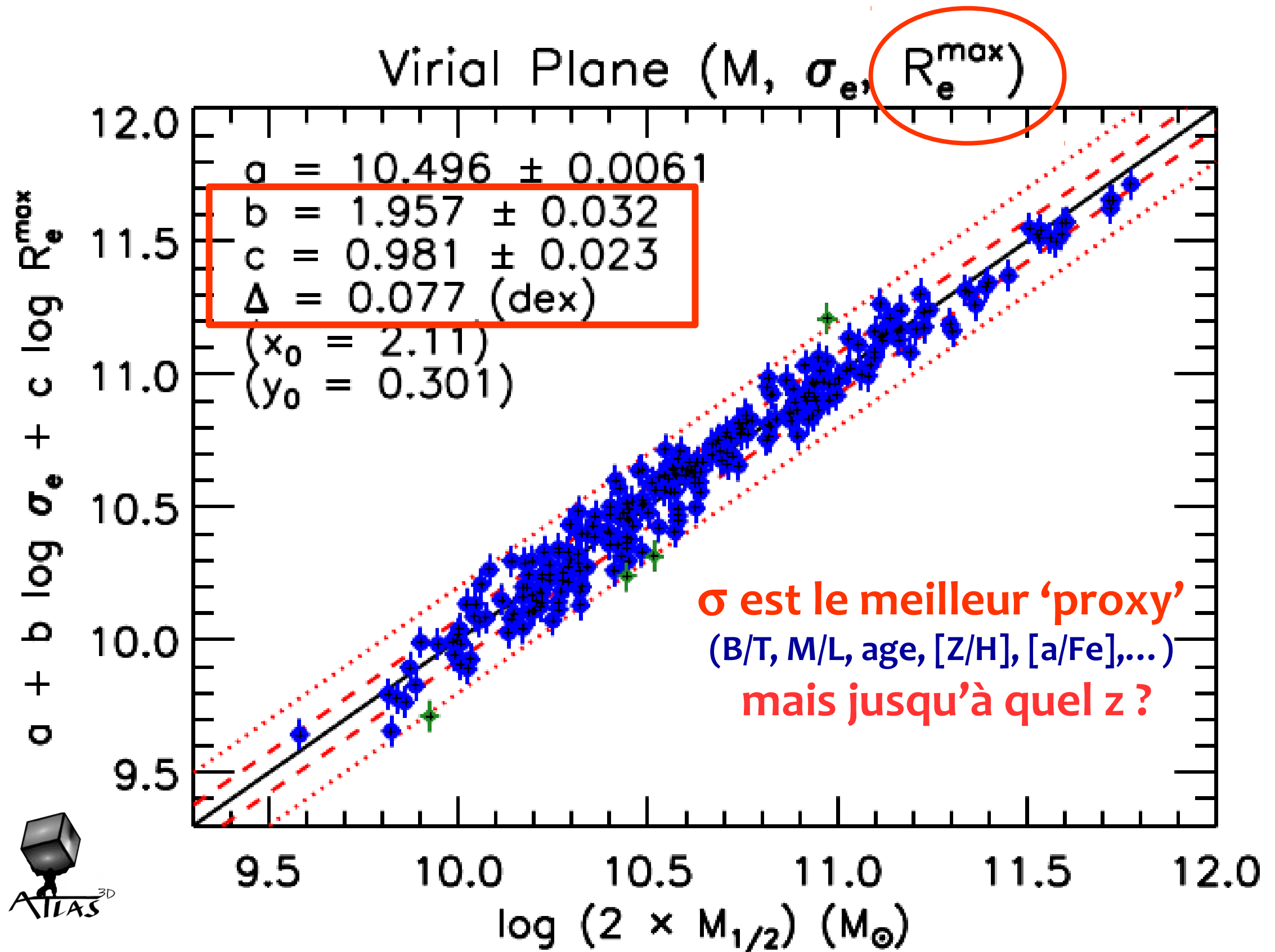
VIRIEL



$$b = 2$$

$$c = 1$$

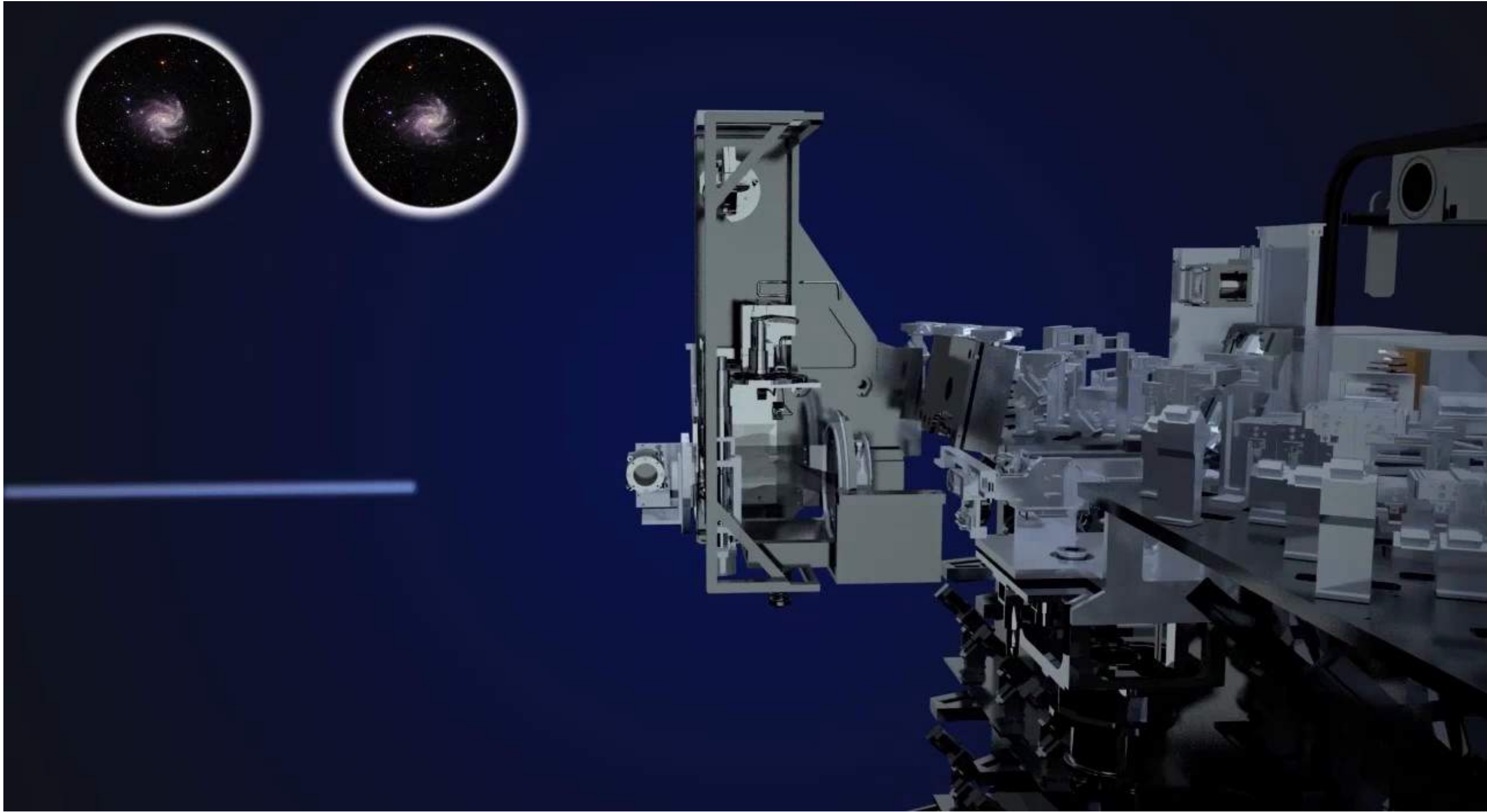
⇒ Vers un Plan Viriel



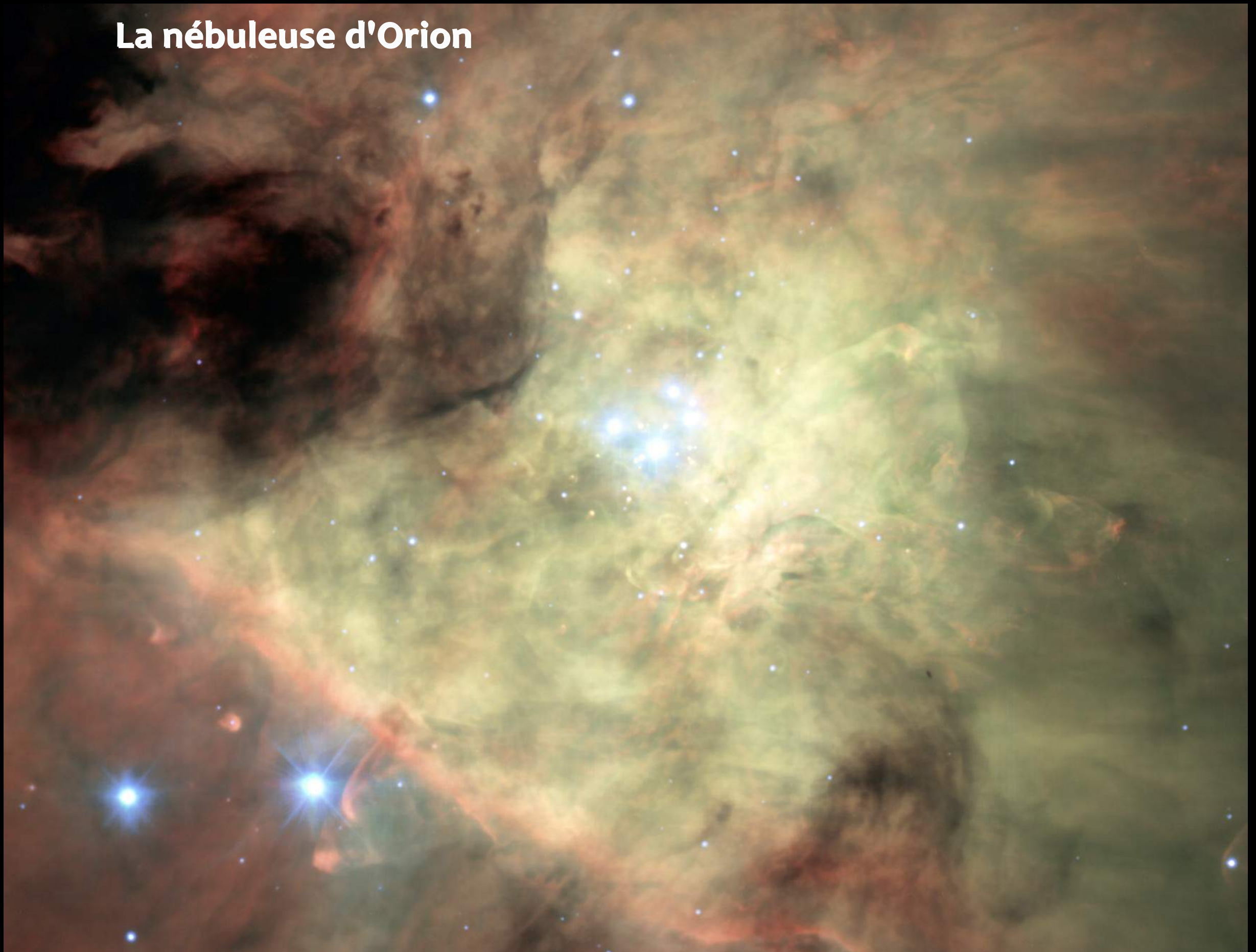


MUSE

- 1x1 arcminute @ 0.2"
- 465-930nm, R~3000
- 90,000 spectres pas pose
- 35 % d'efficacité
- Peut travailler avec l'optique adaptative

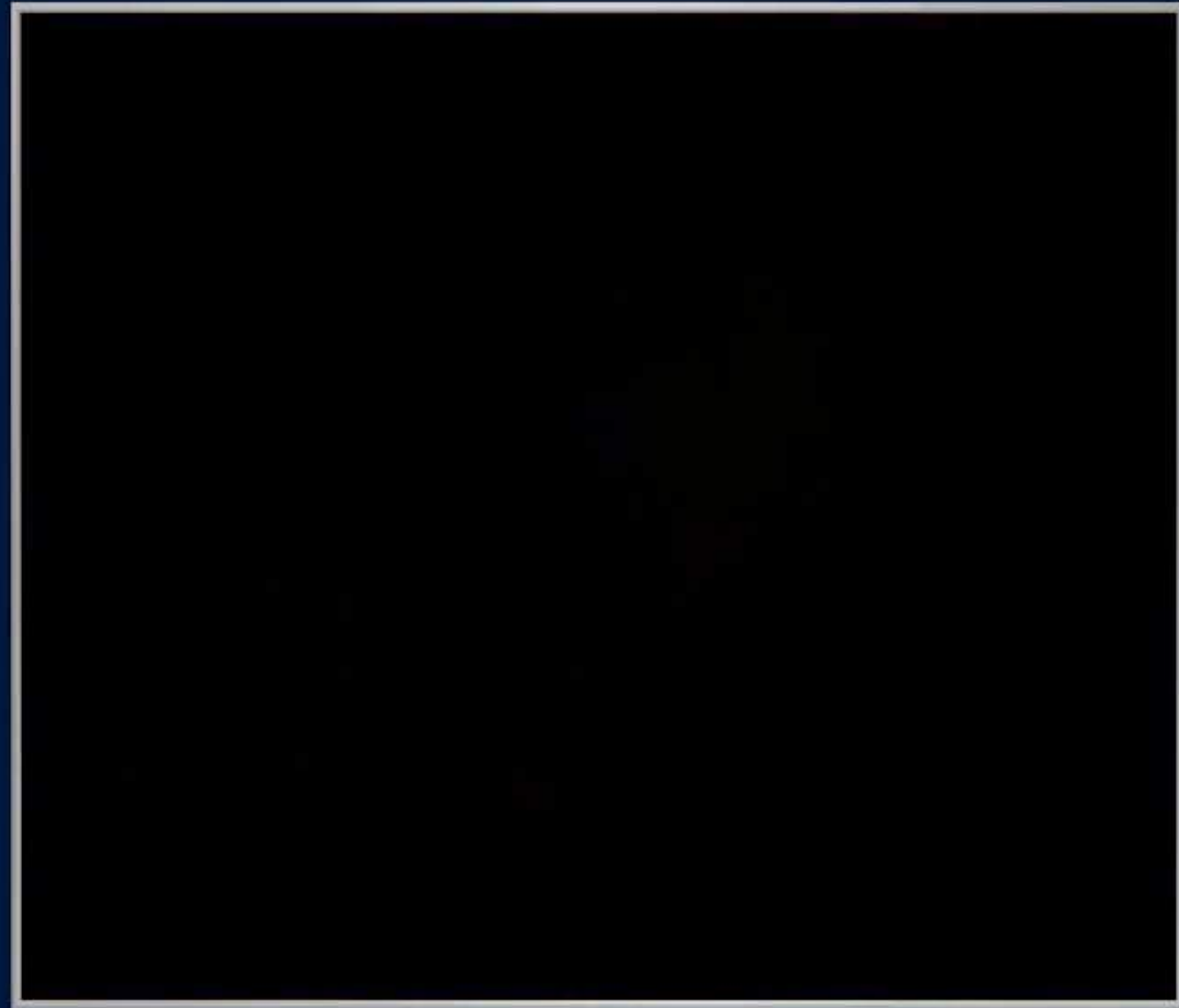


La nébuleuse d'Orion

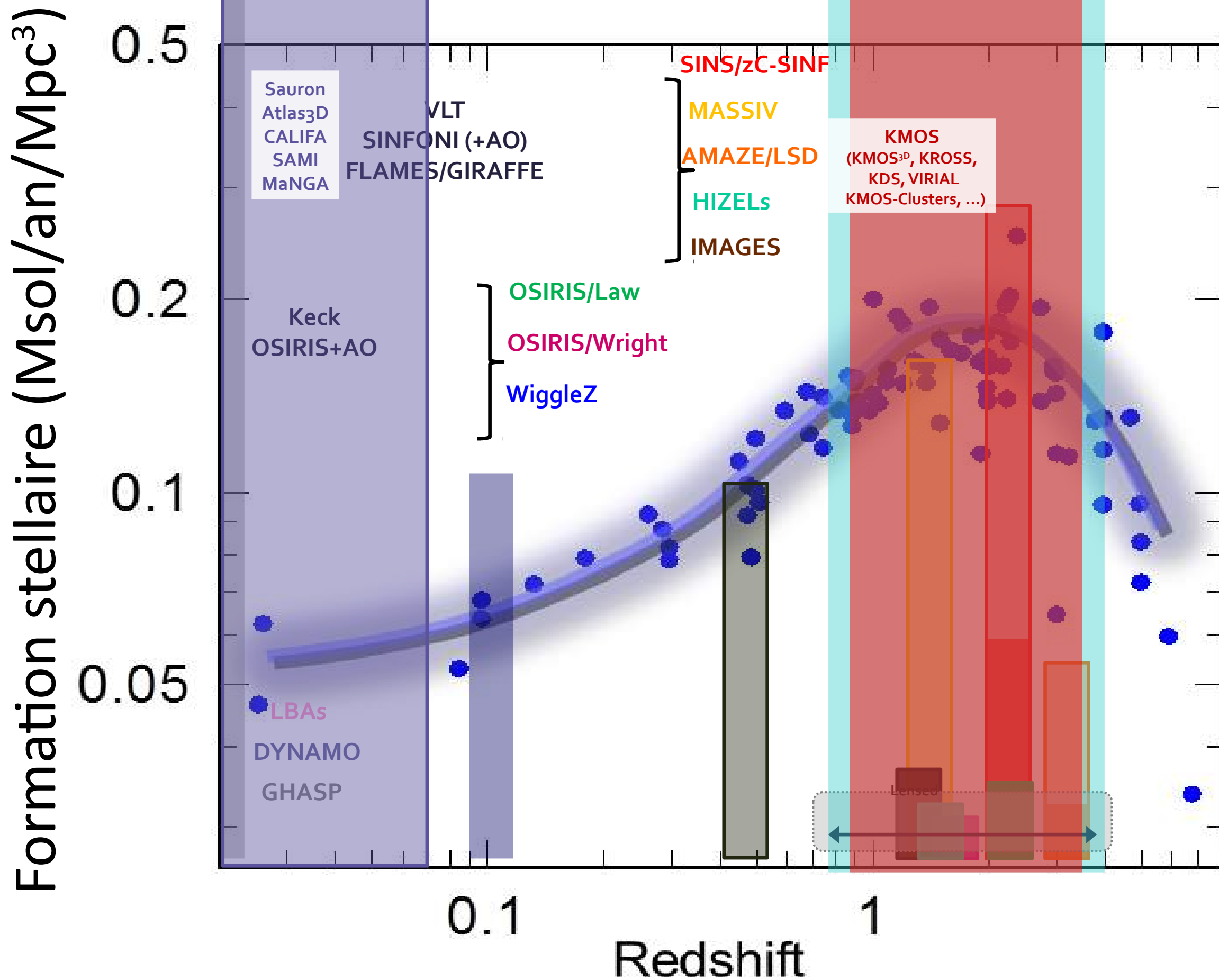


Peter Weilbacher, AIP

H β +OIII	Cont 5300	H α +NII
-----------------	-----------	-----------------



Campagnes avec Spectrographie Intégrale

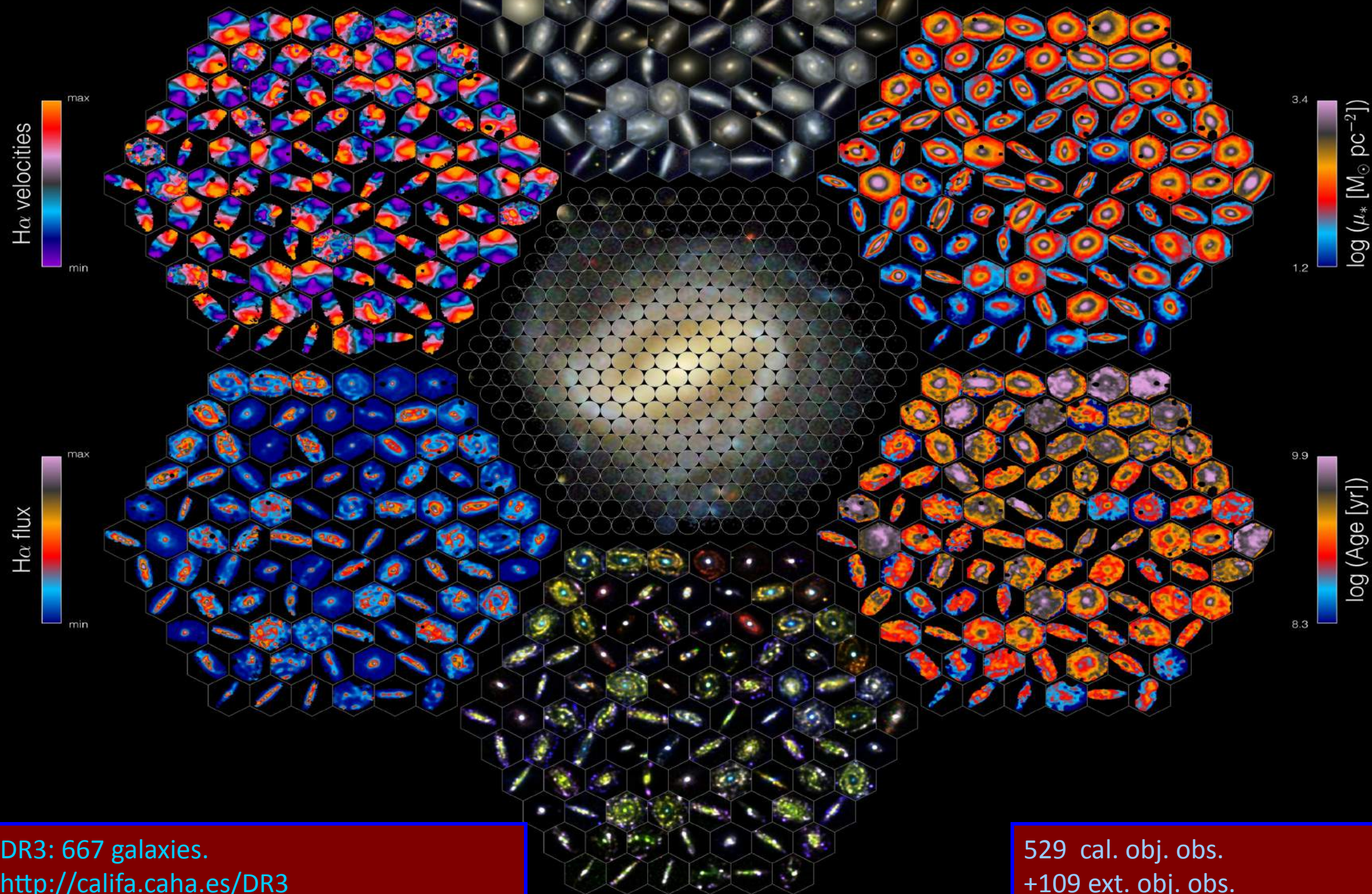


Campagne CALIFA

PI: Sanchez

6900 Å 5250 Å 4100 Å

IFU FoV/2 ~ 2.5 Re
Sélection sur le diamètre
Tout type de galaxie
Echantillonnage des couleurs/mag



DR3: 667 galaxies.
<http://califa.caha.es/DR3>

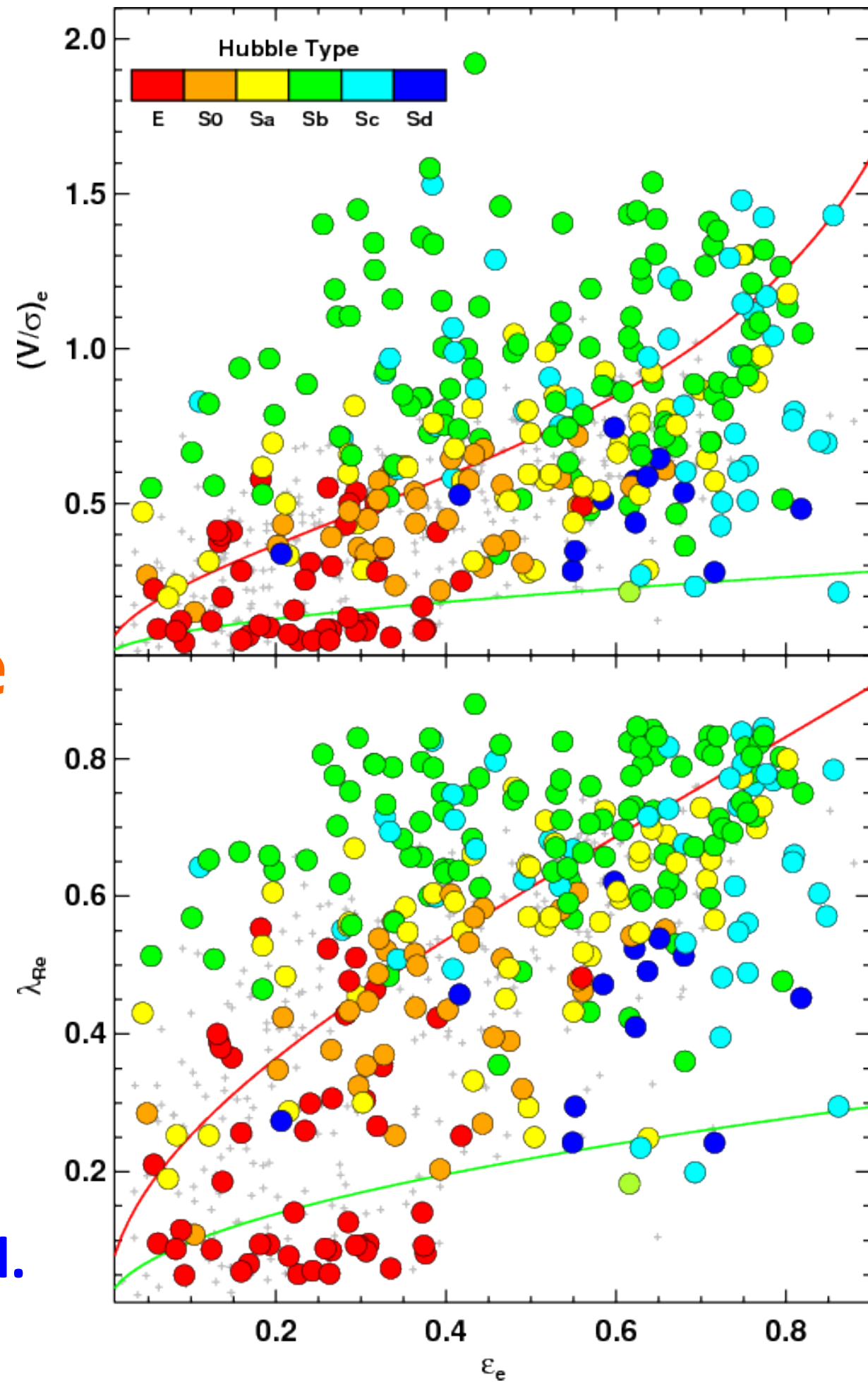
529 cal. obj. obs.
+109 ext. obj. obs.

Credits: F. García-Berrio, F. Haddad-Oregán,
E. Pérez, C.J. Walcher, S.F. Sánchez
& the CALIFA team

Centro Astronómico
Hispano Alemán

λ_R vs Type de Hubble
(CALIFA)

Falcon-Barroso, et al.

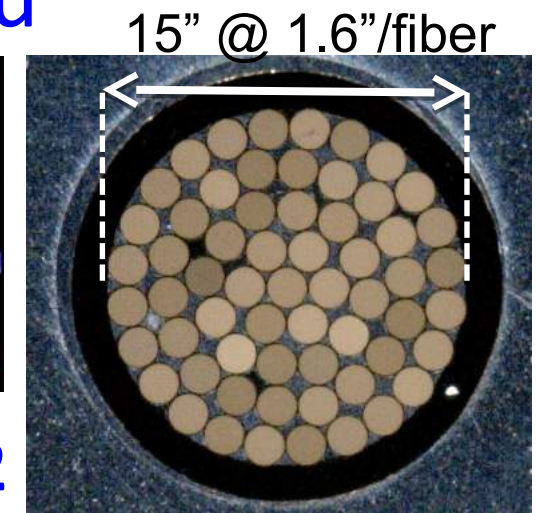
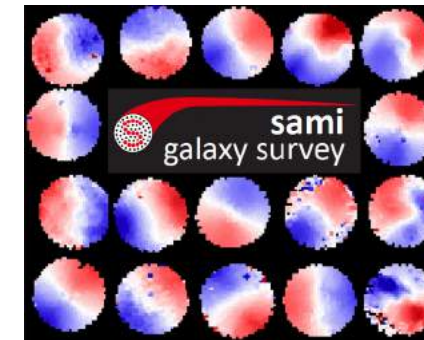


SAMI: Example de données

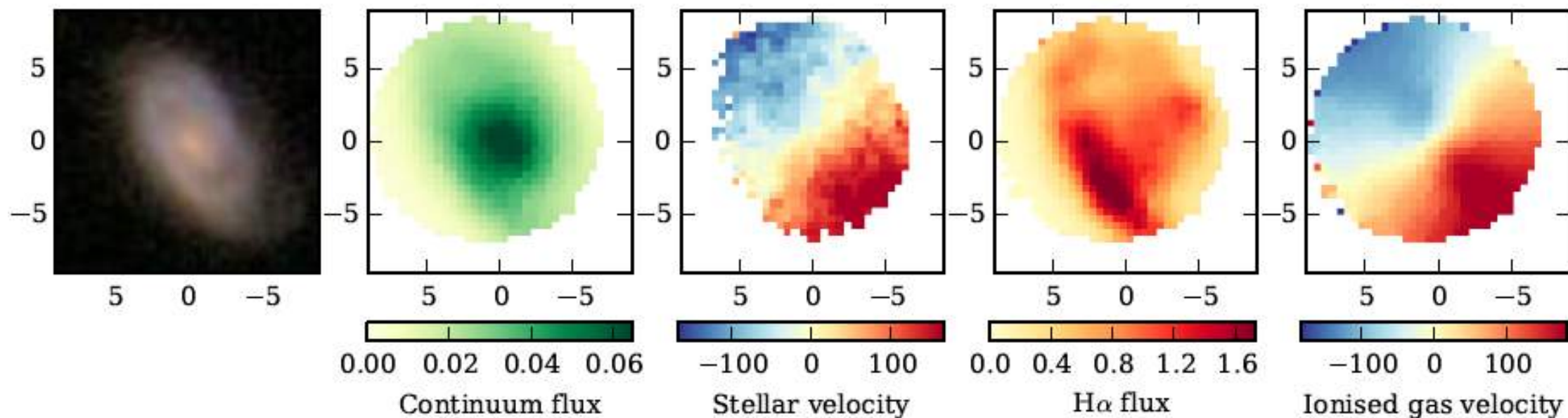
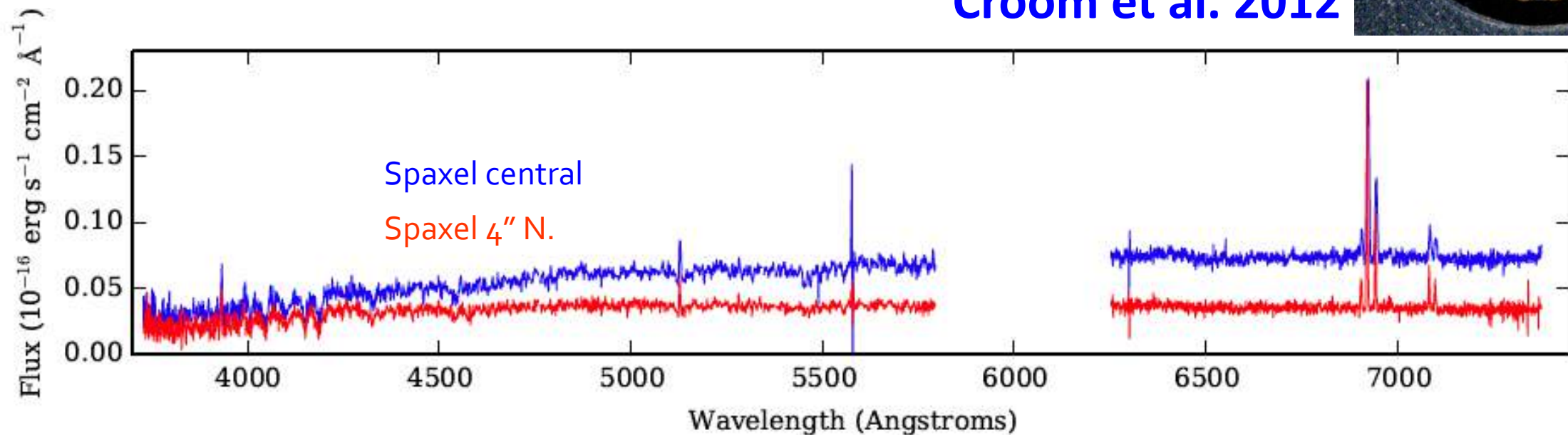
Spectrographe à 2 bras avec couverture **dans le bleu**

et **$H\alpha$** à haute résolution spectrale

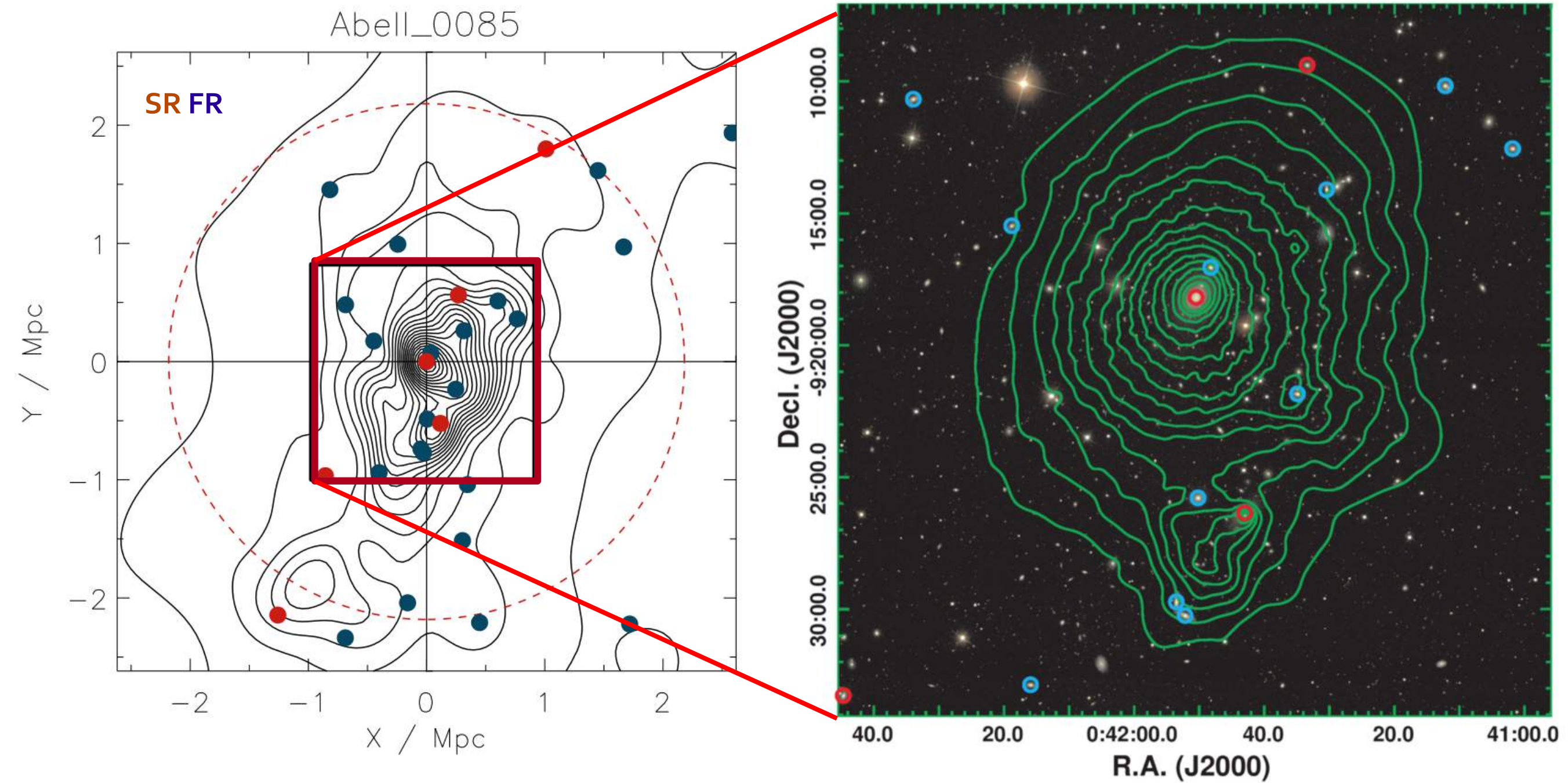
> 1500 galaxies



Croom et al. 2012

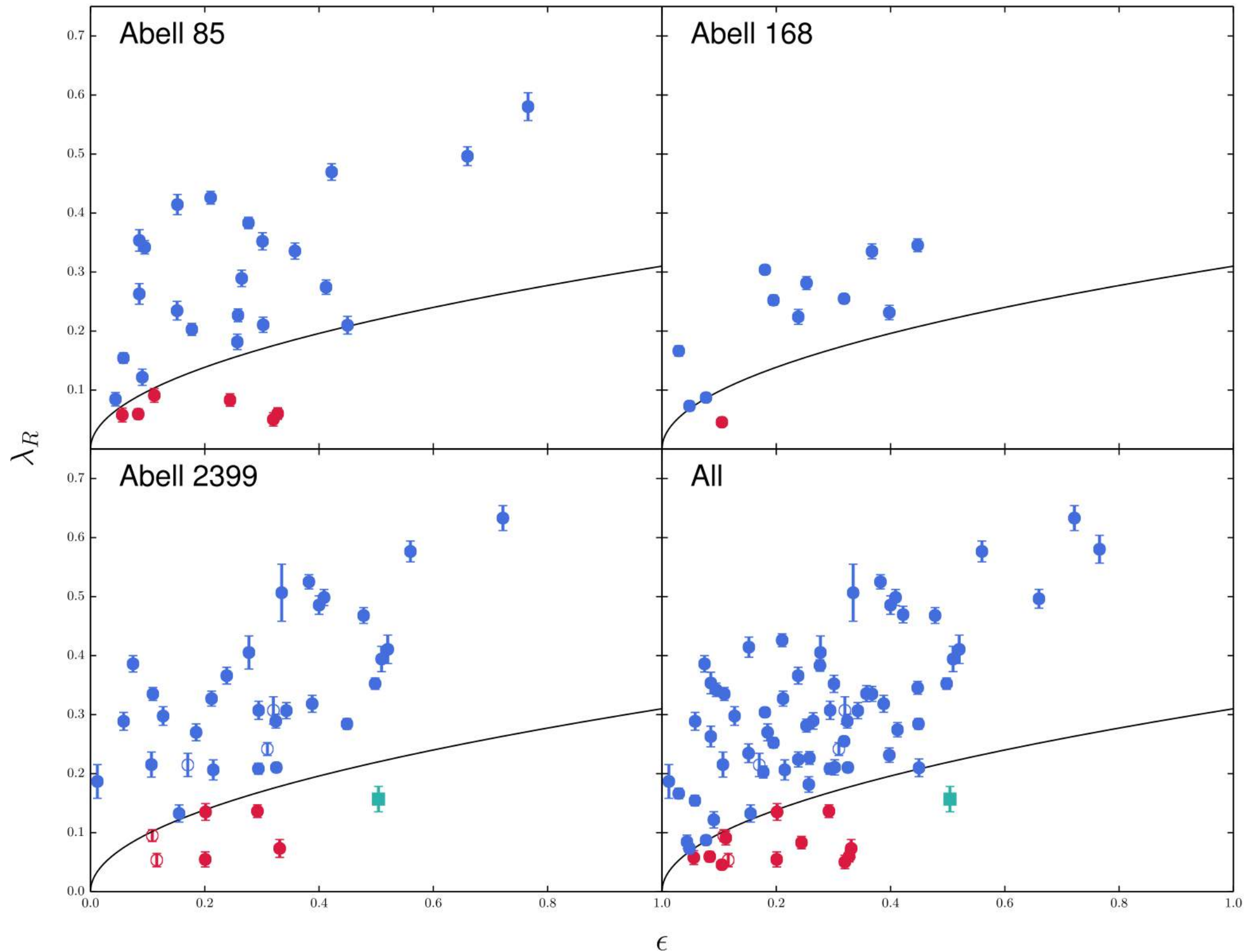


Relation morphologie - densité



Fogarty et al. 2014

Moment angulaire dans les Amas de galaxies



Fogarty et al. 2014



Partie de SDSS-IV

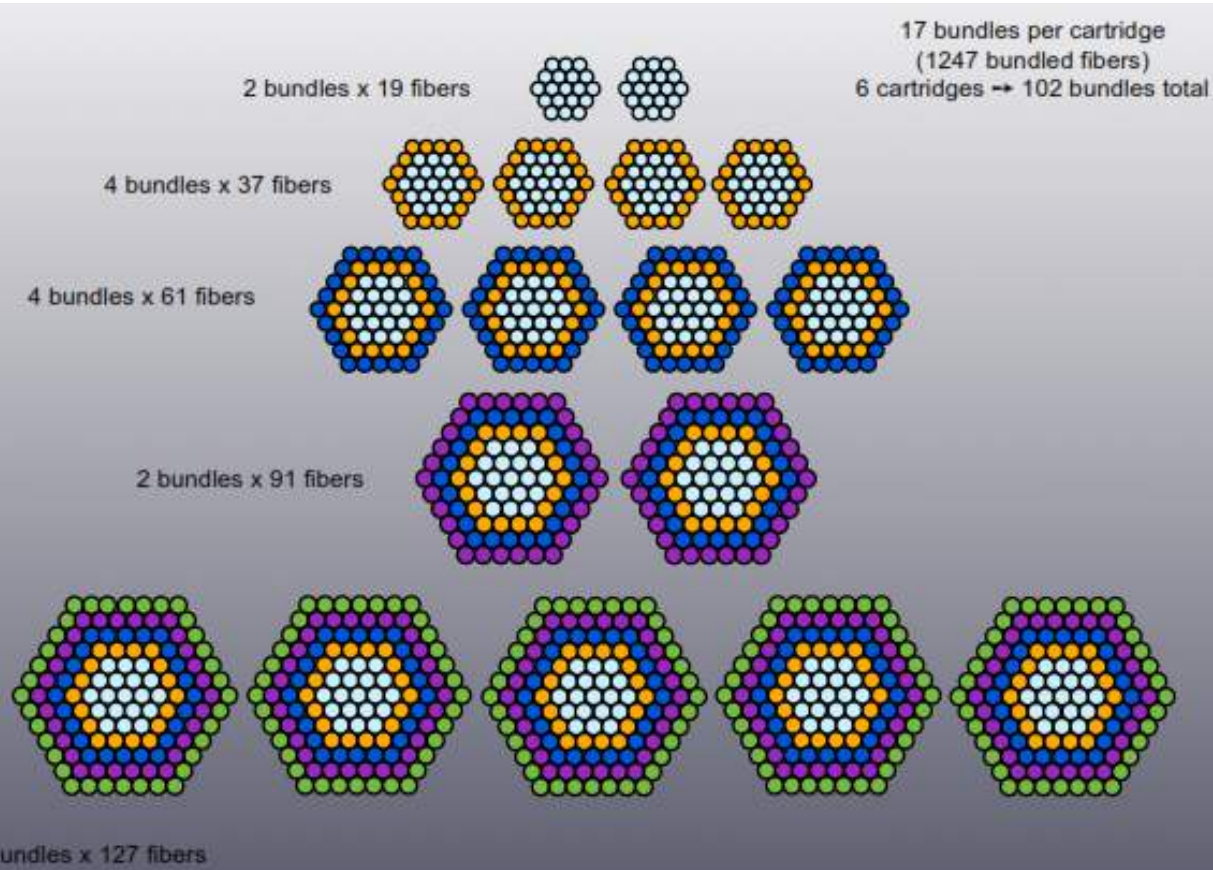
10,000 galaxies entre 2014 et 2020

« Multi hexabundle IFU » sur télescope SDSS 2.5m

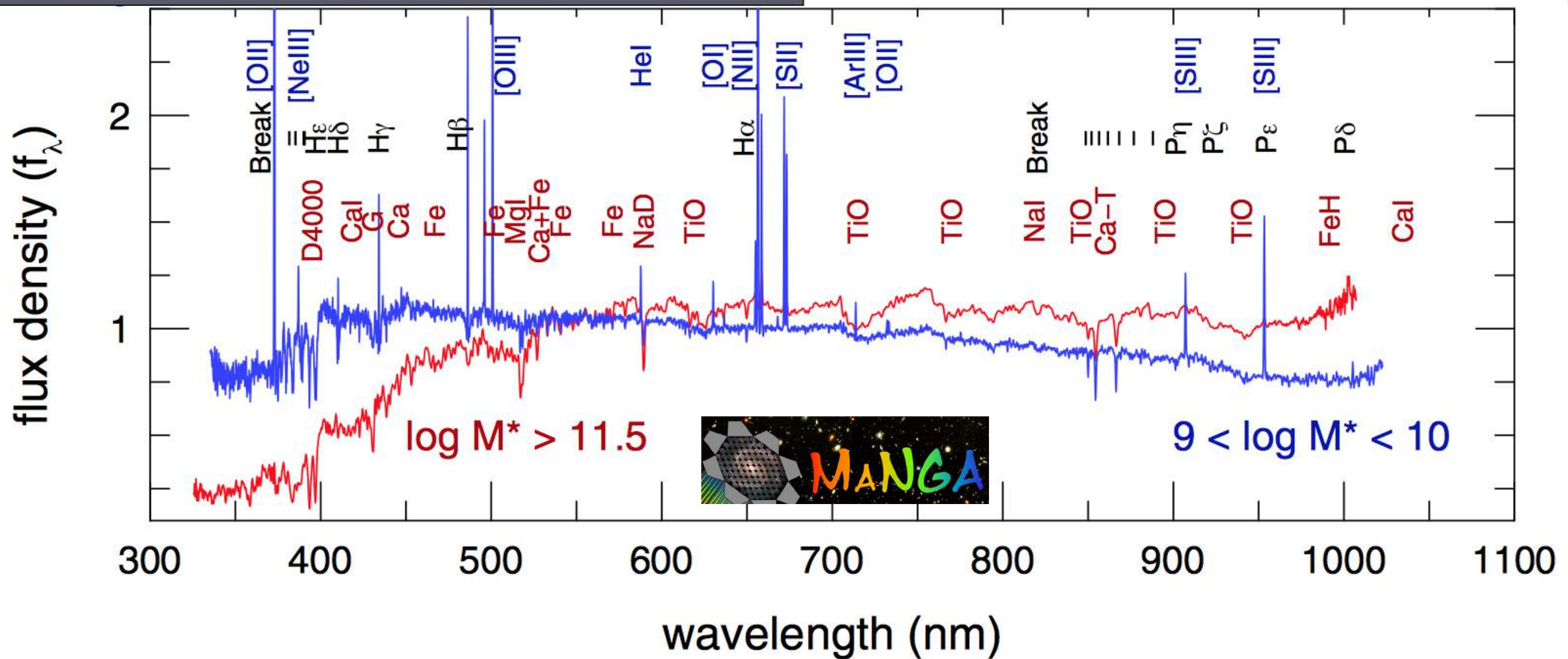
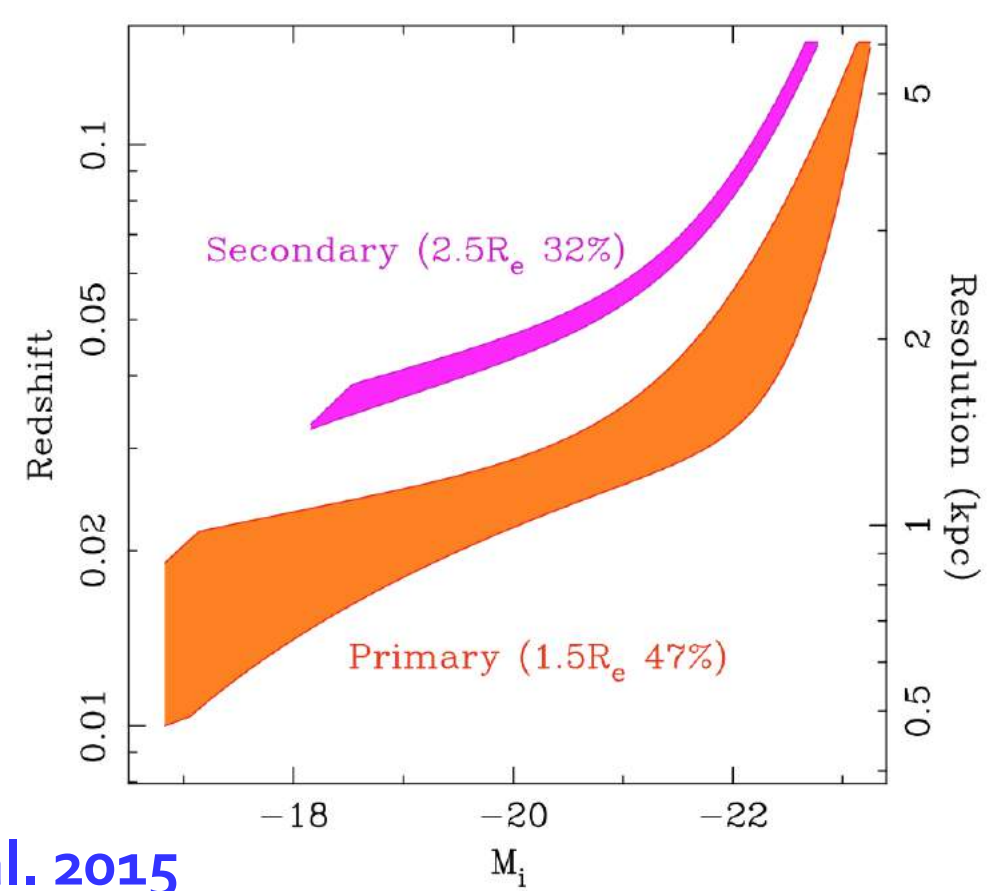
Utilise le spectrographe BOSS

Démarré en Juillet 2014 ⇒ **déjà ~ 5000 galaxies !**

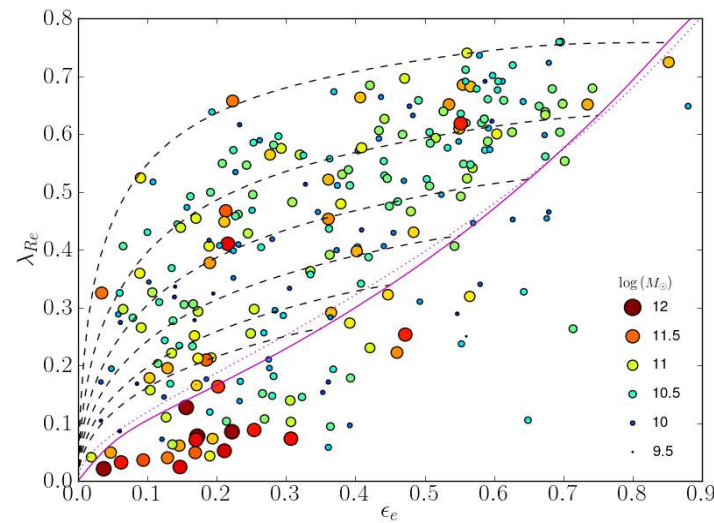
Plus de 100 projets déclarés ...



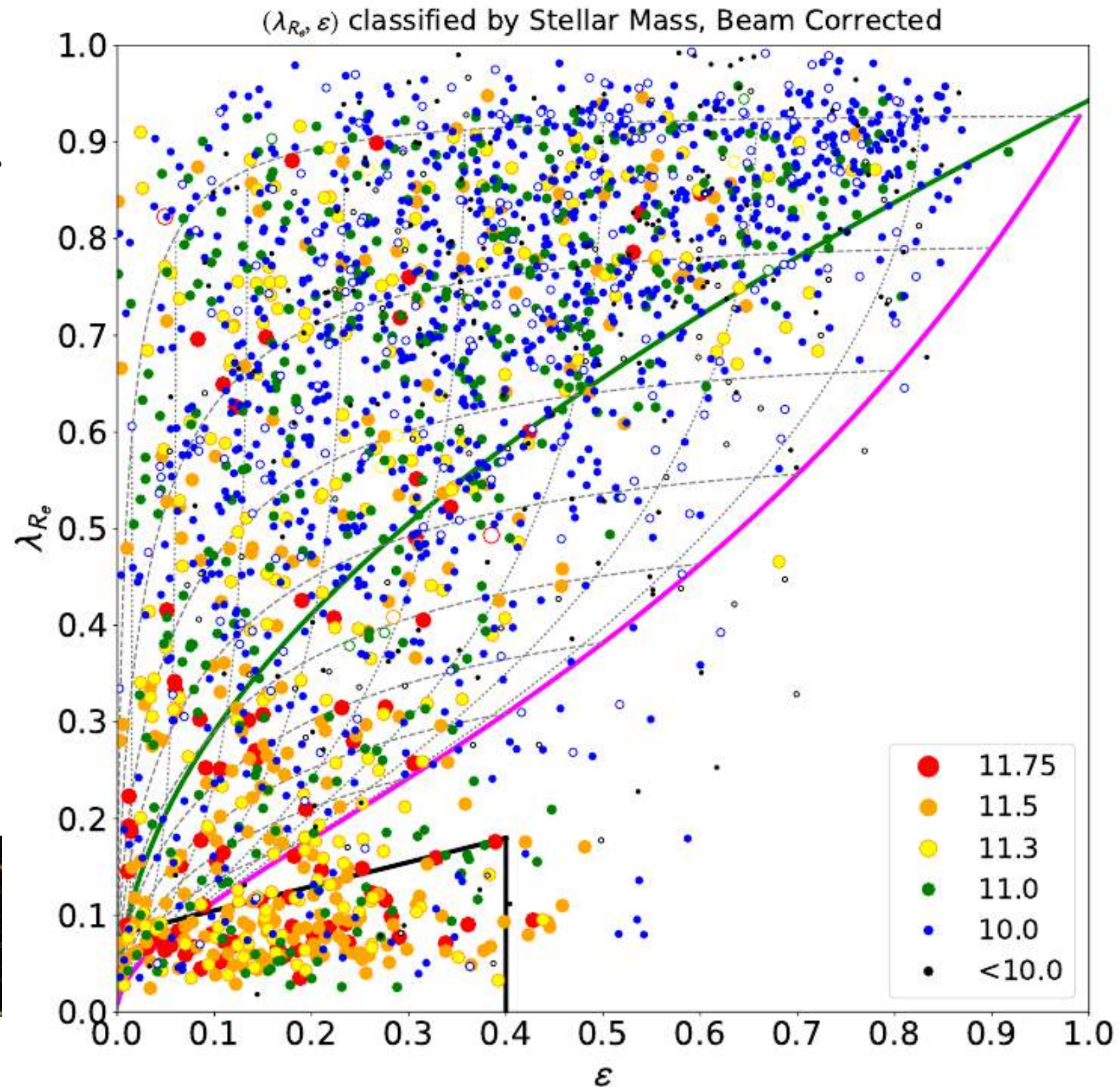
Bundy et al. 2015



Moment angulaire

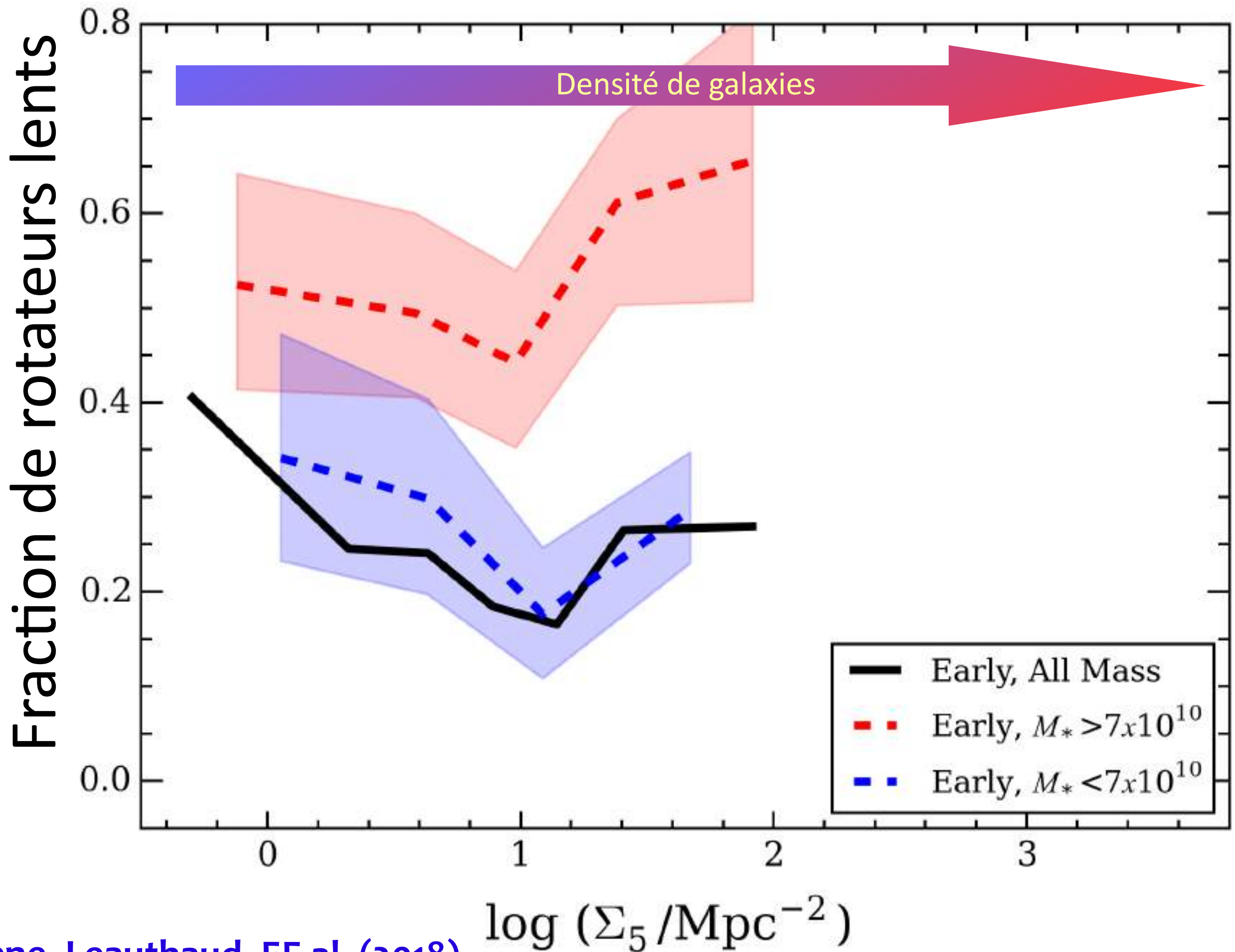


Emsellem et al. (2011)



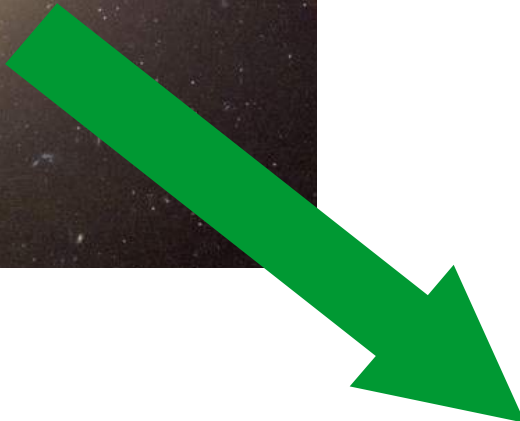
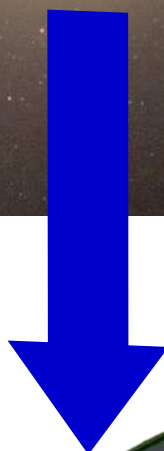
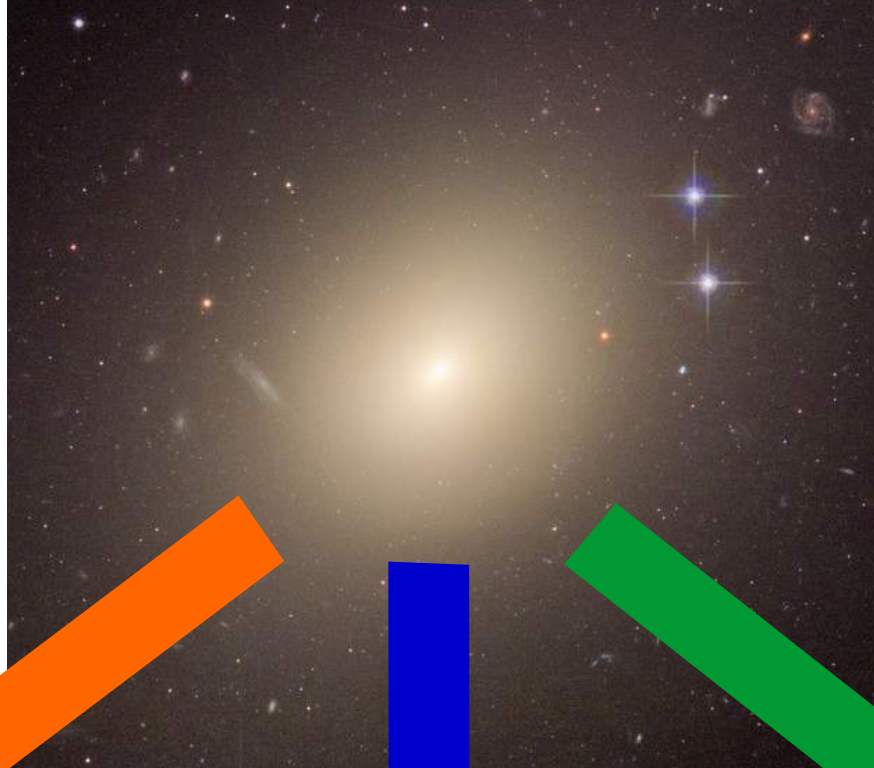
Graham et al. (2018)

Environnement ou Masse ?

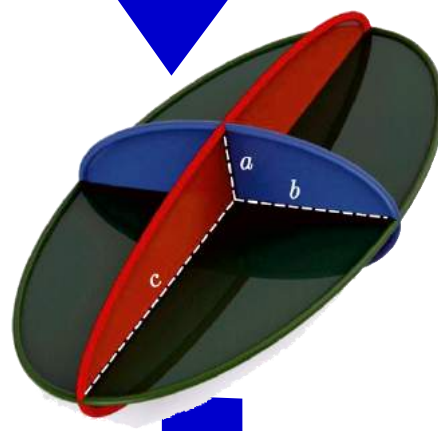


Que se passe-t-il au delà de

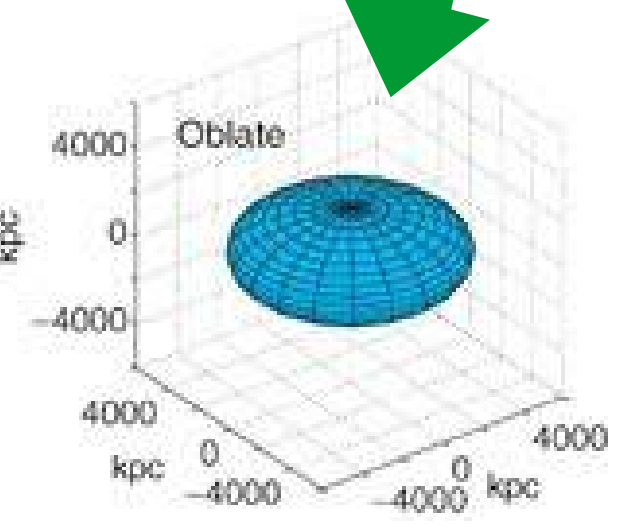
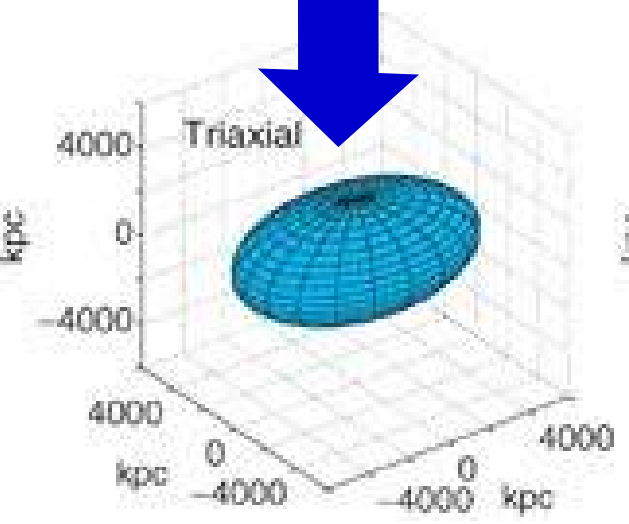
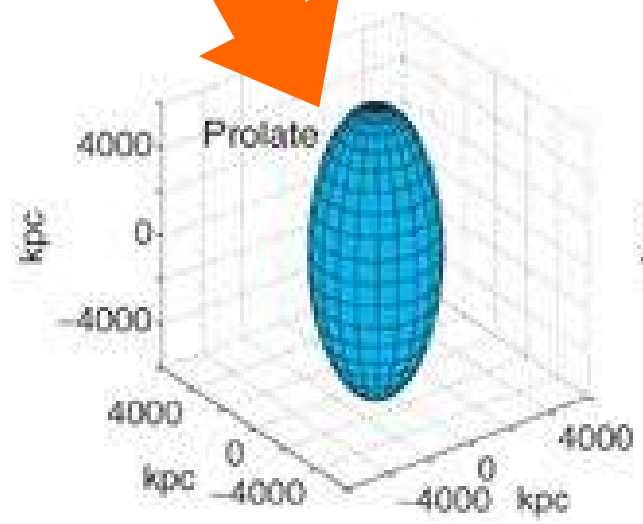
$$M > 10^{11.5} M_{\odot} ?$$



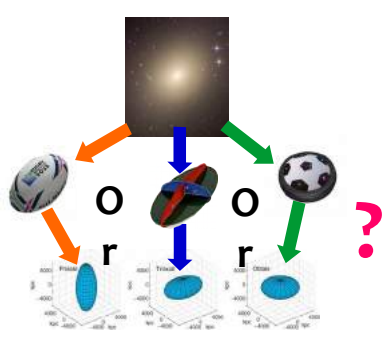
Ou



Ou



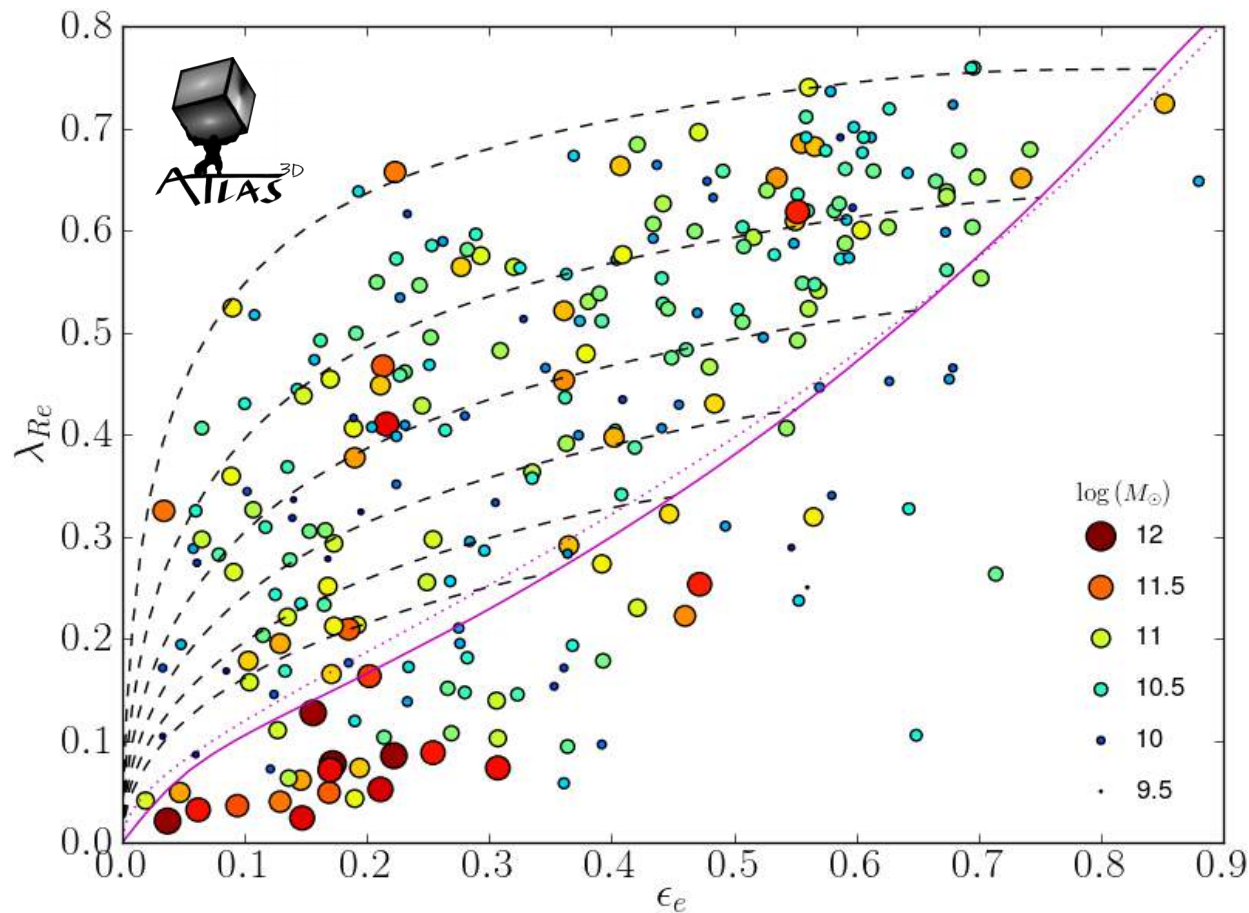
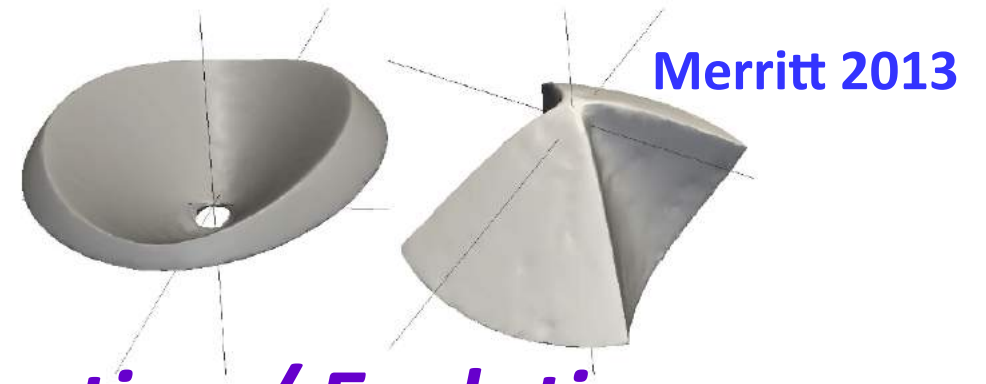
Pourquoi nous en préoccuper ?



■ Structure Orbitale

★ Morphologie, Dynamique, Masse

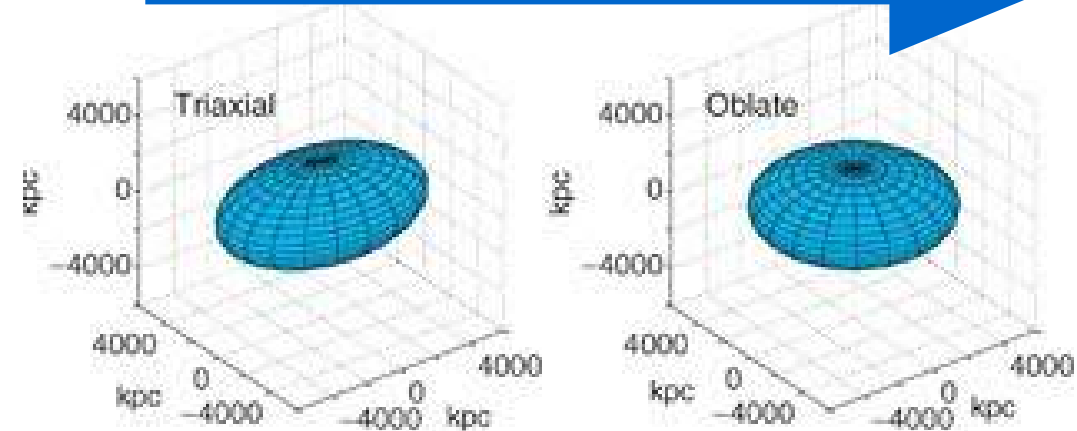
■ Contraintes sur les processus de Formation / Evolution



Emsellem, Cappellari, Krajnović et al. 2011

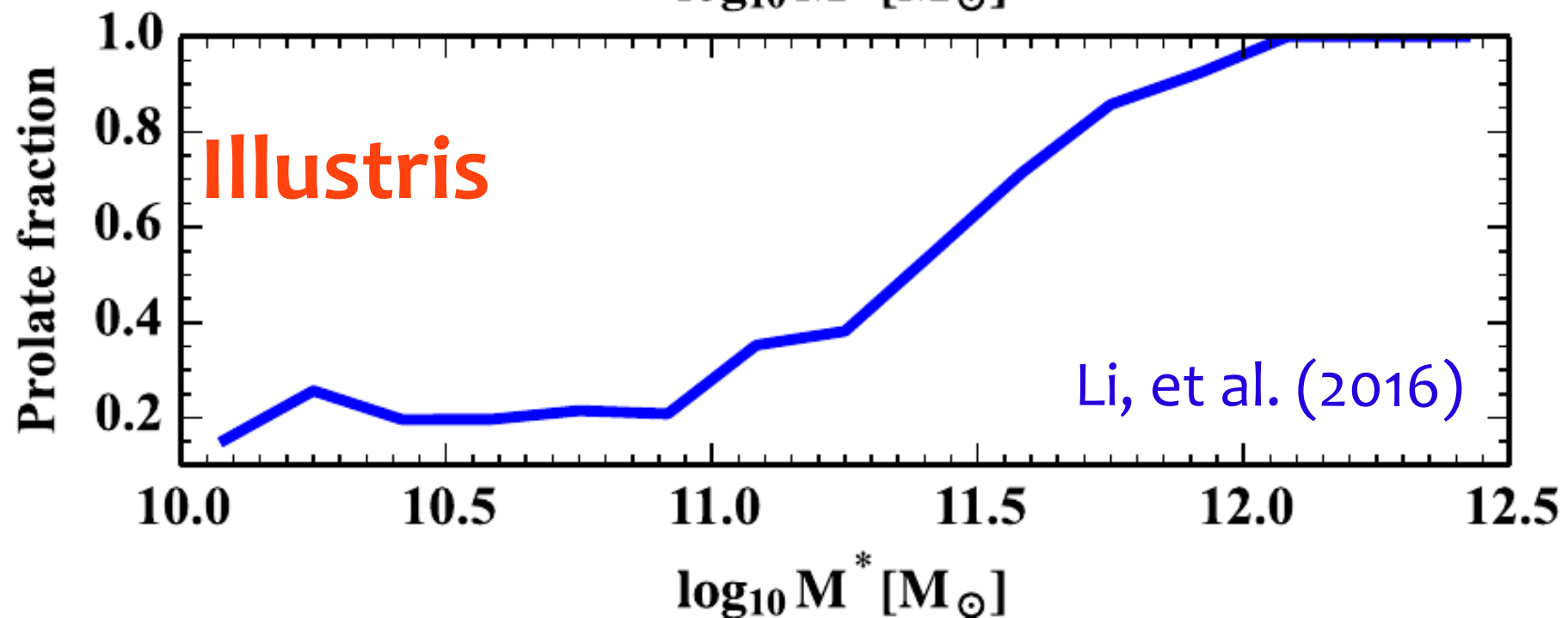
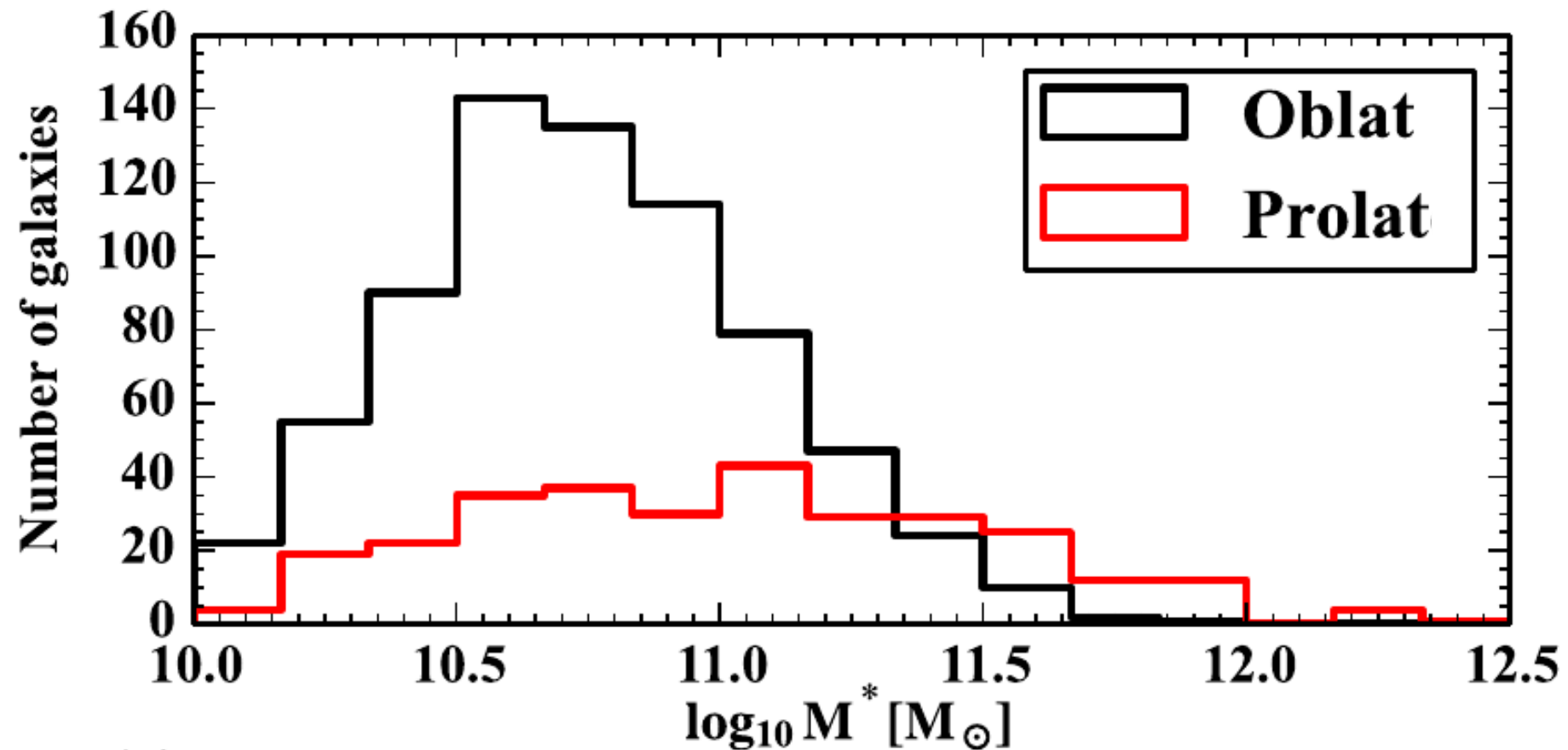
■ Tendances avec la Masse

★ Moment Angulaire



Predictions des Simulations

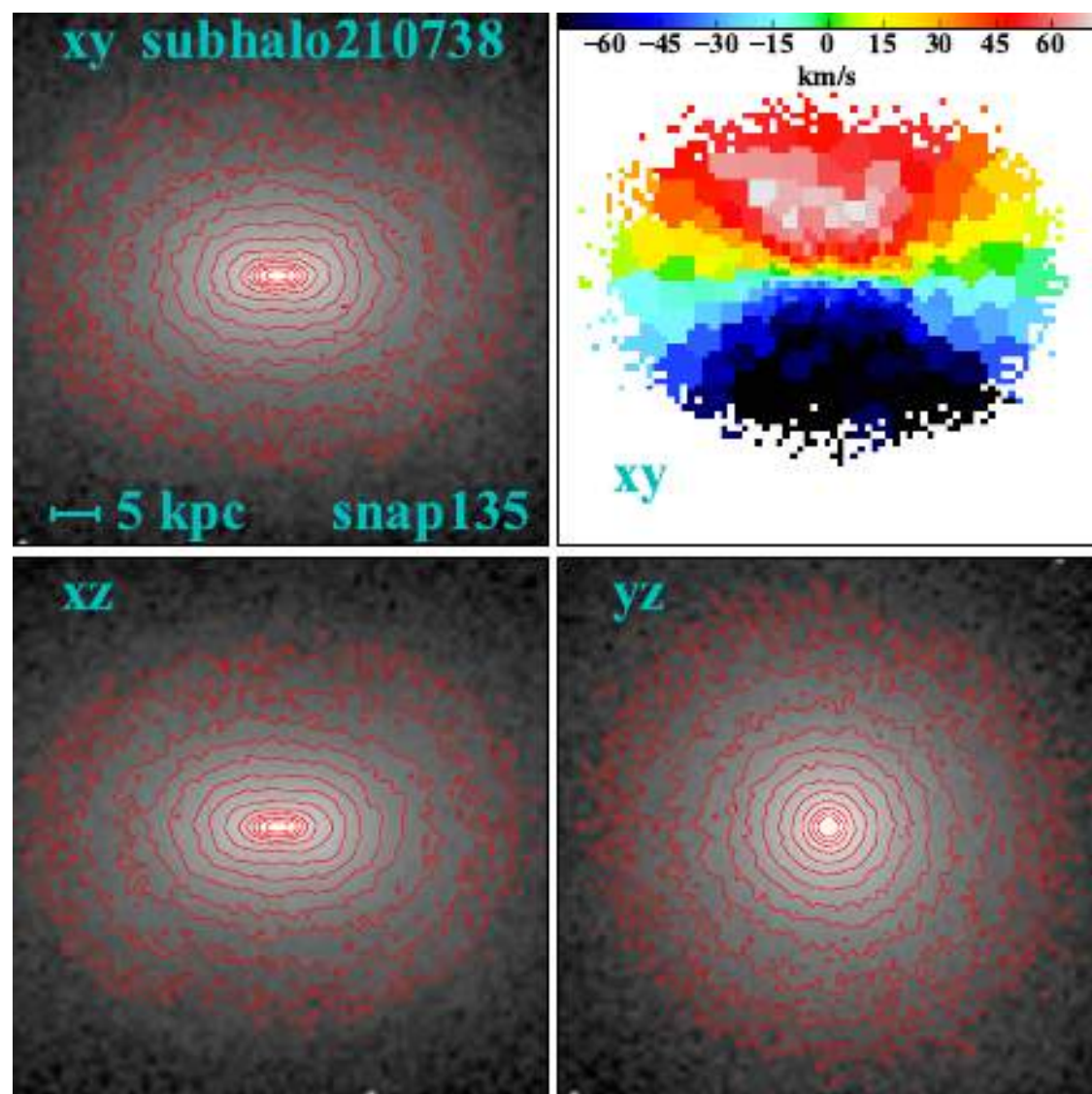
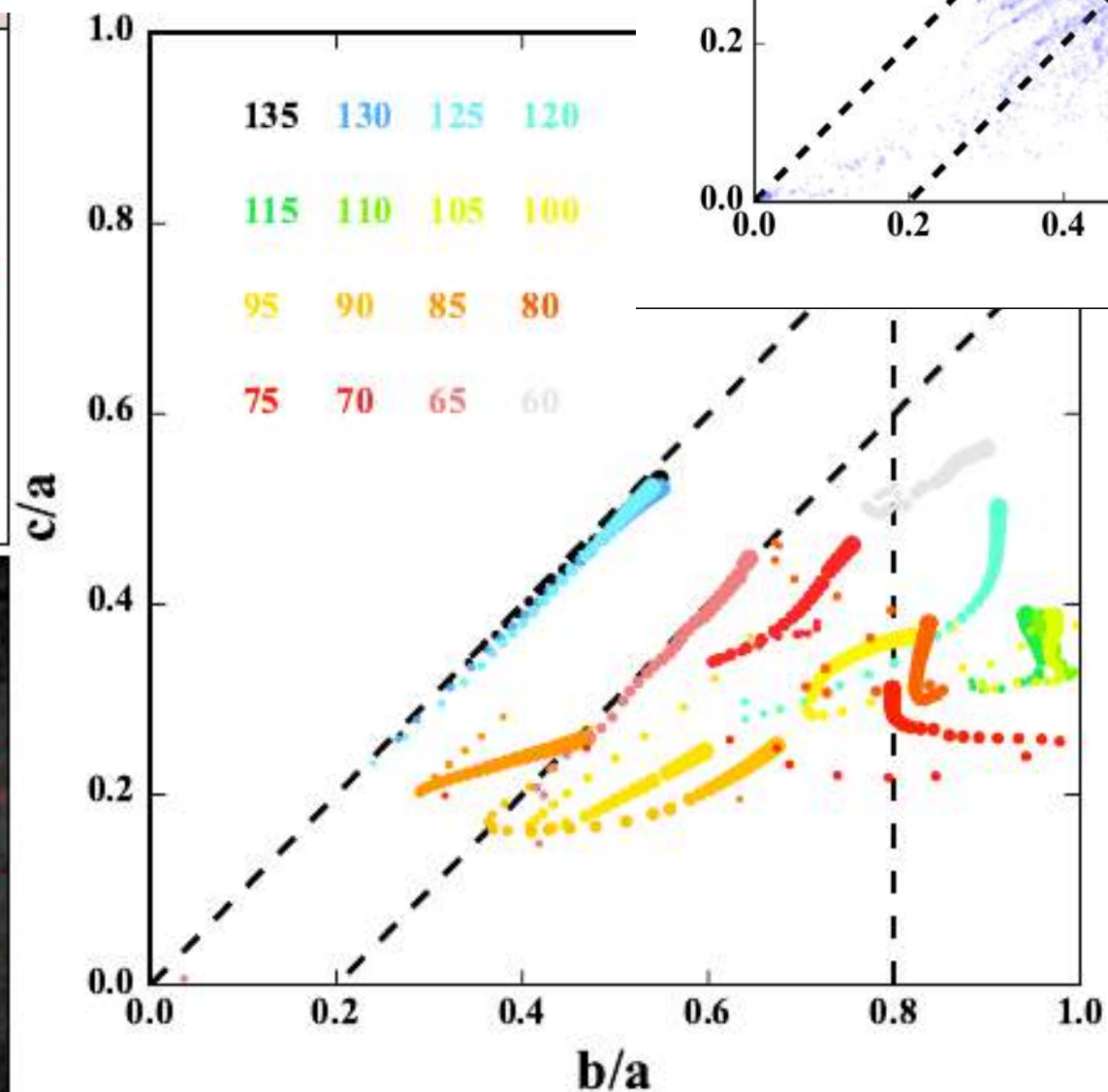
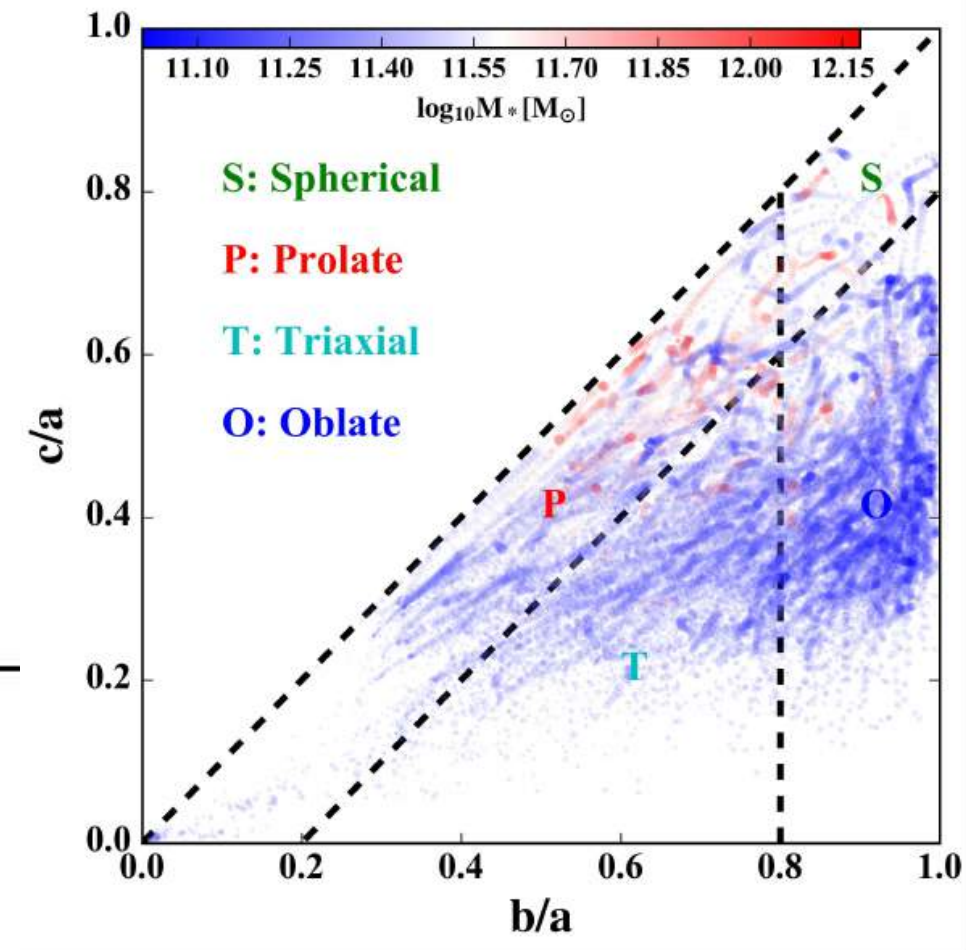
- $> 10^{11.5} M_{\odot}$: fraction des *systèmes prolats* augmente dramatiquement
[voir aussi Tsatsi et al. 2017, Weaver et al. 2018]

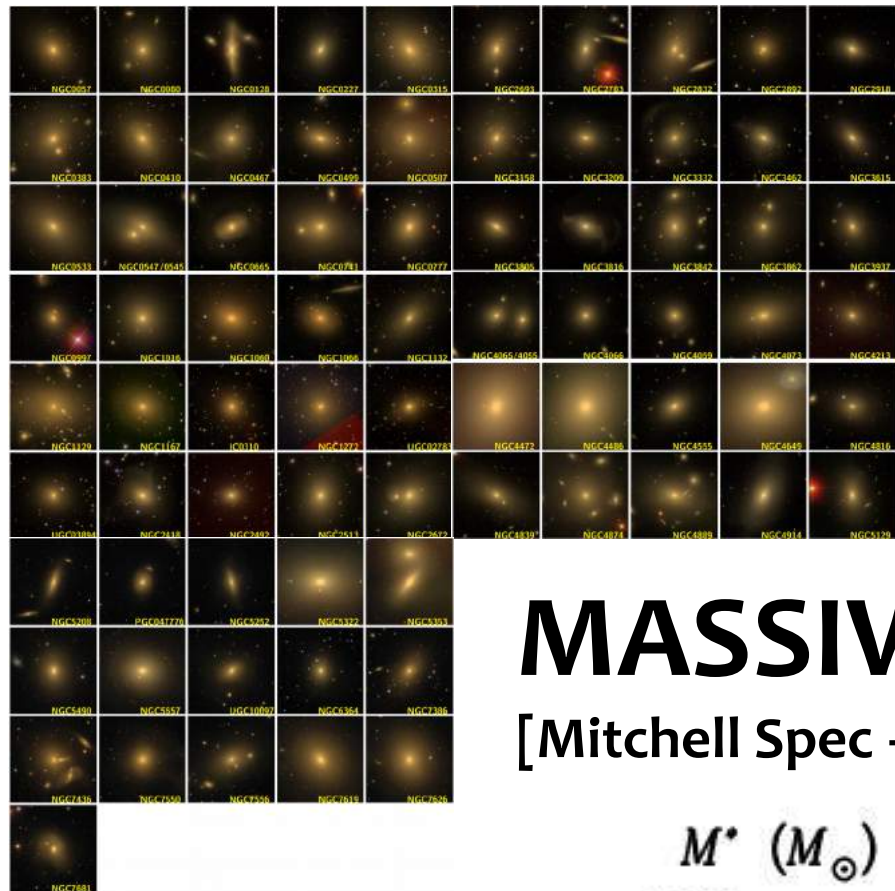


Predictions des Simulations

- Fusions majeures « sèches » ($z < 1$)

Li, Shude, EE et al. (2018)

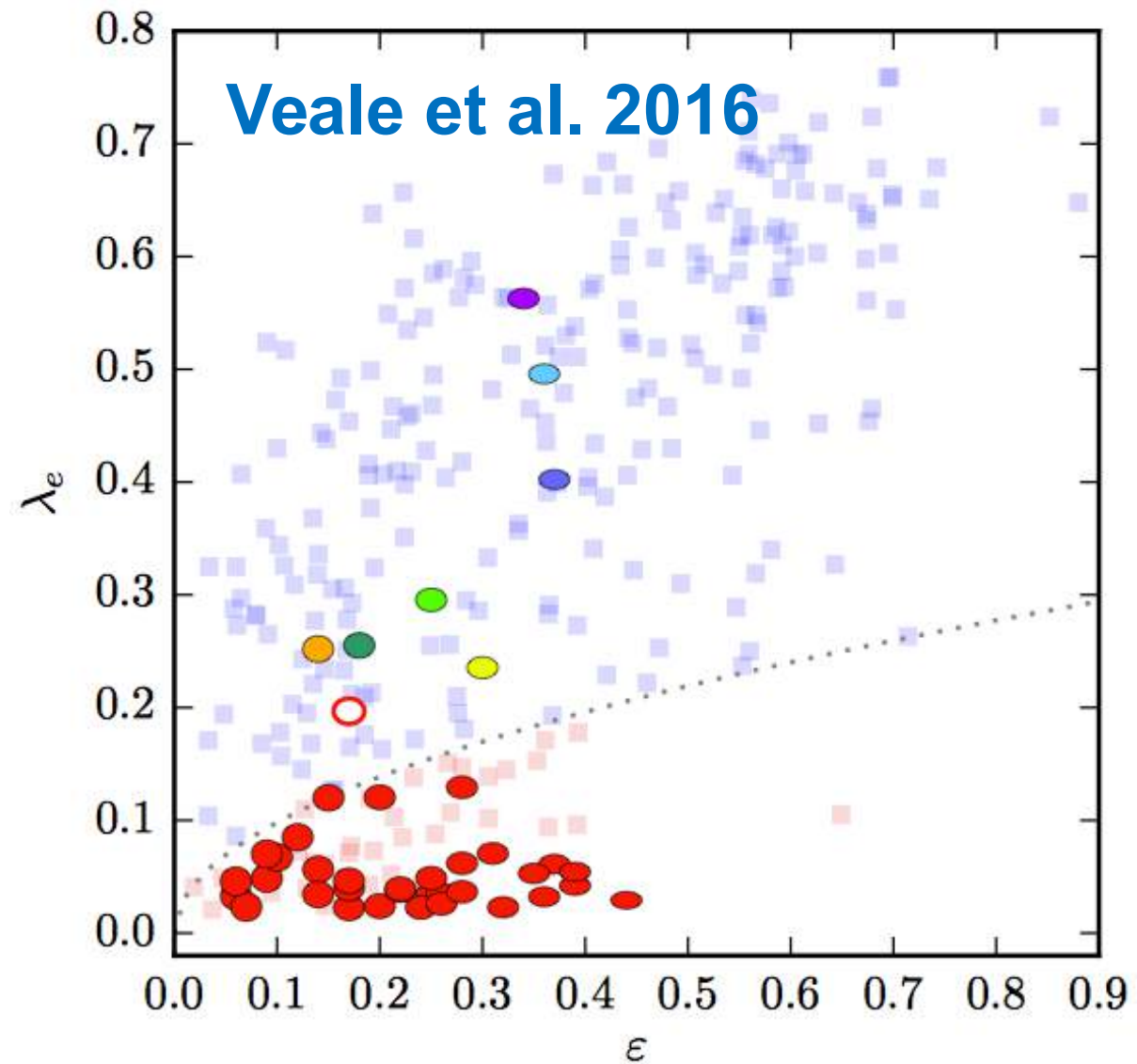
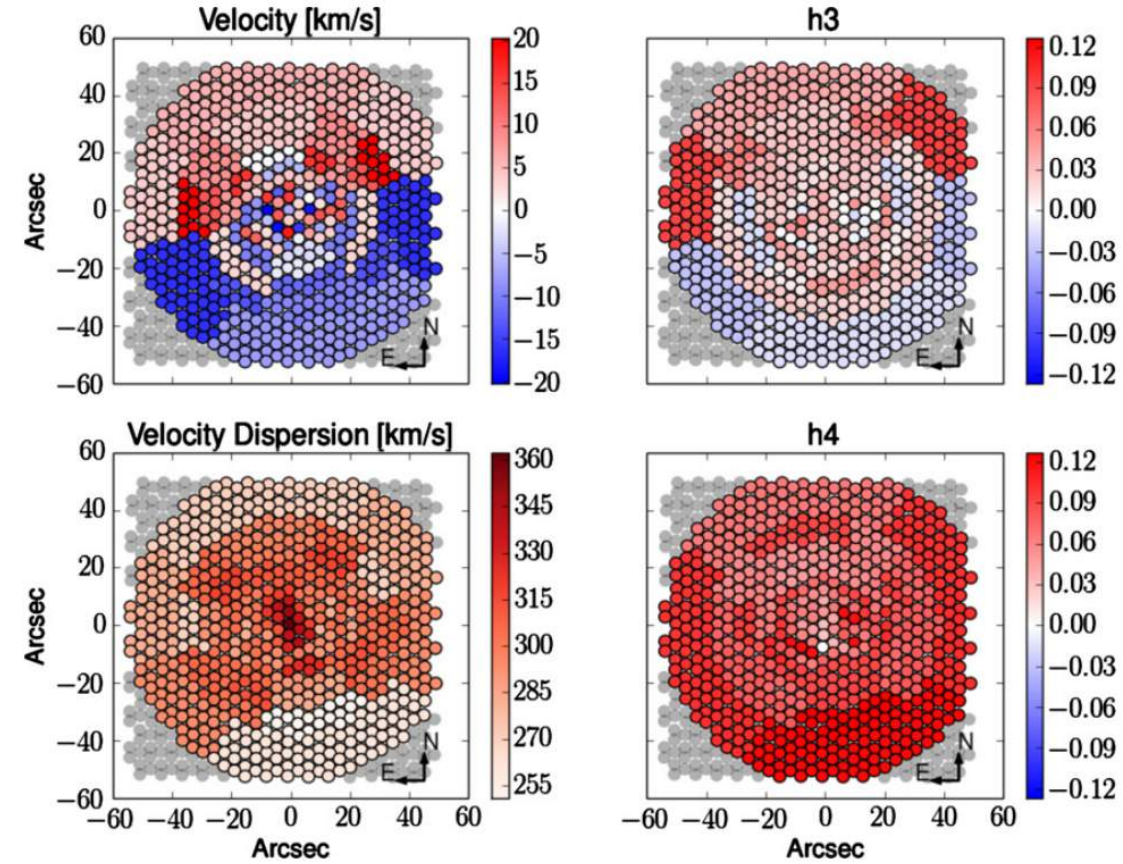
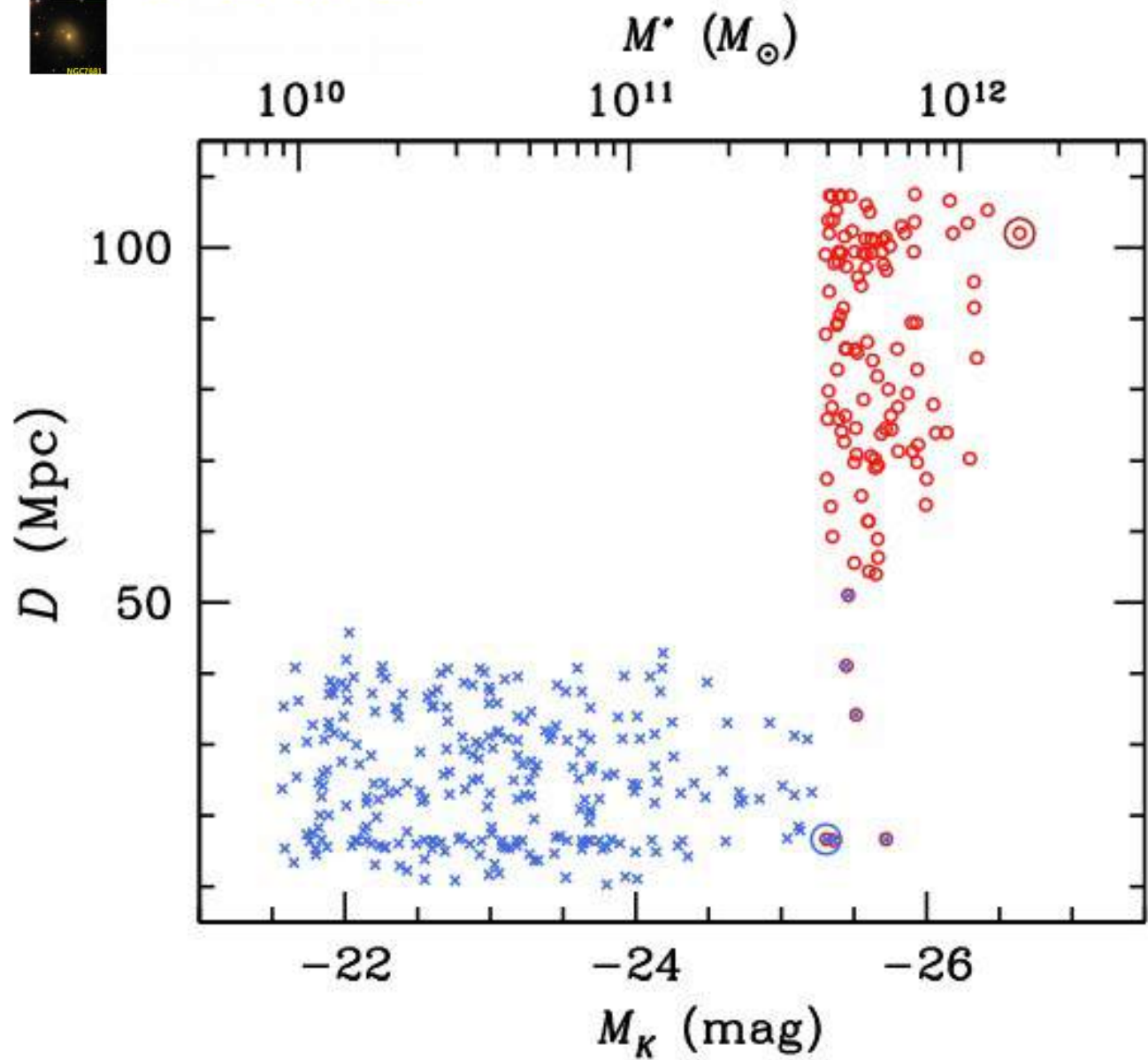




Ma et al. 2014

MASSIVE

[Mitchell Spec + AO-NIFS]



Veale et al. 2016

Le Projet



Un programme GTO MUSE

PI Eric Emsellem

Buts:

**Etat dynamique, contenu en matière noire,
SFH, IMF** + Test des prédictions des simulations

Approche:

Contenu stellaire+dynamique ($2 R_e$)

**Des galaxies les plus massives dans
les régions les plus denses**

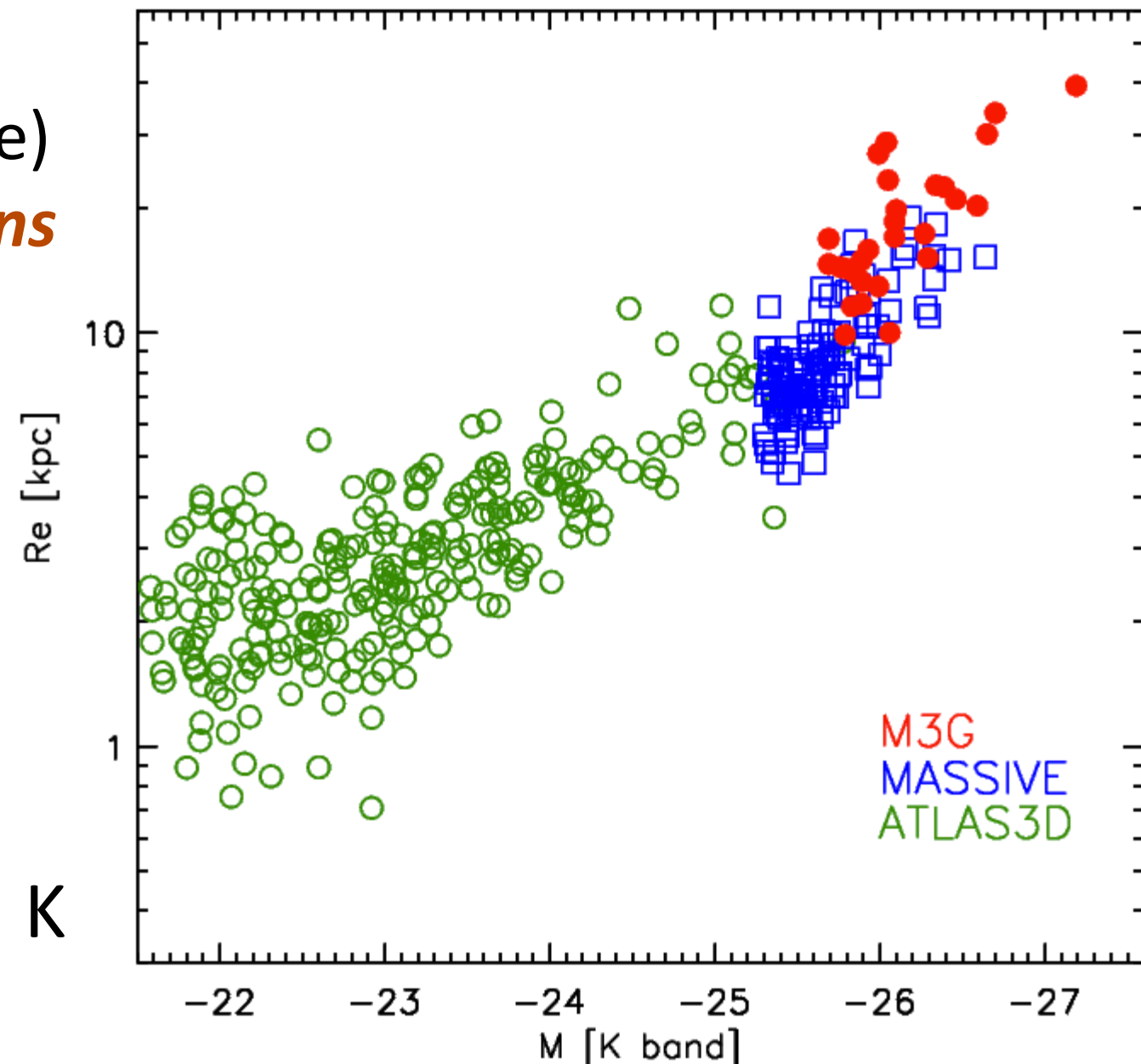
→ 2 sous-échantillons ($z \sim 0.04$)

I – Super Amas Shapley

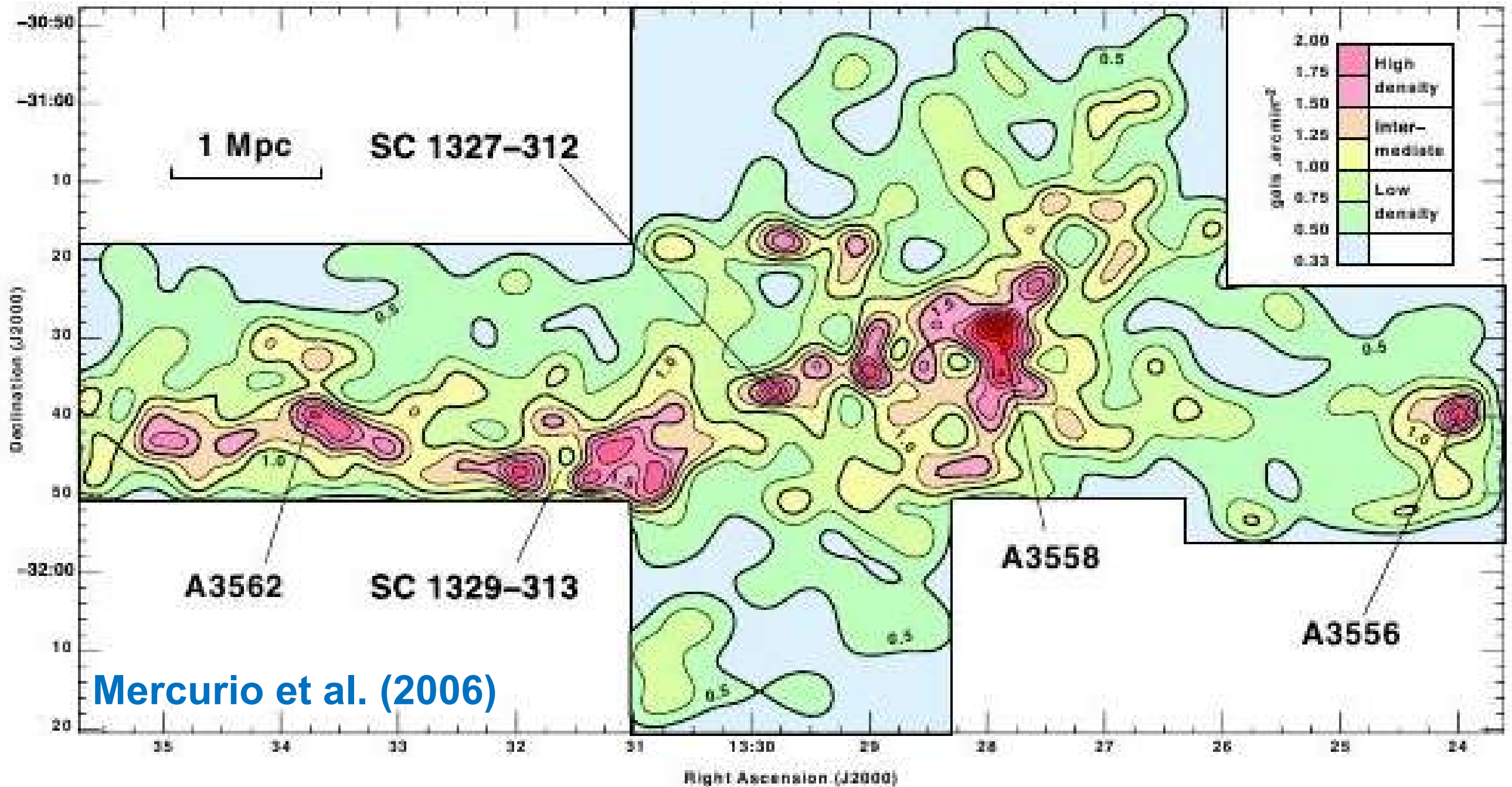
+

II – BCGs amas riches

Plus brillantes que -25.7 mag en K



Super Amas de Shapley



~200 Mpc [**~1kpc / arcsec**]

PGC047202

La galaxie la plus massive dans Shapley

2' x 2'

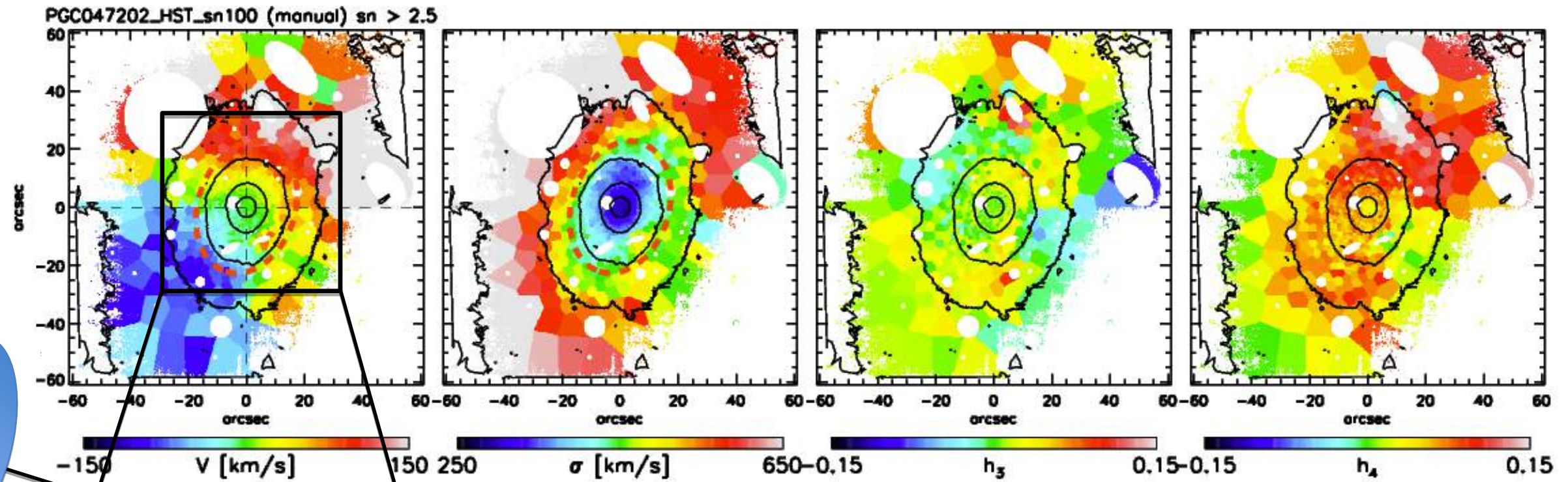
4 x 4h

101 cubes de données...

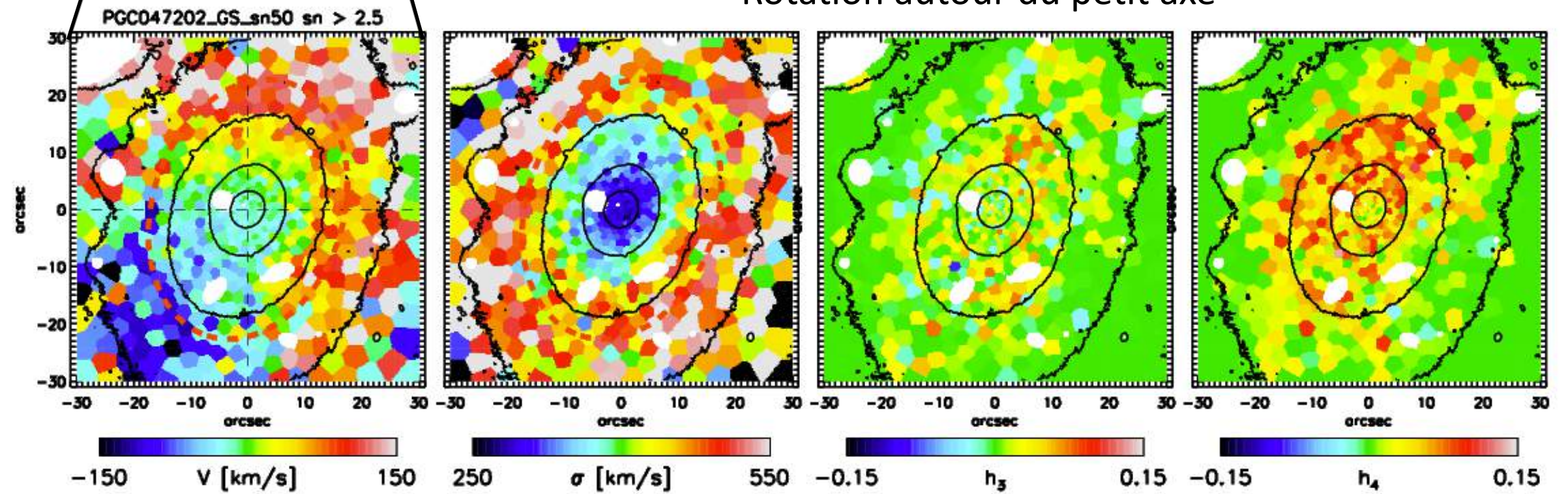
374 544 spectra



PGC047202

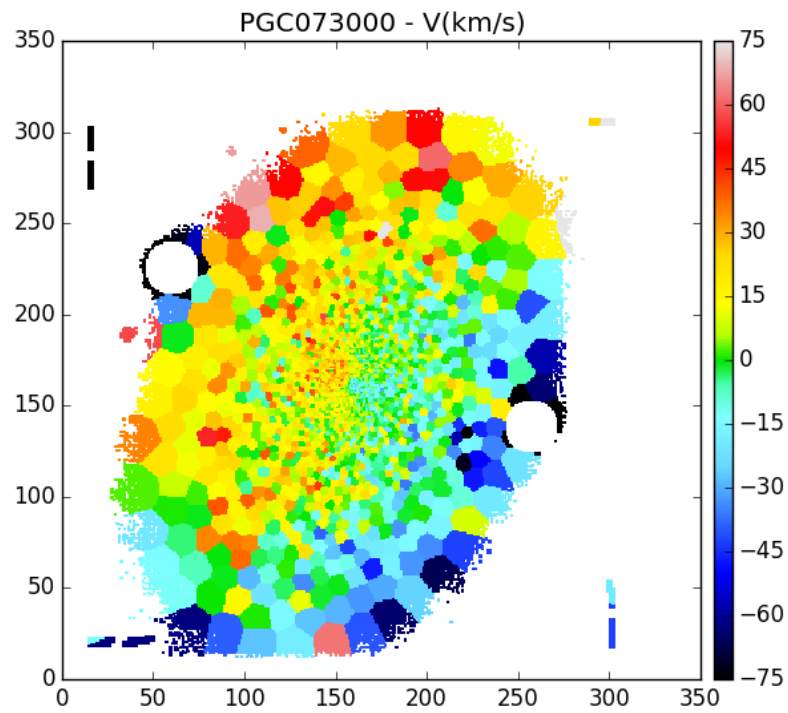


Rotation autour du petit axe

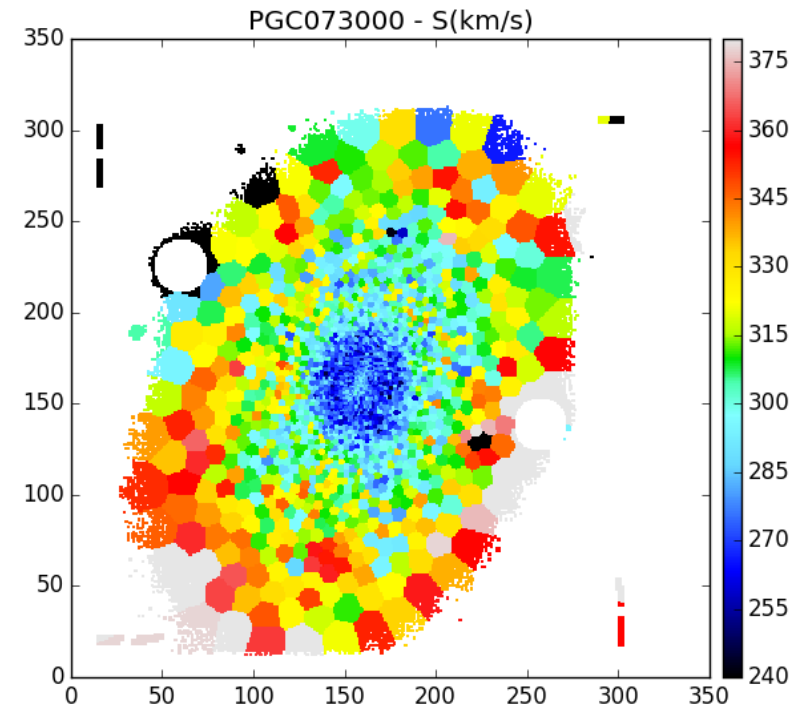


PGC007300

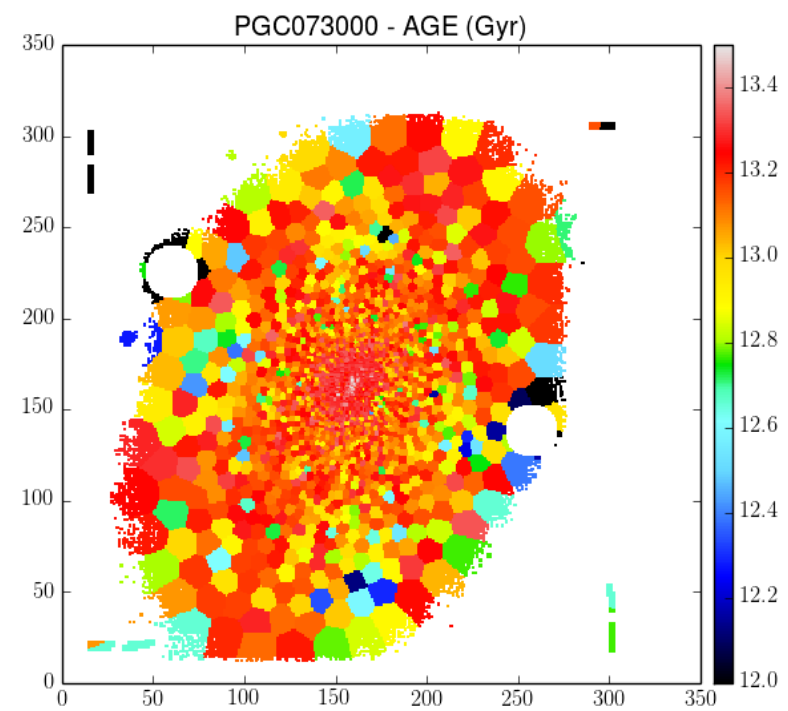
Vitesse



Dispersion



Age



Metallicity

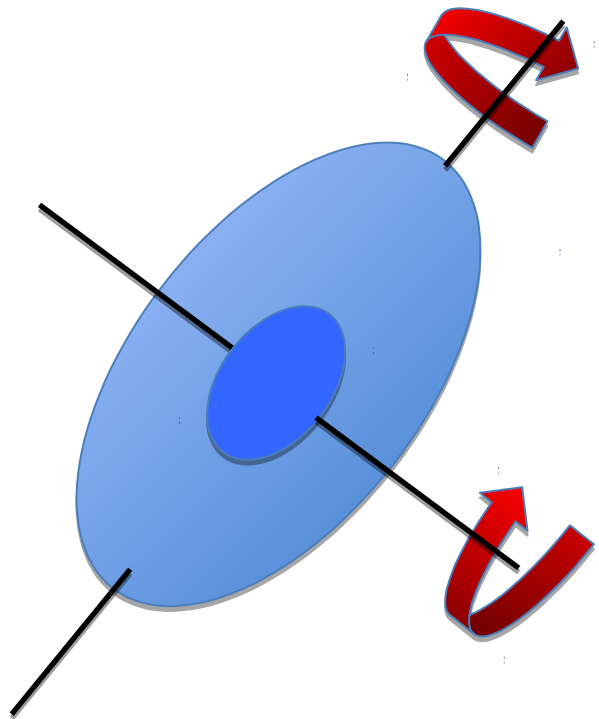
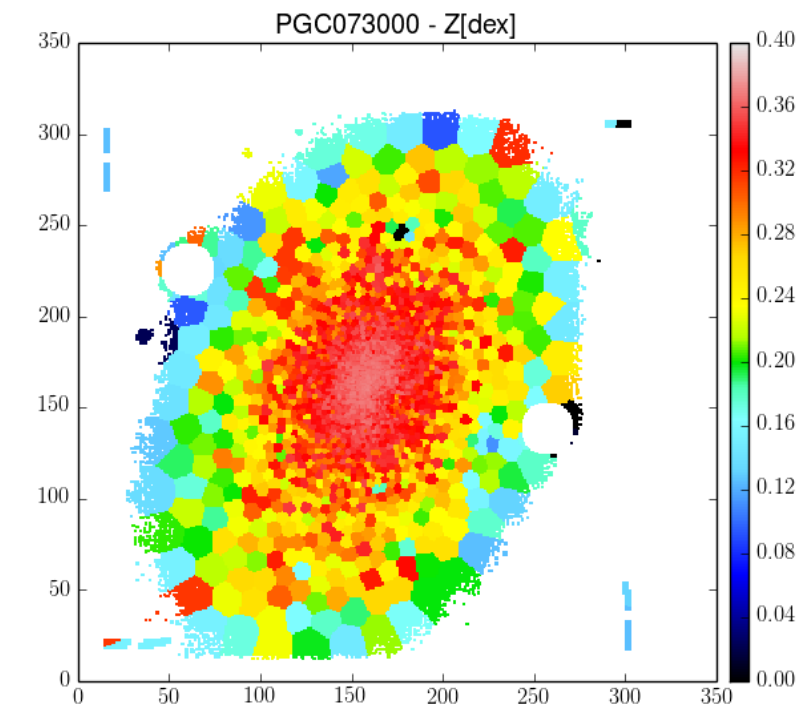


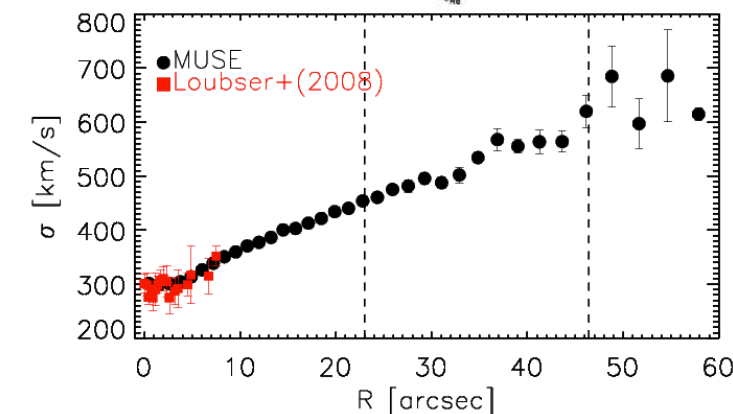
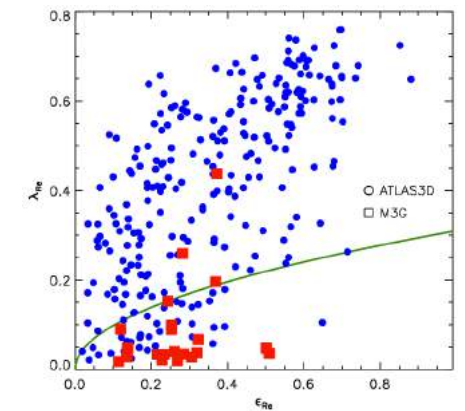
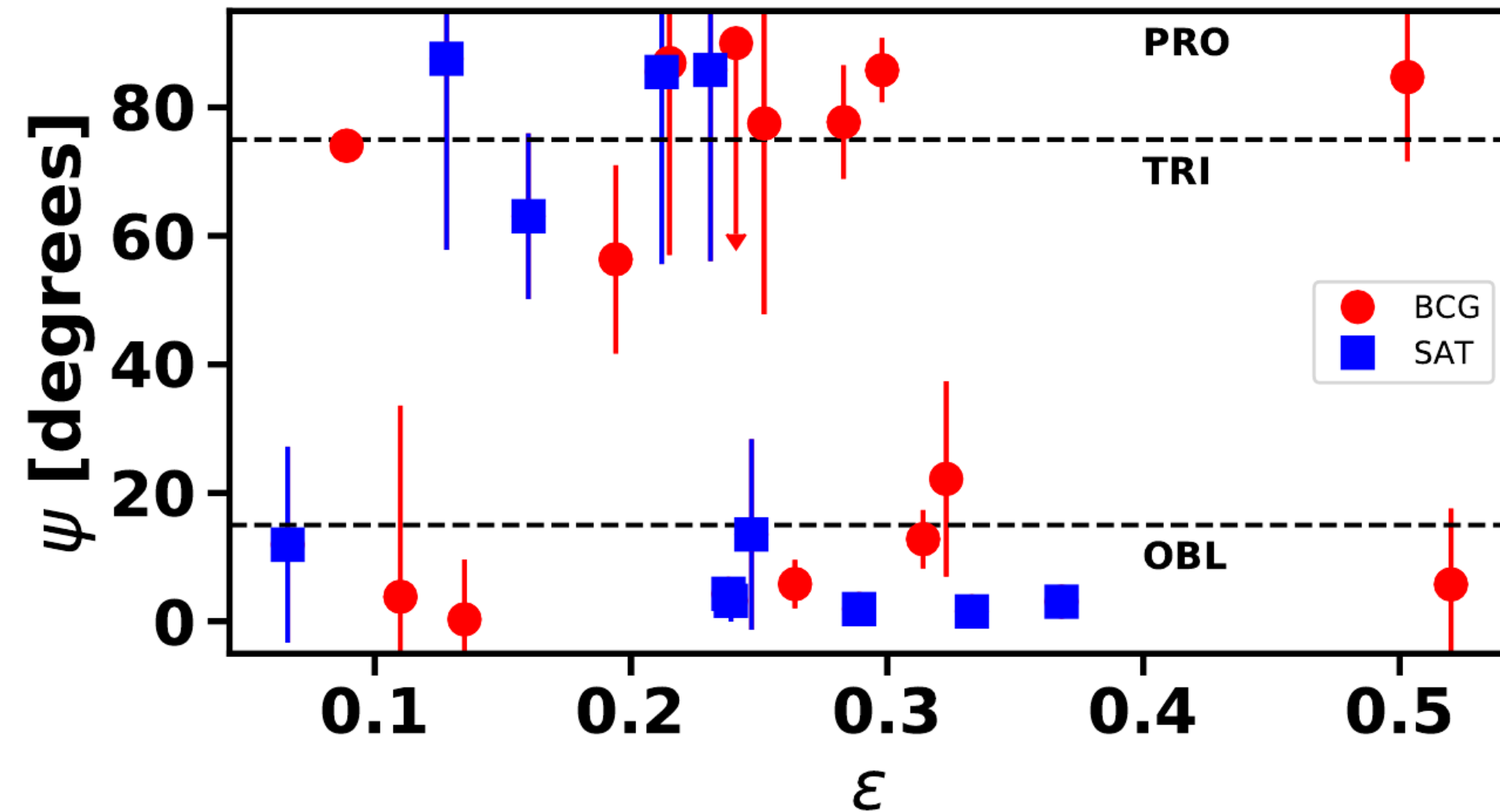
Image couleur MUSE





Premiers Résultats

> $\frac{1}{2}$ BCGs montre une rotation « prolate »
(un peu moins de 50 %, pour l'échantillon total)



Krajnović, EE, et al. 2018

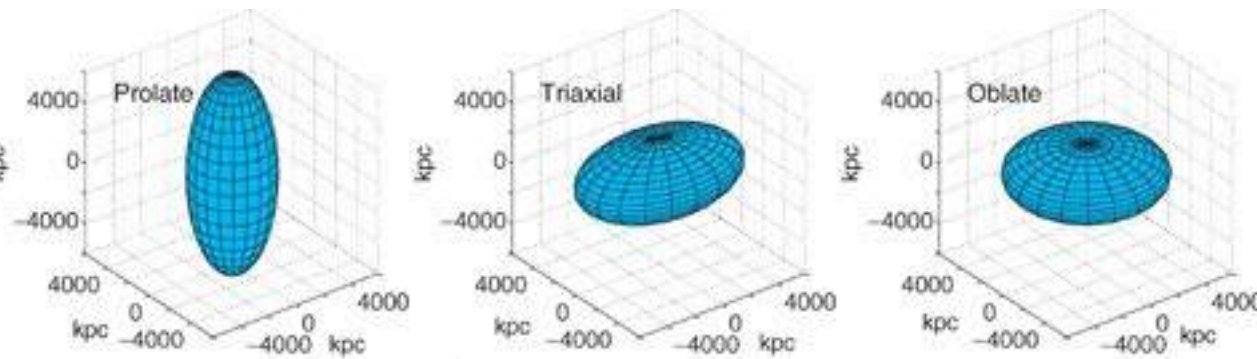
Premiers Résultats

La morphologie des galaxies change avec la Masse

Oblat \Rightarrow Faiblement Triaxial \Rightarrow Prolat ?

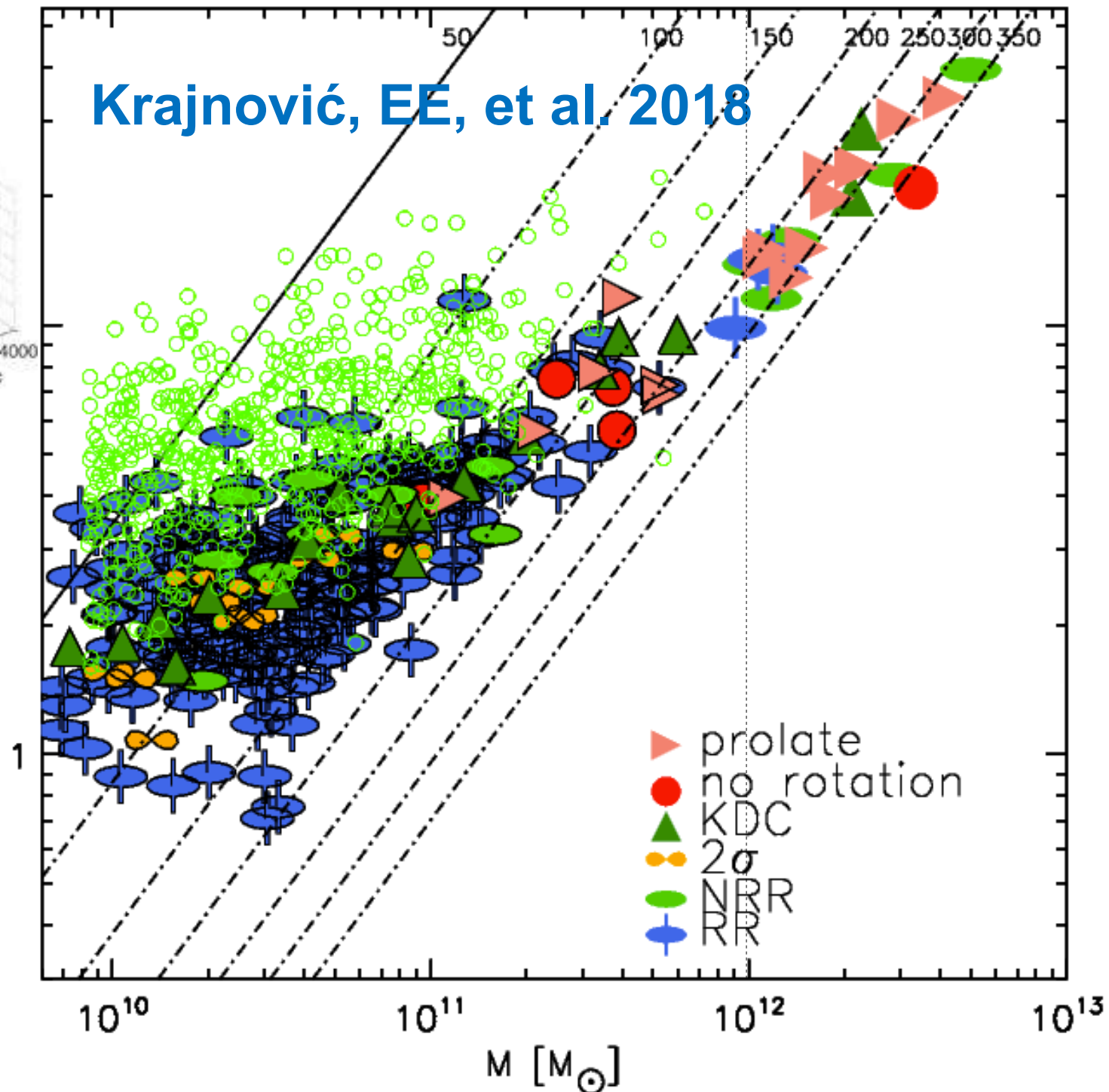


Géométrie



Masse

Krajnović, EE, et al. 2018



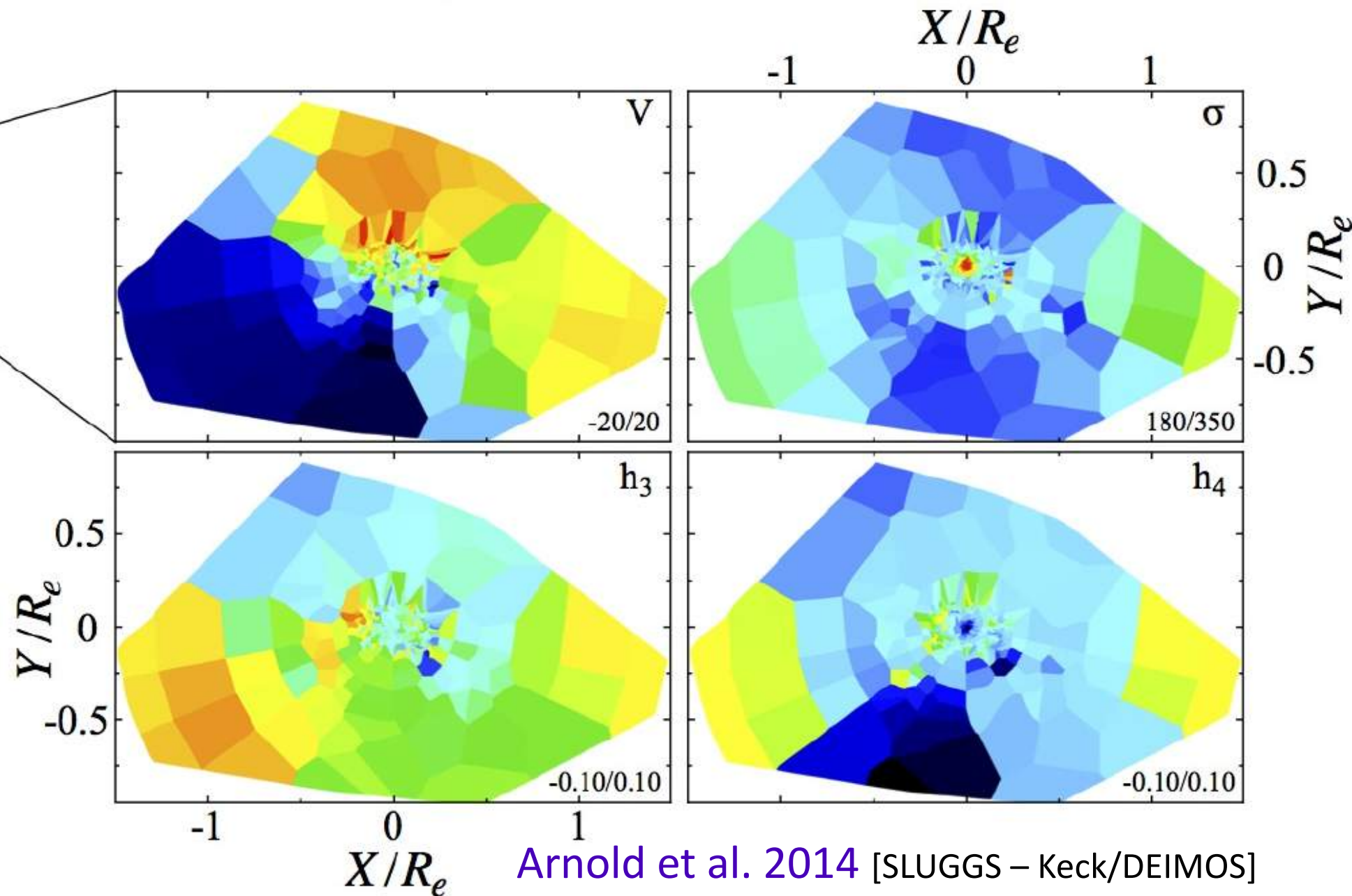
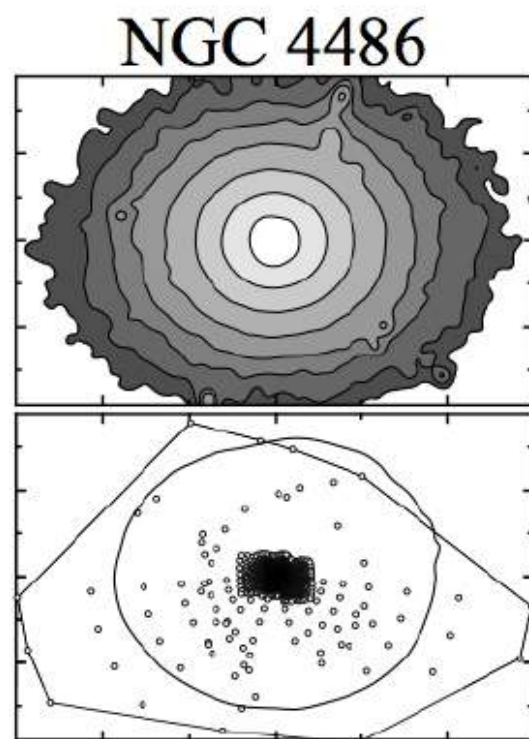
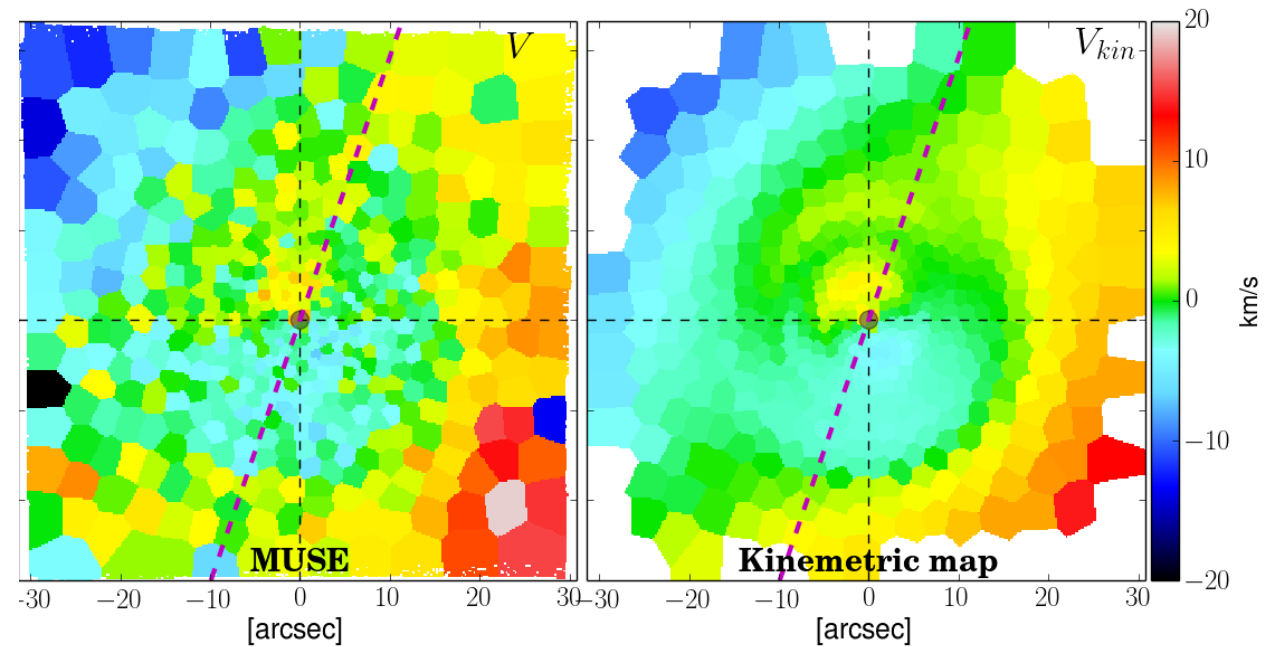
La suite

Modèles dynamiques
Histoire de l'assemblage

Rappel: M 87

Voir aussi Murphy et al. 2011,
Romanowsky et al. 2012,
Longobardi et al. 2013,
Agnello et al. 2014,
Zhu et al 2014, ...

Emsellem, Krajnović, Sarzi 2014



Arnold et al. 2014 [SLUGGS – Keck/DEIMOS]

Classifications historiques

Grande variété de structures morphologiques et dynamiques

E / SOs \Rightarrow confusion des types, difficile à séparer

Recommandation \Rightarrow ne **pas** utiliser, surtout à grand redshift !

Classification dynamique

Avec les instruments modernes (IFU) : efficace et pertinente

Relation morphologie-densité, principalement liée à la masse

Plan du Viriel enfin retrouvé

Processus de formation et d'assemblage

Perspective intéressante via le prisme du plan Masse – Rayon

Ex-situ versus **In-situ**

Complexité des parcours évolutifs

A très grande masse : fusions majeures sèches, forme prolate

Le futur ?

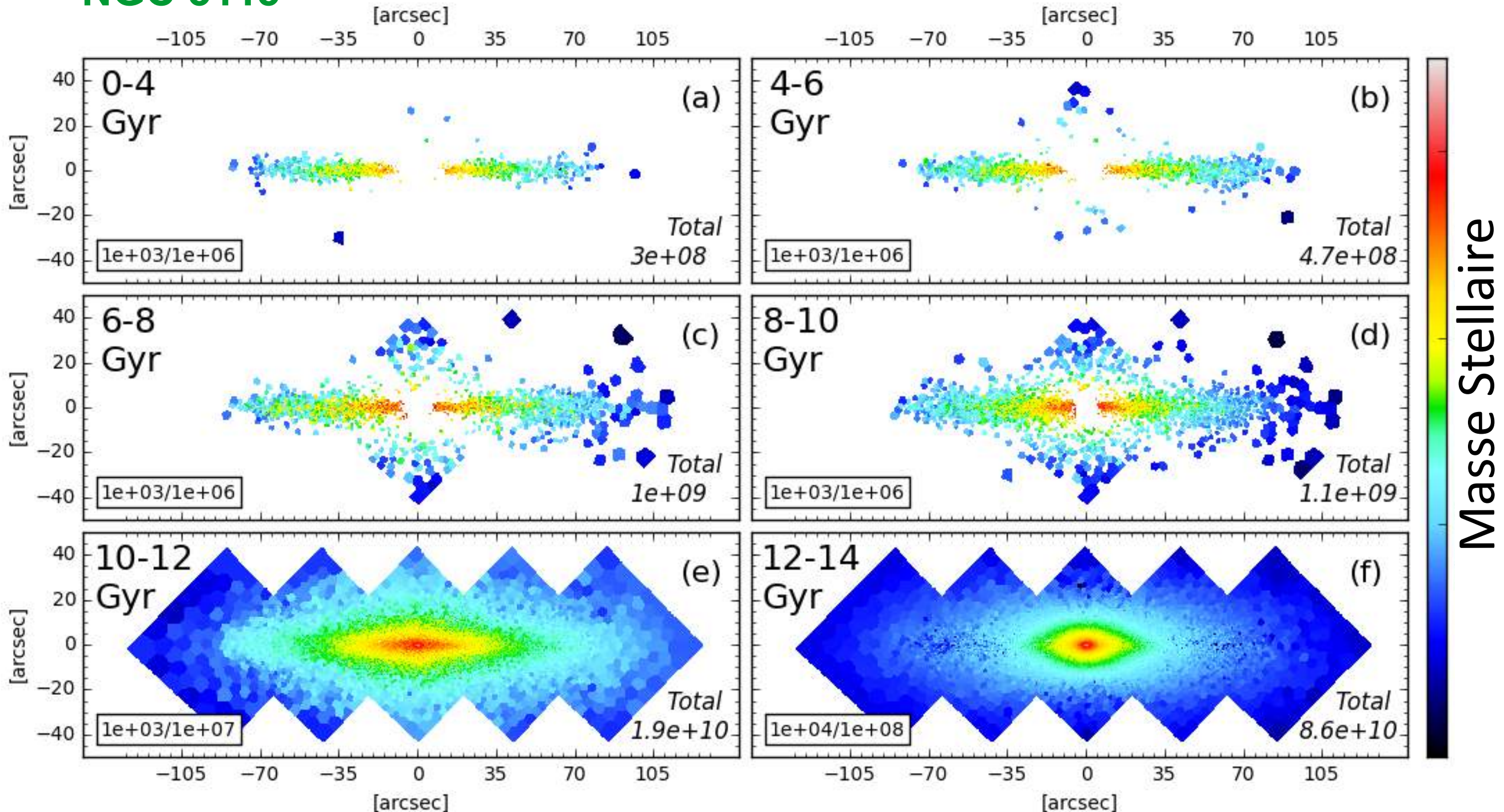
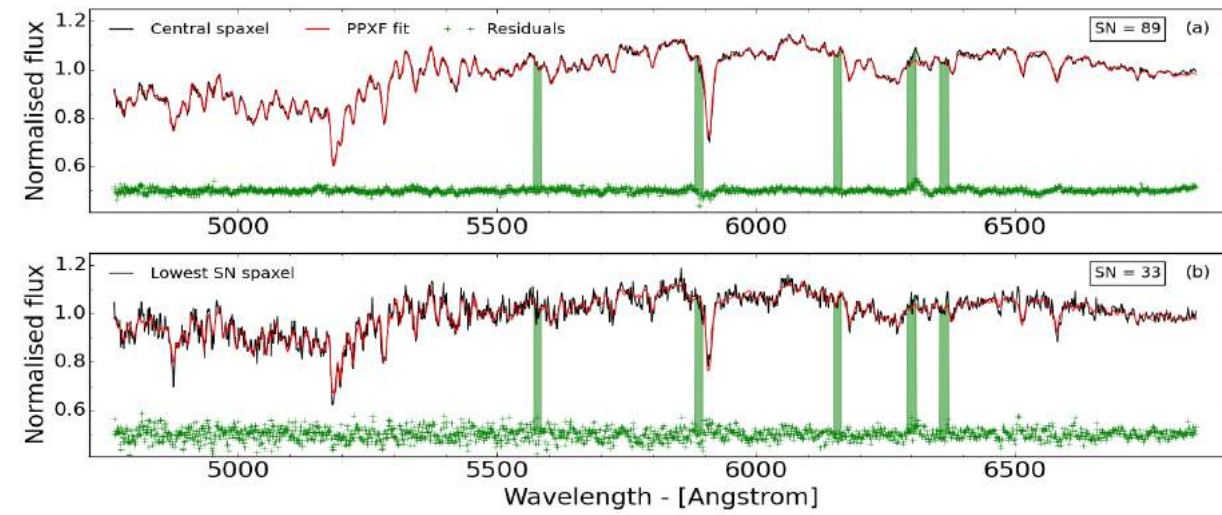
Instruments présents (MUSE, ALMA,...) et futurs (JWST, ELT,...)

Nouvelles campagnes (MaNGA, LSST, Euclid, ...)

Besoin de simulations numériques (contexte cosmologique)

Décomposition spectrale ⇒ reconstituer l'évolution et l'assemblage

NGC 3115



Guérou, EE et al. 2016

Galaxies de type précoce

Dynamique

& Processus de formation

